

ศึกษาการควบคุมแรงบิดของมอเตอร์ไฟฟ้า

STUDY TORQUE CONTROL OF ELECTRIC MOTORS

นางสาวไอลดา ทองสันทัด รหัส 53363263

ผู้ลงทะเบียนวิศวกรรมศาสตร์
วันที่รับ..... 19 พ.ศ. ๖๗
เลขทะเบียน..... 16563910
เลขเรียกหนังสือ..... ๙๘
มหาวิทยาลัยแม่ฟ้า ๑๙๙๘
๒๖๖๐

ปริญญานิพนธ์นี้เป็นส่วนหนึ่งของการศึกษาหลักสูตรปริญญาวิศวกรรมศาสตรบัณฑิต
สาขาวิศวกรรมไฟฟ้า ภาควิชาชีวกรรมไฟฟ้าและคอมพิวเตอร์
คณะวิศวกรรมศาสตร์ มหาวิทยาลัยแม่ฟ้า
ปีการศึกษา 2556



ใบรับรองปริญญานิพนธ์

ชื่อหัวข้อโครงการ
ผู้ดำเนินโครงการ
ที่ปรึกษาโครงการ
สาขาวิชา
ภาควิชา
ปีการศึกษา

ศึกษาการควบคุมแรงบิดของมอเตอร์ไฟฟ้า
นางสาวไอลดา ทองสันทัด รหัส 53363263
ผู้ช่วยศาสตราจารย์ ดร. สมพร เรืองสินชัยวนิช
วิศวกรรมไฟฟ้า
วิศวกรรมไฟฟ้าและคอมพิวเตอร์
2556

คณะวิศวกรรมศาสตร์ มหาวิทยาลัยนเรศวร อนุมัติให้ปริญญานิพนธ์ฉบับนี้เป็นส่วนหนึ่ง
ของการศึกษาตามหลักสูตรวิศวกรรมศาสตรบัณฑิต สาขาวิชาวิศวกรรมไฟฟ้า

ที่ปรึกษาโครงการ
(ผู้ช่วยศาสตราจารย์ ดร. สมพร เรืองสินชัยวนิช)

กรรมการ
(ผู้ช่วยศาสตราจารย์ ดร. อัครพันธ์ วงศ์กังແหม)

กรรมการ
(ดร. สุพรรณนิกา วนพนา)

ชื่อหัวข้อโครงการ	ศึกษาการควบคุมแรงบิดของมอเตอร์ไฟฟ้า
ผู้ดำเนินโครงการ	นางสาวไอลดา ทองสันทัด รหัส 53363263
ที่ปรึกษาโครงการ	ผู้ช่วยศาสตราจารย์ ดร.สมพร เรืองสินชัยวนิช
สาขาวิชา	วิศวกรรมไฟฟ้า
ภาควิชา	วิศวกรรมไฟฟ้าและคอมพิวเตอร์
ปีการศึกษา	2556

บทคัดย่อ

โครงการนี้เป็นการทดสอบผลกระทบของแรงบิดภายในมอเตอร์ไฟฟ้าขณะขับโหลดโดยตรง ซึ่งจะทำการทดสอบกับมอเตอร์เหนี่ยวหน้าไฟฟ้า และมอเตอร์กระแสตรงแบบไร้แปรงถ่านสำหรับในการผู้ทดสอบแรงบิดของมอเตอร์เหนี่ยวหน้าจะแบ่งการควบคุมมอเตอร์ออกเป็น 2 วิธีคือควบคุมด้วยรีเลย์ และควบคุมด้วยโซลิเดสเตตอร์รีเลย์ โดยทำการปรับค่า Sampling Rate Times ไว้ที่ 10 ms และ 100 ms ทั้งสองวิธีการควบคุมมอเตอร์ และกำหนดค่าเป้าหมายของโหลดไว้ที่ 10,20,30,40 และ 50 กิโลกรัม เพื่อเปรียบเทียบผลของแรงบิดภายในมอเตอร์ที่กระทำต่อโหลดในขณะนี้

จากการทดลองควบคุมมอเตอร์เหนี่ยวหน้าด้วยโซลิเดสเตตอร์รีเลย์ โดยปรับ Sampling Rate Times ไว้ที่ 10 ms พบว่าค่าแรงดึงที่มีความผิดพลาดน้อยที่สุด และมีการใช้ปริมาณพลังงานน้อยเมื่อเทียบกับการควบคุมมอเตอร์เหนี่ยวหน้าด้วยรีเลย์ สำหรับมอเตอร์กระแสตรงแบบไร้แปรงถ่านให้แรงดึงที่มีความถูกต้องใกล้เคียงกับเป้าหมาย แต่มีการใช้ปริมาณกระแสสูงเนื่องจากชุดควบคุมมอเตอร์ต้องรักษาแรงดันกระแสไฟฟ้าเข้มอตอเรอร์เพื่อให้มอเตอร์รักษาแรงดันแรงดึง

Project title	Study Torque Control of Electric Motors
Name	Ms.Ilada Thongsanthad ID. 53363263
Project advisor	Assistant Professor Somporn Ruangsinchaiwanich, Ph.D.
Major	Electrical Engineering
Department	Electrical and Computer Engineering
Academic year	2013

Abstract

This project is to test the effect of torque while the electric motor drives the load directly. This will be tested with a Single Phase Induction Motor and Brushless DC Motor. In case of the induction motor torque control motors are divided into two ways; controlled with relays and controlled with solid state relay. By setting the Sampling Rate Times at 10 ms and 100 ms both motor control and setting weight of the load in 10 20 30 40 and 50 kg. To compare the results of the motor torque acting on the load at that time.

From experimental Induction Motor control by solid state relay, adjusted Sampling Rate Times = 10 ms found that tension with minimal error. And they use less energy compared to the motor control in other way. For Brushless DC Motor to tension with accuracy close to the target. But with the amount of high current due to the motor controller maintain the current supplied to the motor.

กิตติกรรมประกาศ

ในการทำปริญญาบัตรครั้งนี้สำเร็จถูกต้องไปด้วยดีโดยได้รับความช่วยเหลือและคำแนะนำจากผู้ช่วยศาสตราจารย์ ดร. สมพร เรืองสินชัยวนิช อาจารย์ที่ปรึกษาปริญญาบัตร ซึ่งได้กรุณาให้แนวความคิด และช่วยแนะนำแหล่งข้อมูลในการทำปริญญาบัตรในครั้งนี้ ผู้ดำเนินโครงการขอขอบพระคุณเป็นอย่างสูง

ขอขอบคุณคุณลิพชัย พึงประดิม นิสิตปริญญาเอก ที่ให้คำแนะนำเกี่ยวกับอุปกรณ์ และวิธีการทดลองในระหว่างดำเนินโครงการ

ท้ายสุดขอขอบพระคุณบิดา มารดา อาจารย์ทุกท่าน และเพื่อนๆ พี่ๆ ทุกคนที่แนะนำและให้การสนับสนุนผู้จัดทำโครงการ จนสำเร็จถูกต้องไปได้ด้วยดี

นางสาวไอลดา ทองสันทัด



สารบัญ

หน้า

ใบรับรองปริญญาบัณฑิต ๑
บทคัดย่อภาษาไทย ๒
บทคัดย่อภาษาอังกฤษ ๓
กิตติกรรมประกาศ ๔
สารบัญ ๕
สารบัญตาราง ๖
สารบัญรูป ๗

บทที่ 1 บทนำ

1.1 ที่มาและความสำคัญของโครงการ ๑
1.2 วัตถุประสงค์ของโครงการ ๑
1.3 ขอบเขตของโครงการ ๑
1.4 ผลที่คาดว่าจะได้รับ ๒
1.5 แผนการดำเนินโครงการ ๒
1.6 ขั้นตอนการดำเนินการ ๒
1.7 งบประมาณ ๒

บทที่ 2 หลักการและทฤษฎี

2.1 บทนำ ๓
2.2 มอเตอร์ไฟฟ้ากระแสสลับ ๔
2.3 มอเตอร์เหนี่ยวนำ ๑ เฟส ๗
2.4 รีเลีย ๑๐
2.5 โซลิడสเตติครีเลีย ๑๑

บทที่ 3 การออกแบบการทดลอง ๑๒

3.1 ปกรณ์การทดลอง ๑๒
3.2 การทำงานของระบบควบคุมมอเตอร์เหนี่ยวนำ ๑๓
3.3 การทำงานของระบบควบคุมมอเตอร์กระแสสลับ ๑๘
3.4 การออกแบบการเขียนโปรแกรม ๒๐

สารบัญ(ต่อ)

หน้า

บทที่ 4 ผลการทดลอง

4.1 จุดประสงค์การทดลอง	27
4.2 ขั้นตอนการทดลอง	27
4.3 ผลการทดลอง	28
4.4 วิเคราะห์ผลการทดลอง	74

บทที่ 5 บทสรุป

5.1 สรุปผลการทดลอง	75
5.2 ปัญหาในการทำงานและแนวทางแก้ไข	77
5.3 ประเมินผล	77
5.4 แนวทางสำหรับการพัฒนา	77
เอกสารอ้างอิง	78
ประวัติผู้ดำเนินโครงการ	79

สารบัญตาราง

ตารางที่	หน้า
3.1 แสดงรายละเอียดของมอเตอร์เห็นี่บวน้ำรุ่น S90R40GXHE.....	17
3.2 แสดงรายละเอียดของมอเตอร์กระแสตรงรุ่น MY-1020 24V _{DC}	19
4.1 แรงดึงเคลื่อนที่ค่าเป้าหมาย 10 กิโลกรัม	29
4.2 เวลาเข้าถึงค่าเป้าหมาย 10 กิโลกรัม.....	34
4.3 แรงดึงเคลื่อนที่ค่าเป้าหมาย 20 กิโลกรัม	35
4.4 เวลาเข้าถึงค่าเป้าหมาย 20 กิโลกรัม.....	40
4.5 ผลแรงดึงเคลื่อนที่ค่าเป้าหมาย 30 กิโลกรัม	41
4.6 เวลาเข้าถึงค่าเป้าหมาย 30 กิโลกรัม.....	46
4.7 แรงดึงเคลื่อนที่ค่าเป้าหมาย 40 กิโลกรัม	47
4.8 เวลาเข้าถึงค่าเป้าหมาย 40 กิโลกรัม.....	52
4.9 แรงดึงเคลื่อนที่ค่าเป้าหมาย 50 กิโลกรัม	53
4.10 เวลาเข้าถึงค่าเป้าหมาย 50 กิโลกรัม.....	58
4.11 แรงดึงเคลื่อนที่ค่าเป้าหมาย 10,20,30,40 และ 50 กิโลกรัมของมอเตอร์เห็นี่บวน้ำที่ ควบคุมด้วยเบอร์เลบ์ โดยปรับตั้งค่า Sampling Rate Times = 10 ms	59
4.12 แรงดึงเคลื่อนที่ค่าเป้าหมาย 10,20,30,40 และ 50 กิโลกรัมของมอเตอร์เห็นี่บวน้ำที่ ควบคุมด้วยเบอร์เลบ์ โดยปรับตั้งค่า Sampling Rate Times = 100 ms	61
4.13 แรงดึงเคลื่อนที่ค่าเป้าหมาย 10,20,30,40 และ 50 กิโลกรัมของมอเตอร์เห็นี่บวน้ำที่ ควบคุมด้วยโซลิดสเตต โดยปรับตั้งค่า Sampling Rate Times = 10 ms	62
4.14 แรงดึงเคลื่อนที่ค่าเป้าหมาย 10,20,30,40 และ 50 กิโลกรัมของมอเตอร์เห็นี่บวน้ำที่ ควบคุมด้วยโซลิดสเตต โดยปรับตั้งค่า Sampling Rate Times = 100 ms	63
4.15 แรงดึงเคลื่อนที่ค่าเป้าหมาย 10,20,30,40 และ 50 กิโลกรัมของมอเตอร์กระแสตรง	64
4.16 ปริมาณเวลาการใช้กระแสที่ค่าเป้าหมาย 10,20,30,40 และ 50 กิโลกรัมของมอเตอร์เห็นี่บวน้ำที่ ควบคุมด้วยเบอร์เลบ์โดยปรับตั้งค่า Sampling Rate Times = 10 ms.....	65
4.17 ปริมาณเวลาการใช้กระแสที่ค่าเป้าหมาย 10,20,30,40 และ 50 กิโลกรัมของมอเตอร์เห็นี่บวน้ำที่ ควบคุมด้วยเบอร์เลบ์โดยปรับตั้งค่า Sampling Rate Times = 100 ms.	66

สารบัญตาราง(ต่อ)

ตารางที่	หน้า
4.18 ปริมาณเวลาการใช้กระแสที่ค่าเป้าหมาย 10,20,30,40 และ 50 กิโลกรัมของมอเตอร์เห็นี่บวน้ำที่ ควบคุมด้วยโซลิดสเตตโดยปรับตั้งค่า Sampling Rate Times = 10 ms	67
4.19 ปริมาณเวลาการใช้กระแสที่ค่าเป้าหมาย 10,20,30,40 และ 50 กิโลกรัมของมอเตอร์เห็นี่บวน้ำที่ ควบคุมด้วยโซลิดสเตตโดยปรับตั้งค่า Sampling Rate Times = 100 ms	68
4.20 ปริมาณกระแสที่ค่าเป้าหมาย 10,20,30,40 และ 50 กิโลกรัมของมอเตอร์กระแสตรง	69
4.21 ปริมาณการใช้พลังงานของมอเตอร์เห็นี่บวน้ำที่ค่าเป้าหมาย 10,20,30,40 และ 50 กิโลกรัม	71
4.22 ปริมาณการใช้พลังงานของมอเตอร์กระแสตรงที่ค่าเป้าหมาย 10,20,30,40 และ 50 กิโลกรัม	73
5.1 สรุปและเปรียบเทียบข้อดี-ข้อด้อยระหว่างมอเตอร์เห็นี่บวน้ำและ มอเตอร์กระแสตรง	77

สารบัญรูป

รูปที่	หน้า
2.1 โครงสร้างหลักของมอเตอร์	3
2.2 กฎมือซ้ายของเฟลมมิ่งและลักษณะการทำงานของมอเตอร์ไฟฟ้ากระแสตรง	5
2.3 โครงสร้างของมอเตอร์กระแสตรง.....	5
2.4 ส่วนประกอบของมอเตอร์กระแสตรงแบบไร้แปรงถ่าน.....	6
2.5 วงจรสมดุลและการฟคุณลักษณะของมอเตอร์กระแสตรงแบบบานาน	6
2.6 ภาคปั๊มมอเตอร์	8
2.7 ภาคปั๊มมอเตอร์ชนิดอิเล็กทรอนิกส์	8
2.8 วงจรสมดุลของมอเตอร์แบบภาคปั๊มมอเตอร์สตาร์ทมอเตอร์	9
2.9 กราฟคุณลักษณะระหว่างแรงบิดกับเปลี่ยนตัวความเร็วของมอเตอร์แบบภาคปั๊มมอเตอร์ สตาร์ทมอเตอร์	9
2.10 สัญลักษณ์แทนโครงสร้างของรีเลย์.....	10
2.11 วงจรภายในของโซลิคสเตรีลেย์.....	11
3.1 มอเตอร์เหนี่ยวนำ 1 เฟส	12
3.2 มอเตอร์กระแสตรงแบบไร้แปรงถ่าน 24 V _{DC}	12
3.3 เครื่องวัดแรงดึง (Load Cell)	12
3.4 อุปกรณ์แปลงสัญญาณไฟฟ้า (Transmitter)	12
3.5 USB-6008 DAQ Device	13
3.6 แหล่งจ่าย 5 V _{DC}	13
3.7 บอร์ดรีเลย์	13
3.8 บอร์ดโซลิคสเตรีลেย์	13
3.9 โคดะแกรมการทำงานของระบบควบคุมมอเตอร์เหนี่ยวนำ.....	13
3.10 วงจรรีเลย์ควบคุมมอเตอร์เหนี่ยวนำ.....	15
3.11 วงจรโซลิคสเตรีล์ควบคุมมอเตอร์เหนี่ยวนำ.....	16
3.12 มอเตอร์เหนี่ยวนำ	17
3.13 โคดะแกรมการทำงานของระบบควบคุมมอเตอร์กระแสตรงแบบไร้แปรงถ่าน	18
3.14 มอเตอร์กระแสตรง	19
3.15 แผนภาพแสดงการทำงานของระบบควบคุมมอเตอร์เหนี่ยวนำ	20
3.16 หน้าต่างโปรแกรมควบคุมมอเตอร์เหนี่ยวนำ	21

สารบัญรูป(ต่อ)

รูปที่	หน้า
3.17 ໄດ້ຂະແໜນການຄວບຄຸມນອເທຼອຣໜີ່ບວນນໍາດ້ວຍເລີຍ.....	22
3.18 ໄດ້ຂະແໜນການຄວບຄຸມນອເທຼອຣໜີ່ບວນນໍາດ້ວຍໂຫລືຄສເຕີຣີເລີຍ.....	22
3.19 ແຜນກາພແສດງກາຮ່າງນານຂອງຮະບນຄວບຄຸມນອເທຼອຣ໺ກະແສດຮງ.....	24
3.20 ມັນຫຼັງໄປຮ່າງການຄວບຄຸມນອເທຼອຣ໺ກະແສດຮງ	25
3.21 ໄດ້ຂະແໜນການຄວບຄຸມນອເທຼອຣ໺ກະແສດຮງ.....	26
4.1 ກາຮ່າງຈິງເລີຍເຂັ້ມນອເທຼອຣໜີ່ບວນ	27
4.2 ກາຮ່າງໃຊ້ຈຳນອນອເທຼອຣ໺ກະແສດຮງ.....	28
4.3 ກຣາຟແຮງຈິງເລີຍຂອງນອເທຼອຣໜີ່ບວນທີ່ຄວບຄຸມດ້ວຍເລີຍ ($T = 10\text{ ms}$) ຄ່າເປົ້າໝາຍ 10 ກີໂໂລກຮັນ	30
4.4 ກຣາຟແຮງຈິງເລີຍຂອງນອເທຼອຣໜີ່ບວນທີ່ຄວບຄຸມດ້ວຍເລີຍ ($T = 100\text{ ms}$) ຄ່າເປົ້າໝາຍ 10 ກີໂໂລກຮັນ	30
4.5 ກຣາຟແຮງຈິງເລີຍຂອງນອເທຼອຣໜີ່ບວນທີ່ຄວບຄຸມດ້ວຍໂຫລືຄສເຕີຣ ($T = 10\text{ ms}$) ຄ່າເປົ້າໝາຍ 10 ກີໂໂລກຮັນ	31
4.6 ກຣາຟແຮງຈິງເລີຍຂອງນອເທຼອຣໜີ່ບວນທີ່ຄວບຄຸມດ້ວຍໂຫລືຄສເຕີຣ ($T = 100\text{ ms}$) ຄ່າເປົ້າໝາຍ 10 ກີໂໂລກຮັນ	31
4.7 ກຣາຟແຮງຈິງເລີຍຂອງນອເທຼອຣ໺ກະແສດຮງທີ່ຄ່າເປົ້າໝາຍ 10 ກີໂໂລກຮັນ	32
4.8 ກຣາຟເປີບນໍ້າຕົວແຮງຈິງຮ່ວມມອບເທຼອຣໜີ່ບວນກັບນອເທຼອຣ໺ກະແສດຮງ ຄ່າເປົ້າໝາຍ 10 ກີໂໂລກຮັນ	32
4.9 ກຣາຟແສດງເວລາເຂົ້າດຶງຄ່າເປົ້າໝາຍທີ່ 10 ກີໂໂລກຮັນຂອງນອເທຼອຣໜີ່ບວນ	33
4.10 ກຣາຟແສດງເວລາເຂົ້າດຶງຄ່າເປົ້າໝາຍທີ່ 10 ກີໂໂລກຮັນຂອງນອເທຼອຣ໺ກະແສດຮງ	33
4.11 ກຣາຟແຮງຈິງເລີຍຂອງນອເທຼອຣໜີ່ບວນທີ່ຄວບຄຸມດ້ວຍເລີຍ ($T = 10\text{ ms}$) ຄ່າເປົ້າໝາຍ 20 ກີໂໂລກຮັນ	36
4.12 ກຣາຟແຮງຈິງເລີຍຂອງນອເທຼອຣໜີ່ບວນທີ່ຄວບຄຸມດ້ວຍເລີຍ ($T = 100\text{ ms}$) ຄ່າເປົ້າໝາຍ 20 ກີໂໂລກຮັນ	36
4.13 ກຣາຟແຮງຈິງເລີຍຂອງນອເທຼອຣໜີ່ບວນທີ່ຄວບຄຸມດ້ວຍໂຫລືຄສເຕີຣ ($T = 10\text{ ms}$) ຄ່າເປົ້າໝາຍ 20 ກີໂໂລກຮັນ	37
4.14 ກຣາຟແຮງຈິງເລີຍຂອງນອເທຼອຣໜີ່ບວນທີ່ຄວບຄຸມດ້ວຍໂຫລືຄສເຕີຣ ($T = 100\text{ ms}$) ທີ່ຄ່າເປົ້າໝາຍ 20 ກີໂໂລກຮັນ	37

สารบัญรูป(ต่อ)

รูปที่	หน้า
4.15 กราฟแรงดึงเฉลี่ยของมอเตอร์กระแสตรงที่ค่าเป้าหมาย 20 กิโลกรัม	38
4.16 กราฟเปรียบเทียบแรงดึงระหว่างมอเตอร์เหนี่ยวนำกับมอเตอร์กระแสตรง ค่าเป้าหมาย 20 กิโลกรัม	38
4.17 กราฟแสดงเวลาเข้าถึงค่าเป้าหมายที่ 20 กิโลกรัมของมอเตอร์เหนี่ยวนำ.....	39
4.18 กราฟแสดงเวลาเข้าถึงค่าเป้าหมายที่ 20 กิโลกรัมของมอเตอร์กระแสตรง	39
4.19 กราฟแรงดึงเฉลี่ยของมอเตอร์เหนี่ยวนำที่ความคุณค่าวายรีแล็ป (T = 10 ms) ค่าเป้าหมาย 30 กิโลกรัม	42
4.20 กราฟแรงดึงเฉลี่ยของมอเตอร์เหนี่ยวนำที่ความคุณค่าวายรีแล็ป (T = 100 ms) ค่าเป้าหมาย 30 กิโลกรัม	42
4.21 กราฟแรงดึงเฉลี่ยของมอเตอร์เหนี่ยวนำที่ความคุณค่าวายรีแล็ป (T = 10 ms) ค่าเป้าหมาย 30 กิโลกรัม	43
4.22 กราฟแรงดึงเฉลี่ยของมอเตอร์เหนี่ยวนำที่ความคุณค่าวายรีแล็ป (T = 100 ms) ค่าเป้าหมาย 30 กิโลกรัม	43
4.23 กราฟแรงดึงเฉลี่ยของมอเตอร์กระแสตรงที่ค่าเป้าหมาย 30 กิโลกรัม	44
4.24 กราฟเปรียบเทียบแรงดึงระหว่างมอเตอร์เหนี่ยวนำกับมอเตอร์กระแสตรงที่ ค่าเป้าหมาย 30 กิโลกรัม	44
4.25 กราฟแสดงเวลาเข้าถึงค่าเป้าหมายที่ 30 กิโลกรัมของมอเตอร์เหนี่ยวนำ.....	45
4.26 กราฟแสดงเวลาเข้าถึงค่าเป้าหมายที่ 30 กิโลกรัมของมอเตอร์กระแสตรง	45
4.27 กราฟแรงดึงเฉลี่ยของมอเตอร์เหนี่ยวนำที่ความคุณค่าวายรีแล็ป (T = 10 ms) ค่าเป้าหมาย 40 กิโลกรัม	48
4.28 กราฟแรงดึงเฉลี่ยของมอเตอร์เหนี่ยวนำที่ความคุณค่าวายรีแล็ป (T = 100 ms) ค่าเป้าหมาย 40 กิโลกรัม	48
4.29 กราฟแรงดึงเฉลี่ยของมอเตอร์เหนี่ยวนำที่ความคุณค่าวายรีแล็ป (T = 10 ms) ค่าเป้าหมาย 40 กิโลกรัม	49
4.30 กราฟแรงดึงเฉลี่ยของมอเตอร์เหนี่ยวนำที่ความคุณค่าวายรีแล็ป (T = 100 ms) ค่าเป้าหมาย 40 กิโลกรัม	49
4.31 กราฟแรงดึงของมอเตอร์กระแสตรงที่ค่าเป้าหมาย 40 กิโลกรัม.....	50

สารบัญรูป(ต่อ)

รูปที่	หน้า
4.32 กราฟเปรียบเทียบแรงดึงระหว่างมอเตอร์เหนี่ยวนำกับมอเตอร์กระแสตรง ค่าเป้าหมาย 40 กิโลกรัม.....	50
4.33 กราฟแสดงเวลาเข้าถึงค่าเป้าหมายที่ 40 กิโลกรัมของมอเตอร์เหนี่ยวนำ.....	51
4.34 กราฟแสดงเวลาเข้าถึงค่าเป้าหมายที่ 40 กิโลกรัมของมอเตอร์กระแสตรง	51
4.35 กราฟแรงดึงเฉลี่ยของมอเตอร์เหนี่ยวนำที่ควบคุมด้วยเบรลี (T = 10 ms) ค่าเป้าหมาย 50 กิโลกรัม	54
4.36 กราฟแรงดึงเฉลี่ยของมอเตอร์เหนี่ยวนำที่ควบคุมด้วยเบรลี (T = 100 ms) ค่าเป้าหมาย 50 กิโลกรัม	54
4.37 กราฟแรงดึงเฉลี่ยของมอเตอร์เหนี่ยวนำที่ควบคุมด้วยโซลิคสเก็ต (T = 10 ms) ค่าเป้าหมาย 50 กิโลกรัม	55
4.38 กราฟแรงดึงเฉลี่ยของมอเตอร์เหนี่ยวนำที่ควบคุมด้วยโซลิคสเก็ต (T = 100 ms) ค่าเป้าหมาย 50 กิโลกรัม	55
4.39 กราฟแรงดึงเฉลี่ยของมอเตอร์กระแสตรงที่ค่าเป้าหมาย 50 กิโลกรัม	56
4.40 กราฟเปรียบเทียบแรงดึงระหว่างมอเตอร์เหนี่ยวนำกับมอเตอร์กระแสตรง ค่าเป้าหมาย 50 กิโลกรัม	56
4.41 กราฟแสดงเวลาเข้าถึงค่าเป้าหมายที่ 50 กิโลกรัมของมอเตอร์เหนี่ยวนำ.....	57
4.42 กราฟแสดงเวลาเข้าถึงค่าเป้าหมายที่ 50 กิโลกรัมของมอเตอร์กระแสตรง	57
4.43 กราฟแรงดึงของมอเตอร์เหนี่ยวนำที่ค่าเป้าหมาย 10,20,30,40 และ 50 กิโลกรัม ที่ควบคุมด้วยเบรลี โดยปรับตั้งค่า Sampling Rate Times = 10 ms.....	60
4.44 กราฟแรงดึงของมอเตอร์เหนี่ยวนำที่ค่าเป้าหมาย 10,20,30,40 และ 50 กิโลกรัม ที่ควบคุมด้วยเบรลี โดยปรับตั้งค่า Sampling Rate Times = 100 ms	61
4.45 กราฟแรงดึงของมอเตอร์เหนี่ยวนำที่ค่าเป้าหมาย 10,20,30,40 และ 50 กิโลกรัม ที่ควบคุมด้วยโซลิคสเก็ต โดยปรับตั้งค่า Sampling Rate Times = 10 ms	62
4.46 กราฟแรงดึงของมอเตอร์เหนี่ยวนำที่ค่าเป้าหมาย 10,20,30,40 และ 50 กิโลกรัม ที่ควบคุมด้วยโซลิคสเก็ต โดยปรับตั้งค่า Sampling Rate Times = 100 ms	63

สารบัญรูป(ต่อ)

รูปที่	หน้า
4.47 กราฟแรงดึงของมอเตอร์กระแสตรงที่ค่าเป้าหมาย 10,20,30,40 และ 50 กิโลกรัม.....	64
4.48 ปริมาณเวลาการใช้กระแสที่ค่าเป้าหมาย 10,20,30,40 และ 50 กิโลกรัมของมอเตอร์เห็นี่ยวน้ำ ที่ควบคุมด้วยเบอร์เดบีโดยปรับตั้งค่า Sampling Rate Times = 10 ms.....	65
4.49 ปริมาณเวลาการใช้กระแสที่ค่าเป้าหมาย 10,20,30,40 และ 50 กิโลกรัมของมอเตอร์เห็นี่ยวน้ำ ที่ควบคุมด้วยเบอร์เดบีโดยปรับตั้งค่า Sampling Rate Times = 100 ms.....	66
4.50 ปริมาณเวลาการใช้กระแสที่ค่าเป้าหมาย 10,20,30,40 และ 50 กิโลกรัมของมอเตอร์เห็นี่ยวน้ำ ที่ควบคุมด้วยโซลิคส์เดด โดยปรับตั้งค่า Sampling Rate Times = 10 ms.. ..	67
4.51 ปริมาณเวลาการใช้กระแสที่ค่าเป้าหมาย 10,20,30,40 และ 50 กิโลกรัมของมอเตอร์เห็นี่ยวน้ำ ที่ควบคุมด้วยโซลิคส์เดด โดยปรับตั้งค่า Sampling Rate Times = 100 ms	68
4.52 ปริมาณกระแสเฉลี่ยที่ค่าเป้าหมาย 10,20,30,40 และ 50 กิโลกรัมของมอเตอร์กระแสตรง	69
4.53 ปริมาณการใช้พลังงานของมอเตอร์เห็นี่ยวน้ำที่ค่าเป้าหมาย 10 กิโลกรัม	70
4.54 ปริมาณการใช้พลังงานของมอเตอร์เห็นี่ยวน้ำที่ค่าเป้าหมาย 20 กิโลกรัม	71
4.55 ปริมาณการใช้พลังงานของมอเตอร์เห็นี่ยวน้ำที่ค่าเป้าหมาย 30 กิโลกรัม	71
4.56 ปริมาณการใช้พลังงานของมอเตอร์เห็นี่ยวน้ำที่ค่าเป้าหมาย 40 กิโลกรัม	72
4.57 ปริมาณการใช้พลังงานของมอเตอร์เห็นี่ยวน้ำที่ค่าเป้าหมาย 50 กิโลกรัม	72
4.58 ปริมาณการใช้พลังงานของมอเตอร์กระแสตรง ที่ค่าเป้าหมาย 10,20,30,40 และ 50 กิโลกรัม	73

บทที่ 1

บทนำ

1.1 ที่มาและความสำคัญของโครงงาน

ในปัจจุบันเป็นที่ทราบกันดีว่ามอเตอร์ไฟฟ้าเป็นอุปกรณ์ที่ถูกใช้งานอย่างแพร่หลายทั้งในภาคอุตสาหกรรม และภาคครัวเรือนทั่วไป มอเตอร์ไฟฟ้าทำหน้าที่เปลี่ยนแปลงพลังงานไฟฟ้าเป็น พลังงานทางกลในรูปการหมุนเคลื่อนที่ สามารถเบ่งความลักษณะของแหล่งจ่ายไฟฟ้า คือ มอเตอร์ไฟฟ้ากระแสตรง (DC Motor) และ มอเตอร์ไฟฟ้ากระแสสลับ (AC Motor)

การเลือกมอเตอร์ให้เหมาะสมกับงานนับว่าเป็นเรื่องสำคัญ ซึ่งส่วนใหญ่การเลือกใช้งาน มอเตอร์จะคำนึงถึงสภาพของโหลดเสมอ เช่น ความต้องการความเร็วที่คงที่ (Constant Speed) หรือ ความต้องการต่อการตอบสนองต่อแรงบิดที่ดี (High Torque) โดยทั่งสองพารามิเตอร์จะมี ความสัมพันธ์ต่อกันยกตัวอย่างเช่น ถ้าแรงบิดของมอเตอร์ต่ำเกินไปจะมีโหลด นอเตอร์จะหมุนช้าลง ส่งผลให้มีความต้องการกระแสไฟเพิ่มขึ้น หากแหล่งจ่ายไม่สามารถตอบสนองค่ากระแสได้ มอเตอร์นี้ ๆ จะหยุดลง โครงงานนี้จึงเป็นการศึกษาและเปรียบเทียบผลกระทบของแรงบิด ภายในมอเตอร์ไฟฟ้าขณะขับโหลด เพื่อที่จะได้นำข้อมูลที่เป็นประโยชน์ไปใช้ในการเลือกมอเตอร์ไฟฟ้าให้ตรงตามลักษณะโหลดที่ต้องการ

1.2 วัตถุประสงค์ของโครงงาน

- เพื่อศึกษาผลกระทบของแรงบิดภายในมอเตอร์ไฟฟ้ากระแสสลับแบบไร้แปรงถ่าน และมอเตอร์เหนี่ยวหนาน 1 เฟสขับขับโหลด
- เพื่อเปรียบเทียบเวลาในการเข้าถึงค่าเป้าหมายของมอเตอร์ไฟฟ้ากระแสสลับแบบไร้แปรงถ่าน และมอเตอร์เหนี่ยวหนาน 1 เฟสขับขับโหลด
- เพื่อศึกษาการควบคุมมอเตอร์ด้วยโปรแกรมแลปวิว (Lab View)

1.3 ขอบเขตของโครงงาน

- ศึกษาคุณสมบัติของมอเตอร์ไฟฟ้ากระแสสลับและมอเตอร์ไฟฟ้ากระแสสลับ
- ศึกษาโปรแกรมแลปวิว (Lab View)
- ทดสอบการทำงานของมอเตอร์ไฟฟ้าขณะขับโหลดโดยตรง
- วิเคราะห์และเปรียบเทียบผลกระทบการทำงานของมอเตอร์

1.4 ผลที่คาดว่าจะได้รับ

1. ทราบถึงผลกระทบของแรงบิดภายในมอเตอร์ไฟฟ้ากระแสตรงแบบไร้แปรงถ่าน และมอเตอร์เหนีขวน 1 เฟสขยะขับไฟล์ด
2. ทราบถึงการใช้เวลาเข้าถึงค่าเป้าหมายของมอเตอร์ไฟฟ้ากระแสตรงแบบไร้แปรงถ่าน และมอเตอร์เหนีขวน 1 เฟสขยะขับไฟล์ด
3. สามารถควบคุมมอเตอร์โดยโปรแกรมแลปวิว (Lab View)
4. เลือกใช้งานมอเตอร์ตรงกับลักษณะความต้องการของไฟล์ด

1.5 แผนการดำเนินโครงการ

กิจกรรม	ปี 2556									
	เม.ย.	พ.ค.	มิ.ย.	ก.ค.	ส.ค.	ก.ย.	ต.ค.	พ.ย.	ธ.ค.	
1. ศึกษาการทำงานของมอเตอร์กระแสสลับและมอเตอร์กระแสตรง				↔	↔					
2. ทำการออกแบบโปรแกรมควบคุมมอเตอร์				↔	↔					
3. ทดสอบการทำงานของมอเตอร์ไฟฟ้าขยะขับไฟล์ด				↔	↔					
4. เปรียบเทียบ ละวิเคราะห์ผล					↔	↔				
5. สรุปผลและเขียนปริญญาบัตร							↔	↔	↔	

หมายเหตุ ช่วงเวลาดังกล่าวอาจมีการเปลี่ยนแปลงได้ตามความเหมาะสม

1.6 ขั้นตอนการดำเนินงาน

1. ศึกษาคุณสมบัติการทำงานของมอเตอร์ไฟฟ้ากระแสสลับและกระแสตรง
2. ทำการออกแบบการควบคุมและทดสอบการทำงานของมอเตอร์ไฟฟ้าขยะขับไฟล์ด
3. ทำการทดลอง เก็บค่าและวิเคราะห์ผลการทดลอง
4. เขียนปริญญาบัตร

1.7 งบประมาณ

ค่าจัดทำรายงาน	1,000 บาท
รวมทั้งสิ้น	1,000 บาท (หนึ่งพันบาทถ้วน)
หมายเหตุ ขออนุมัติถัวเฉลี่ยทุกรายการ	

บทที่ 2

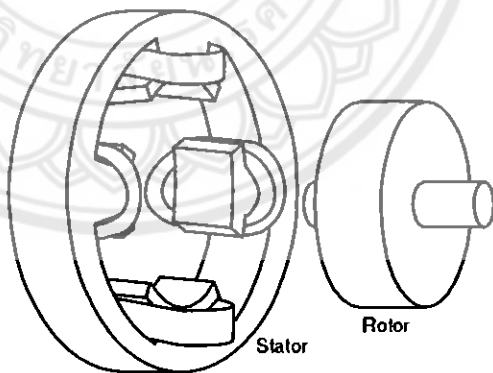
หลักการและกฎข้อเบื้องต้น

2.1 บทนำ

มอเตอร์ไฟฟ้า (Electrical Motor) เป็นเครื่องจักรกลไฟฟ้าที่เปลี่ยนพลังงานไฟฟ้าให้เป็นพลังงานกล โดยส่งผ่านพลังงานกลที่เกนเพลาเพื่อให้เกิดการเคลื่อนที่ ใช้เป็นต้นกำลังสำหรับขับเคลื่อนในระบบงานต่างๆ

มอเตอร์ไฟฟ้าที่ถูกผลิตขึ้นมาใช้งานสามารถแบ่งออกได้เป็น 2 ประเภท คือ มอเตอร์ไฟฟ้ากระแสตรง (DC Motor) ใช้กับระบบไฟฟ้ากระแสตรง ถือว่าเป็นมอเตอร์แบบเบื้องต้นที่ถูกผลิตมาใช้งาน และมอเตอร์ไฟฟ้ากระแสสลับ (AC Motor) ใช้กับระบบไฟฟ้ากระแสสลับ มอเตอร์ชนิดนี้ถูกพัฒนามาจากมอเตอร์กระแสตรงเพื่อให้สามารถใช้งานได้อย่างกว้างขวางมากขึ้น

โครงสร้างเบื้องต้นของมอเตอร์ไฟฟ้าที่สำคัญมี 2 ส่วน คือ สเตเตอร์ (Stator) เป็นส่วนที่อยู่กับที่ และ โรเตอร์ (Rotor) เป็นส่วนที่หมุนเคลื่อนที่ การทำงานของมอเตอร์ไฟฟ้าอาจสืบสานมาแม่เหล็ก 2 ชุด ได้แก่ สนามแม่เหล็กถาวร และสนามแม่เหล็กไฟฟ้าของขดลวดตัวนำ ผลของการผลักกันและดูดกันของสนามแม่เหล็กทั้งสองทำให้ขดลวดโรเตอร์ ทิ่วทางอยู่กลางแม่เหล็กถาวรเกิดการหมุนเคลื่อนที่



รูปที่ 2.1 โครงสร้างหลักของมอเตอร์ [1]

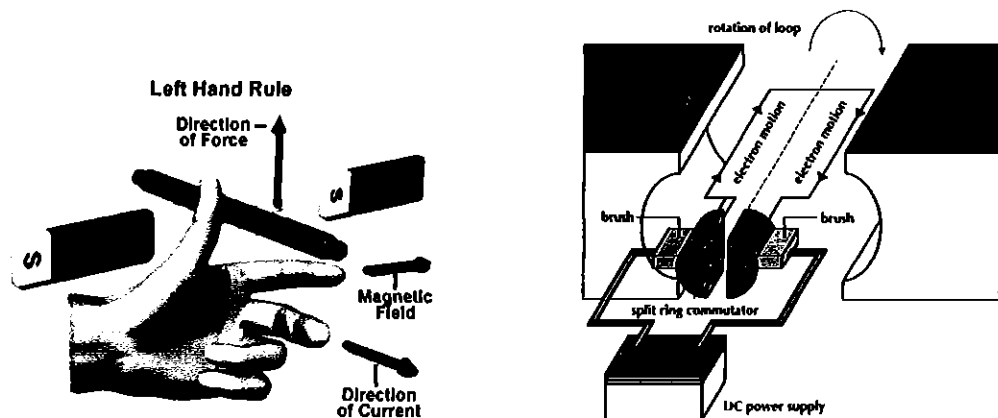
2.2 ဓនဓောრးໄไฟຟ້າກະແສດຮງ

ဓនဓောርးໄไฟຟ້າກະແສດຮງແລະ ເຄື່ອງກຳນີ້ໃຫ້ໄຟຟ້າກະແສດຮງມີສ່ວນປະກອບສໍາຄັງເໝືອນກັນ ຜົ່ງທາກພິຈາລາຍາກພາຍນອກແດ່ວຈະມີລັກຂະພະເໝືອນກັນທຸກປະກາດ ສ່ວນທີ່ແຕກຕ່າງກັນກີ່ອລັກຂະພະ ການໃຊ້ຈານເທົ່ານັ້ນ ເຄື່ອງກຳນີ້ໃຫ້ໄຟຟ້າກະແສດຮງໄດ້ຮັບພລັງຈານກລຈາກພາຍນອກມາຂັ້ນອາມເຊື່ອໄໝ ໄທ ທຸນທັດກັນສະນາມແມ່ເໜີກີ່ທີ່ເກີດຈາກບົດລວດພຶລືດ້ອຍລົ້າໃນເຄື່ອງກຳນີ້ ສ່ວນဓນဓောርးໄຟຟ້າ ກະແສດຮງຈະໄດ້ຮັບພລັງຈານໄຟຟ້າຈາກພາຍນອກນາທຳໄໝເກີດສະນາມແມ່ເໜີກີ່ເຊື່ອໃນທີ່ ພົ່ນທັດກັນສະນາມແມ່ເໜີກີ່ເຊື່ອໃນທີ່

ເນື້ອບົດລວດຕົວນໍາຫມູນທັດກັນສະນາມແມ່ເໜີກີ່ຈະທຳໄໝເກີດແຮງດັນໄຟຟ້າເໜີນໜ້າເຊື່ອໃນບົດລວດ ຕົວນໍານັ້ນແລະ ທິສທາງການໄຫລຂອງກະແສດໃນບົດລວດຕົວນໍາຈະໄຫລໃນທິສທາງທີ່ດ້ານກາຮ່ານູນຂອງ ບົດລວດຕົວນໍານັ້ນ ຜົ່ງກູ້ໃນເຮືອງທິສທາງການໄຫລຂອງກະແສໄຟຟ້າເໜີເປົ້າກູ້ອັນເລັນໆ ເຊື່ອຮັບພລົມ ມີກີ່ໄດ້ກັນພບວິທີພິຈາລາຍາວ່າ ກາຮ່ານູນຂອງဓນဓောርුຈະຫມູນໄປໃນທິສທາງໃດນັ້ນ ດ້າທຣາບທິສທາງການ ໄຫລຂອງກະແສໄຟຟ້າກີ່ຈະພບຄວາມສັນພັນຮັດຈັນນີ້ດີ່ ດ້າທຣາບທິສທາງຂອງເສັ້ນແຮງແມ່ເໜີກີ່ ທິສ ທາງການໄຫລຂອງກະແສໄຟຟ້າໃນຕົວນໍາຈະທຳໄໝທຣາບທິສທາງກາຮ່ານູນຂອງບົດລວດຕົວນໍາໄໝ ກັນພບນີ້ເບີກວ່າກູ້ນີ້ຍື່ອໜ້າຂອງພລົມນີ້ຈຶ່ງກະແສທີ່ໄຫລໃນບົດລວດຕົວນໍາຈະສ້າງສະນາມແມ່ເໜີກີ່ ແລະ ບົດລວດຕົວນໍາຈະອູ່ໜ້າຈາກຫຼຸນຍົກລາງກາຮ່ານູນຈຶ່ງໄດ້ຄວາມສັນພັນຮັດຈັນວ່າ ແຮງບົດຂອງພລາ ແລະ ກະແສດັ່ງສຳຄັນການທີ່ 2.1

$$T = k\phi I \quad (2.1)$$

ເນື້ອ	T	ກີ່ອ ແຮງບົດຂອງພລາ (ນິວຕັນ/ເມຕຣ)
	ϕ	ກີ່ອ ເສັ້ນແຮງແມ່ເໜີກີ່ (ເວບອ້ອງ)
	I	ກີ່ອ ກະແສ (ແອນແປຣ)
	k	ກີ່ອ ກ່າວກົງທີ່ຂອງဓນဓောරු (ຕາມໂຄຮງສ້າງກາຮ່ານູນ)



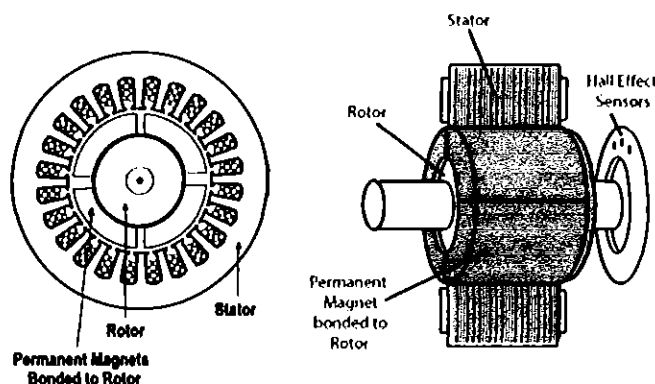
รูปที่ 2.2 กฎมือซ้ายของเฟลามนิ่งและลักษณะการทำงานของมอเตอร์ไฟฟ้ากระแสตรง [2][3]



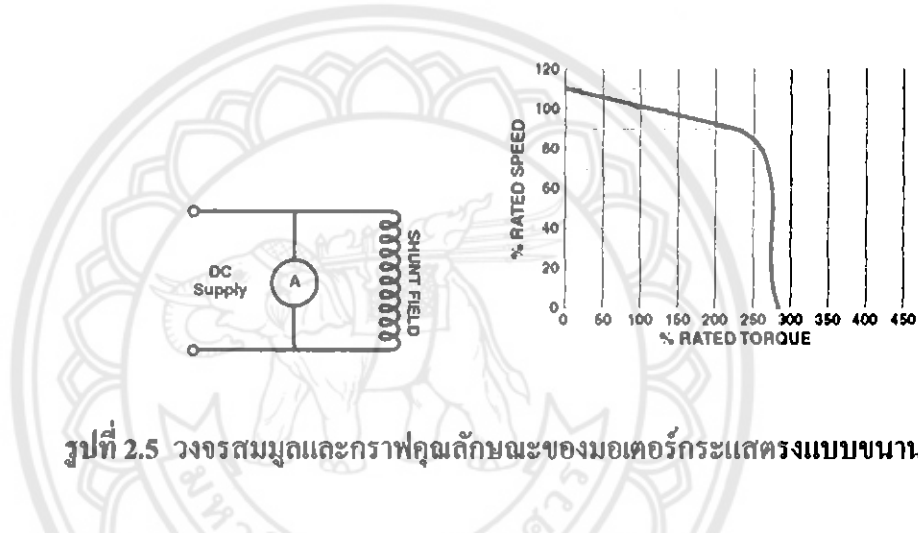
รูปที่ 2.3 โครงสร้างของมอเตอร์กระแสตรง [4]

2.3.1 มอเตอร์กระแสตรงแบบไร้แปรงถ่าน (Brushless DC Motor)

มอเตอร์กระแสตรงแบบไร้แปรงถ่านเป็นมอเตอร์ที่ใช้แม่เหล็กถาวรในการสร้างสนามแม่เหล็กและมีการเปลี่ยนแปลงขั้วที่สตเตเตอร์ทำให้มอเตอร์เกิดการหมุน มอเตอร์ชนิดนี้ไม่สามารถต่อค่าลงไฟฟ้าจากแหล่งจ่ายได้โดยตรง ต้องทำงานร่วมกับชุดควบคุมมอเตอร์เท่านั้น และมีตัวตรวจจับสนามแม่เหล็ก (Hall Sensor) ติดตั้งเป็นส่วนหนึ่งของสตเตเตอร์ มีหน้าที่แทนการทำงานของแปรงถ่านและคอนมิวเตอร์ มอเตอร์กระแสตรงแบบไร้แปรงถ่านสามารถเริ่มหมุนได้ในสภาวะไม่มีโหลด (No Load) ขณะที่มอเตอร์กระแสตรงทั่วไปอาจไม่สามารถทำได้ (จะเกิดการเสียหาย) มอเตอร์กระแสตรงแบบไร้แปรงถ่านมีโครงสร้างที่ซับซ้อนมากกว่ามอเตอร์กระแสตรงที่มีแปรงถ่าน โดยมีส่วนประกอบสำคัญแสดงในรูปที่ 2.4 โดยมีส่วนประกอบดังนี้ โรเตอร์ (Rotor) สตเตเตอร์ (Stator) และแม่เหล็กถาวร (Permanence Magnet)



รูปที่ 2.4 ส่วนประกอบของมอเตอร์กระแสตรงแบบไร้แปรงค่า [5][6]



รูปที่ 2.5 วงจรสมมูลและการไฟคุณลักษณะของมอเตอร์กระแสตรงแบบบานาน [7]

เนื่องจากนอเตอร์กระแสตรงแบบไร้แปรงค่าจัดเป็นนอเตอร์กระแสตรงแบบบานาน ซึ่งมอเตอร์ลักษณะนี้ บคลวคายาร์เนเจอร์จะต่อขานกับบคลวคสเตเตอร์ ให้ความเร็วคงที่ และแรงบิดเริ่มหมุนต่อ

ข้อดีของนอเตอร์ไฟฟ้ากระแสตรงสามารถจ่ายแรงบิดที่จะทำให้มอเตอร์หมุนได้มากกว่า แรงบิดขณะใช้งานปกติถึง 3 เท่า หรือมากกว่านั้นและในสถานการณ์ฉุกเฉินมอเตอร์ไฟฟ้ากระแสตรงสามารถที่จะจ่ายแรงบิดได้มากถึง 5 เท่าของแรงบิดใช้งานปกติโดยไม่หยุดทำงาน กลางคัน

2.3 มอเตอร์เหนี่ยวนำ 1 เฟส

มอเตอร์เหนี่ยวนำแบบ 1 เฟสมีโครงสร้างคล้ายกับมอเตอร์ 3 เฟส แต่มีข้อแตกต่างกันตรงที่ สเตเตอร์ของแบบ 1 เฟสมีการพันขดลวดในลักษณะแบบเฟสเดียว และต่อเข้ากับระบบไฟฟ้ากระแสสลับเพียง 1 เฟส ดังนั้นสำนวนแม่เหล็กที่เกิดขึ้นที่สเตเตอร์จะไม่ใช่สำนวนแม่เหล็กที่หมุนด้วย ความเร็วซึ่ง โกรนัสเหมือนกับในการพิจ่องมอเตอร์ 3 เฟสที่ได้รับแรงดันไฟฟ้ากระแสสลับ 3 เฟส จึงเป็นเหตุให้สำนวนแม่เหล็กที่เกิดการกลับไปกลับมาอยู่ที่สเตเตอร์นั้น ไม่สามารถทำให้มอเตอร์เกิด แรงบิด และหมุนขึ้นได้ในขณะที่โรเตอร์นั้นยังหยุดอยู่ เป็นสาเหตุว่าทำไม่成มอเตอร์เหนี่ยวนำ 1 เฟส ไม่สามารถเริ่มหมุนได้ด้วยตัวเอง แต่จะหมุนได้ก็ต่อเมื่อ โรเตอร์ถูกทำให้หมุนด้วยวิธีใดวิธีหนึ่ง ซึ่ง หมายถึงต้องทำให้เริ่มหมุนด้วยมือหรืออุปกรณ์อื่นๆ ก่อน และเมื่อมอเตอร์ถูกช่วยทำให้หมุนไป ทิศทางใดทิศทางหนึ่งแล้ว จะทำให้เกิดแรงบิดและอัตราเร่งขึ้นในโรเตอร์นั้นจนกระทั่งได้ความเร็ว เต็มพิกัดของมอเตอร์

2.3.1 ค่าปานิช(esr) มอเตอร์ (Capacitor Motor)

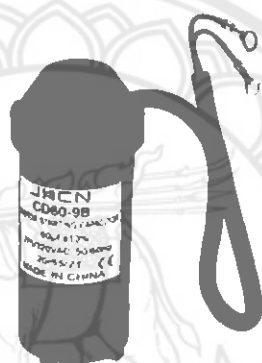
ค่าปานิช(esr) มอเตอร์เป็นมอเตอร์เหนี่ยวนำกระแสสลับชนิด 1 เฟสที่มีคุณสมบัติพิเศษคือ แรงบิดขณะ starters ทสูง ใช้กระแสไฟฟ้าต่ำกว่าที่ต้อง 1/20 - 10 แรงม้า และเป็นที่นิยมใช้ งานเกี่ยวกับปั๊มน้ำ เครื่องอัดลม ตู้เช่า ตู้เย็น และงานขับโลหต์ด้วยสายพานที่มีความตื้นสูง เป็นต้น

ส่วนประกอบของค่าปานิช(esr) มอเตอร์

1. โรเตอร์เป็นแบบกรุงกระอก
2. สเตเตอร์ประกอบด้วยขดลวด 2 ชุดคือ
 - 2.1 ขดลวดชุด starters (Starting Winding) เป็นขดลวดไฟฟ้าเส้นเล็ก มีค่าความต้านทาน ไฟฟ้าสูง แต่มีค่ารีแอคเวนซ์ต่ำ พันอยู่ด้านบนของสลีดจิงมีเนื้อที่สัมผัสน้อยแก่น เหล็กน้อย
 - 2.2 ขดลวดชุดรัน (Running Winding) เป็นขดลวดไฟฟ้าเส้นใหญ่ มีค่าความต้านทาน ไฟฟ้าต่ำ แต่มีค่ารีแอคเวนซ์สูง พันอยู่ด้านล่างของสลีดจิงมีเนื้อที่สัมผัสนักแก่น เหล็กมาก
3. ฝาปิดหัวท้ายประกอบด้วยปลอกทองเหลือง (Bush) หรือตลับถูกปืน (Ball Bearing) สำหรับรองรับเพลา
4. ค่าปานิช(esr) หรือコンденเซอร์ (Capacitor or Condenser)



รูปที่ 2.6 ค่าปั๊มเตอร์นอยเตอร์ [8]



รูปที่ 2.7 ค่าปั๊มเตอร์ชนิดอิเล็กโทรไลต์ [9]

2.3.2 หลักการทำงานของค่าปั๊มเตอร์นอยเตอร์

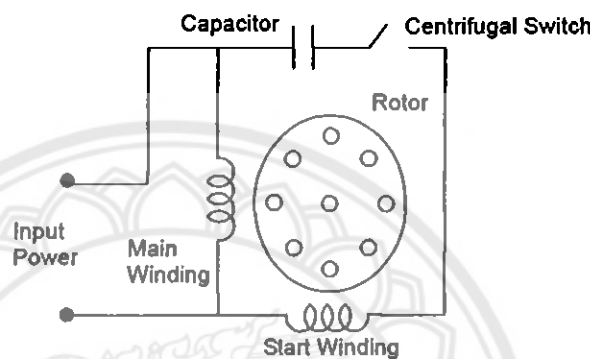
การทำงานของค่าปั๊มเตอร์อาศัยหลักการเหนี่ยวนำทางแม่เหล็กไฟฟ้า โดยที่ขดลวดชุดรันและขดลวดสตาร์ทซึ่งมีค่าปั๊มเตอร์ชนิดอิเล็กโทรไลต์ต่ออนุกรมอยู่ วางทำมุมห่างกัน 90 องศา เพื่อทำให้เกิดสนามแม่เหล็กไปเหนีบวนมาให้เกิดกระแสไฟลในขดลวดโรเตอร์ กระแสไฟฟ้าส่วนนี้จะสร้างสนามแม่เหล็กขึ้นมาเพื่อไปผลักกับสนามแม่เหล็กที่สเตเตอร์ เกิดเป็นแรงบิดที่โรเตอร์ให้หมุนเคลื่อนที่

ค่าปั๊มเตอร์นอยเตอร์แบ่งออกเป็น 3 แบบคือ ค่าปั๊มเตอร์สตาร์ทมอยเตอร์ (Capacitor Start Motor) ค่าปั๊มเตอร์รันนอยเตอร์ (Capacitor Run Motor) และค่าปั๊มเตอร์สตาร์ทและรันนอยเตอร์ (Capacitor Start and Run Motor)

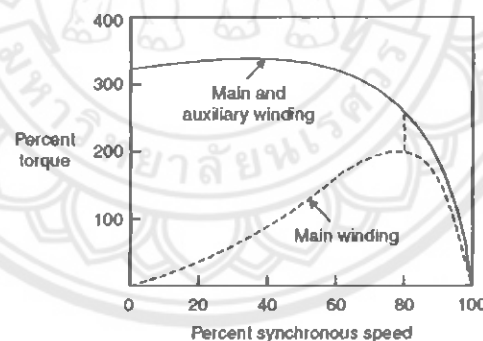
สำหรับในโรงงานนี้จะกล่าวถึงค่าปั๊มเตอร์นอยเตอร์ชนิดค่าปั๊มเตอร์สตาร์ทมอยเตอร์แต่เพียงอย่างเดียวเพื่อให้สอดคล้องกับการทดลองในบทต่อไป

2.3.3 คาปaciเตอร์สตาร์ทมอเตอร์ (Capacitor Start Motor)

คาปaciเตอร์สตาร์ทมอเตอร์มีขั้นตอนการ启动ที่ต้องอนุกรมกับคาปaciเตอร์ กระแสไฟฟ้าที่ไหลเข้าในขั้นตอนแรกจะผ่าน rotor ที่ถูกดึงจากขั้วแม่เหล็กที่ติดตั้งอยู่ใน rotor ทำให้กระแสไฟฟ้าในขั้นตอนนี้ลดลง จึงส่งผลให้มีแรงบิดของสตาร์ทสูง หลังจากสตาร์ทแล้วมอเตอร์จะหมุนตัวอย่างเรื่อยๆ ด้วยความเร็วรอบถึง 75 เปอร์เซ็นต์ของความเร็วสูงสุด สวิตช์แรงเหวี่ยงหนีศูนย์กลางจะตัดตัวคาปaciเตอร์และขั้นตอนการ启动จะหายไป



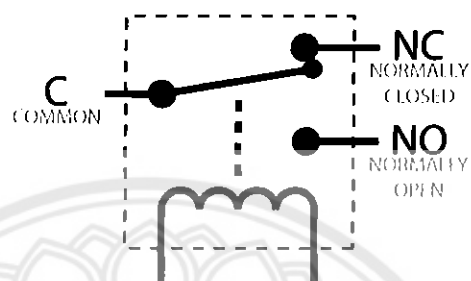
รูปที่ 2.8 วงจรสมมูลของมอเตอร์แบบคาปaciเตอร์สตาร์ทมอเตอร์ [10]



รูปที่ 2.9 กราฟคุณลักษณะระหว่างแรงบิดกับเปอร์เซ็นต์ความเร็วของมอเตอร์แบบคาปaciเตอร์สตาร์ทมอเตอร์ [11]

2.4 รีเลย์

รีเลย์ (Relay) คือ เป็นอุปกรณ์ที่เปลี่ยนพลังงานไฟฟ้าให้เป็นพลังงานแม่เหล็ก เพื่อใช้ในการดึงดูดหน้าสัมผัสของคอนแทกต์ให้เปลี่ยนสถานะ โดยการป้อนกระแสไฟฟ้าให้กับขดลวด เพื่อทำการปิดหรือเปิดหน้าสัมผัสคู่กับสวิตช์อิเล็กทรอนิกส์ มีหลักการทำงานเช่นเดียวกับขดลวดแม่เหล็กไฟฟ้าหรือโซลินอยด์ (Solenoid)



รูปที่ 2.1 สัญลักษณ์แทนโครงสร้างของรีเลย์ [12]

หลักการทำงานของรีเลย์

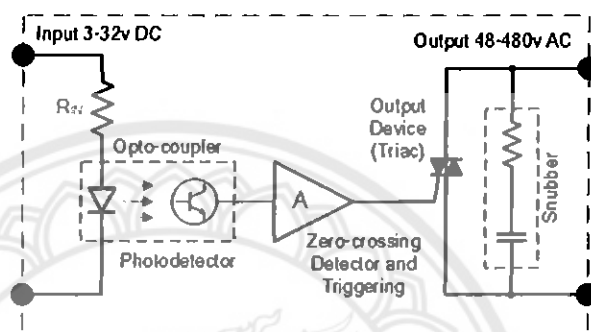
ภายในโครงสร้างของ รีเลย์ จะประกอบไปด้วยขดลวด 1 ชุด และ หน้าสัมผัส ซึ่งในหน้าสัมผัส 1 ชุด ซึ่งจะประกอบไปด้วย หน้าสัมผัสแบบปิดตืปิด (Normally Close: NC.) ซึ่งในสถานะปิด ขนาดจะต่ออยู่กับขาเร่วม (Common) และ หน้าสัมผัสแบบปิดเปิด (Normally Open: NO.) ขนาดจะต่อเข้ากับขาเร่วม (Common) เมื่อขดลวดมีแรงดันตกคร่อง หรือกระแสไฟลพ่านในปริมาณที่เพียงพอ

ขาของรีเลย์จะประกอบไปด้วยตำแหน่งต่างๆดังนี้

1. ขาจ่ายแรงดันไฟฟ้า ซึ่งจะมีอยู่ 2 ขา จากรูปจะเห็นสัญลักษณ์เป็นขดลวด
2. ขาคอมมอน (Common) จะเป็นต่อร่วมระหว่างขาปิดตืปิด และ ขาปิดตืปิด
3. ขาปิดตืปิด (Normally Opened: NO) ปิดตัวนี้จะเปิดเอาไว้ และจะทำงานเมื่อได้รับแรงดันป้อนให้กับรีเลย์หรือกระแสไฟลพ่านขดลวดของรีเลย์ในปริมาณที่เพียงพอ
4. ขาปิดตืปิด (Normally Closed: NC) ปิดตัวนี้จะต่อ กับขาคอมมอน ในกรณีที่ขังไม่มีการจ่ายแรงดัน

2.5 โซลิดสเตตเรลาย

โซลิดสเตตเรลาย (Solid State Relay) คือ เรลายที่ไม่ใช้หน้าสัมผัสซึ่งใช้เทคโนโลยีของสารกึ่งตัวนำทำให้ไม่มีชิ้นส่วนที่เคลื่อนที่ เพื่อลดเสียงรบกวนที่เกิดขึ้นจากเรลัยแบบหน้าสัมผัส และเพื่อประสิทธิภาพในการใช้งานระยะยาว โซลิดสเตตเป็นอุปกรณ์ที่ใช้เชื่อมต่อระหว่างส่วนควบคุมซึ่งเป็นวงจรอิเล็กทรอนิกส์ กับส่วนวงจรไฟฟ้ากำลัง โดยทั้งสองส่วนจะมีระบบกราวด์ที่แยกออกจากกันทำให้สามารถป้องกันการลัดวงจร และการรบกวนซึ่งกันและกันได้



รูปที่ 2.11 วงจรภายในของโซลิดสเตตเรลาย [13]

หลักการทำงานของโซลิดสเตตเรลาย คือ ส่วนที่เป็นวงจรอิเล็กทรอนิกส์ จะรับสัญญาณควบคุมเพื่อบังคับส่วนวงจรไฟฟ้ากำลังปิดหรือเปิดวงจร โดยจะมีการแยกกันทางไฟฟ้าระหว่างอินพุตและเอาต์พุต

ถือได้ว่าเป็นสิ่งประดิษฐ์ที่ออกแบบมาเพื่อใช้แทนแท่งอาร์เมเนอร์ของเรลายแม่เหล็กแต่ไม่ใช่ ดีกว่าคือ มีขนาดเล็ก มีความไวในการทำงานที่สูง มีอายุการทำงานนานกว่า เป็นต้น

บทที่ 3

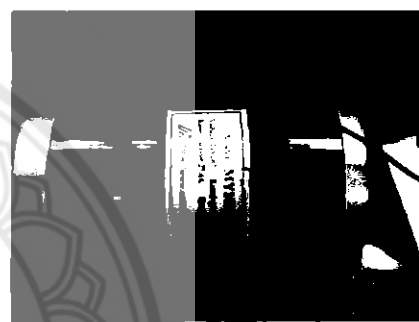
การออกแบบการทดลอง

3.1 อุปกรณ์การทดลอง

อุปกรณ์ที่ใช้ในการทดลองมีเครื่องคอมพิวเตอร์ใช้ในการเขียนโปรแกรม รีเลย์ควบคุม วงจร โซลิเดสเตตเรลล์ เครื่องวัดแรงดึง โครงรองรับนอเตอร์ เครื่องแปลงสัญญาณและอีกเป็นสัญญาณ ดิจิตอล รวมทั้งอุปกรณ์ต่างๆแสดงดังรูป



รูปที่ 3.1 นอเตอร์หนึ่งขั้วนำไฟฟ้า



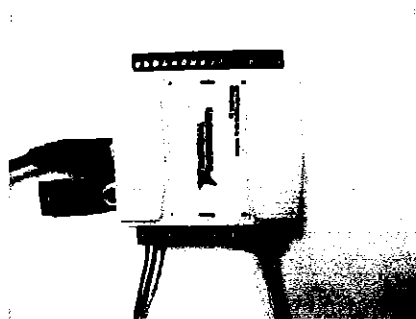
รูปที่ 3.2 นอเตอร์กระแสตรงแบบไร้แปรงถ่าน 24 V_{DC}



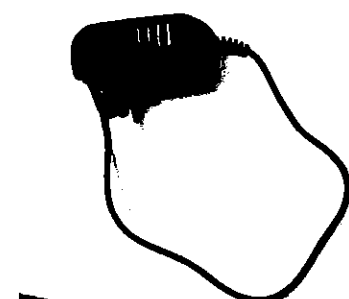
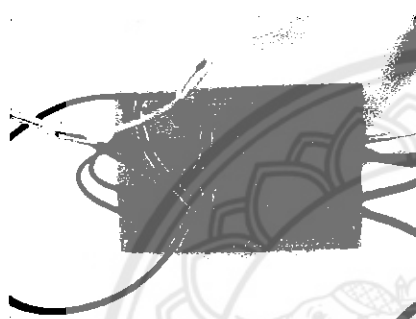
รูปที่ 3.3 เครื่องวัดแรงดึง (Load Cell)



รูปที่ 3.4 อุปกรณ์แปลงสัญญาณไฟฟ้า
(Transmitter)



รูปที่ 3.5 USB-6009 DAQ Device

รูปที่ 3.6 แหล่งจ่าย 5 V_{DC} 

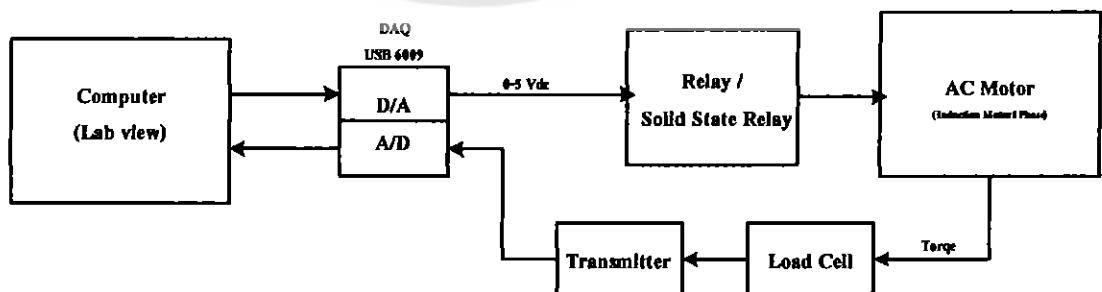
รูปที่ 3.7 บอร์คีลีย์ควบคุม



รูปที่ 3.8 บอร์ดโซลิดสเตตเรลาย

3.2 การทำงานของระบบควบคุมมอเตอร์เห็นี่ยวนำ

การทำงานของระบบควบคุมมอเตอร์เห็นี่ยวนำ ที่ได้ทำการออกแบบประกอบไปด้วยส่วนที่เป็นฮาร์ดแวร์และซอฟแวร์ โดยการทำงานของระบบสามารถอธิบายตามบล็อกໄດ้อะแกรมดังรูปที่ 3.9



รูปที่ 3.9 ໄດ้อะแกรมการทำงานของระบบควบคุมมอเตอร์เห็นี่ยวนำ

จากบล็อกໄค์օแกรน์แสดงการทำงานของระบบควบคุมมอเตอร์เห็นข่าวสามารถดูขีบข่ายได้ดังนี้

1. คอมพิวเตอร์ (โปรแกรม Lab View) จะทำหน้าที่สั่งการเปิด-ปิดวงจรรีเลย์ควบคุมห้องร่าง
ไซลิคสเกต และบันทึกค่าแรงบิดของมอเตอร์ในสภาพะค่าโหลดต่างๆ ซึ่งค่าแรงบิดของ
มอเตอร์มาจากการเครื่องวัดแรงบิด โดยรับสัญญาณผ่าน DAQ
2. DAQ (Data Acquisition) ทำหน้าที่ประมวลผลความหมายหรือเปลี่ยนสัญญาณจากแอนาล็
อกให้มาอยู่ในรูปของสัญญาณดิจิตอล โดยรับคำสั่งมาจากโปรแกรมแลปวิว
3. รีเลย์ควบคุมทำหน้าที่เป็นสวิทช์เปิด-ปิดวงจร โดยรับคำสั่งมาจากโปรแกรมแลปวิว เพื่อส่งงาน
ไปบังคับมอเตอร์ให้ทำงานตามค่าแรงบิดที่กำหนดไว้
4. เครื่องวัดแรงบิด (Load Cell) ทำหน้าที่วัดแรงบิดในขณะที่มอเตอร์กระทำการโหลด
5. อุปกรณ์แปลงสัญญาณไฟฟ้า (Transmitter) เมื่อongจากค่าสัญญาณไฟฟ้าที่ออกจากเครื่องวัด
แรงบิดมีนาคเล็กจึงต้องใช้งานรวมกับอุปกรณ์แปลงสัญญาณเพื่อบากรก่อนส่งเข้า DAQ



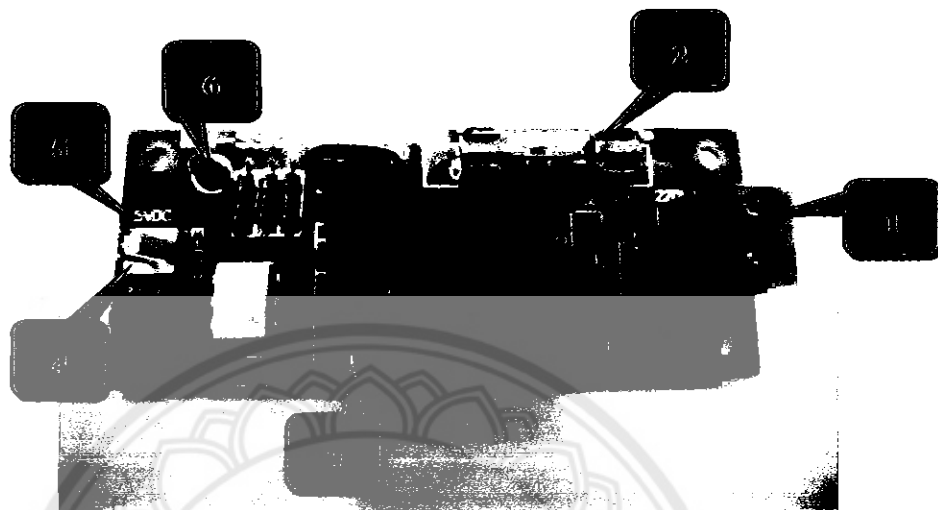
3.3.1. รีเลย์ควบคุม



รูปที่ 3.10 วงจรรีเลย์ควบคุมมอเตอร์เหนี่ยวนำ

1. ขัวปักติเปิด (Normal Open) และปักติปิด (Normal Close)
2. บอร์ครีเลย์ขนาดเล็ก หน้าก้อนแท็คใช้ได้กับระบบไฟ 220 V_{AC}, 5 A
3. ฟิวส์ป้องกันหน้าก้อนแท็คเสียหายกรณีกระแสไฟลัดเกิน
4. อินพุตระดับ Logic TTL ต่อกับพอร์ทของ MTU ได้ทันที (Active Low)
5. ใช้ไฟเลี้ยง 5 V_{DC} กระแส 60 mA
6. แอลจิเดแสดงสถานการณ์ทำงาน (ติดสว่างเมื่อรีเลย์ทำงาน)

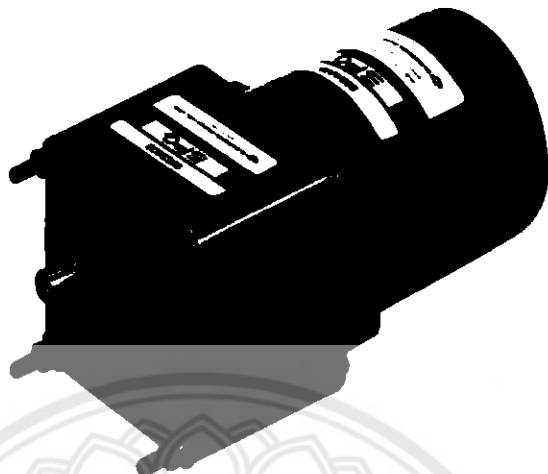
3.3.2. โซลิడสเตต์รีเลย์



รูปที่ 3.11 วงจร โซลิಡสเตต์รีเลย์ควบคุมมอเตอร์หนีบหัวนำ

1. ขั้วต่อส่วนเอาต์พุตต่อกับ โหลด
2. พาวเวอร์ป้องกันอุปกรณ์เสียหายกรณีกระแสไฟลัดเกิน
3. ไมครูล โซลิດสเตต์รีเลย์ขนาด $220 \text{ V}_{\text{AC}}$, 3 A (Zero Voltage Crossing)
4. ขาอินพุต
5. ไฟไฟล์ยง 5 V_{DC} กระแส 10 mA
6. แอดอีดิแสดงสถานการณ์ทำงาน (ติดสว่างเมื่อโซลิດสเตต์รีเลย์ทำงาน)

3.3.3. มอเตอร์เหนีຍวนា



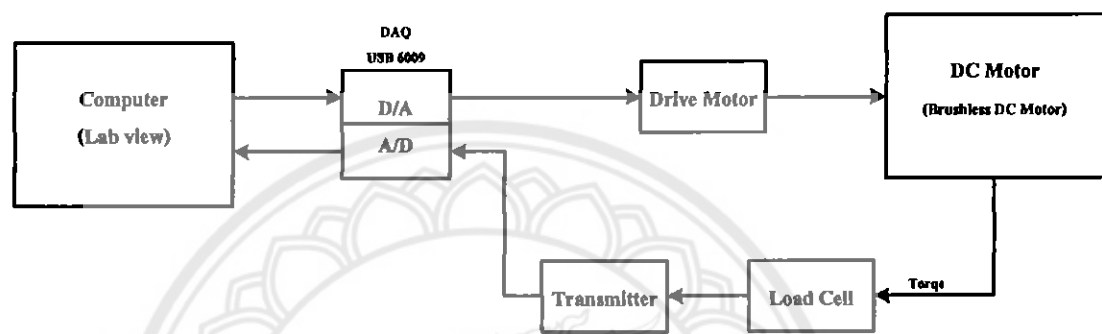
รูปที่ 3.12 มอเตอร์เหนีຍวน้ำรุ่น S90R40GXH - E [15]

ตารางที่ 3.1 แสดงรายละเอียดของมอเตอร์เหนีຍวน้ำรุ่น S90R40GXH-E

Induction Motor (Brake Motor)	S90R40GXH-E
Supply Voltage (V _{ac} / Hz)	230 / 50
Output Power (W)	40
Speed (RPM)	1250
Torque (Ncm)	33
Current (A)	0.42
Capacitor (μ F)	3.0
Mass With Gear (Kg)	3.9
Pole	4

3.3 การทำงานของระบบควบคุมมอเตอร์กระแสตรง

สำหรับการทำงานของระบบควบคุมมอเตอร์กระแสตรงนั้นจะโครงสร้างการทำงานที่คล้ายๆ กับระบบควบคุมมอเตอร์เหนี่ยวน้ำ แต่ส่วนที่แตกต่างกันก็คือ การสั่งงานให้มอเตอร์เริ่มทำงานจะสั่งผ่านชุดขับเคลื่อนมอเตอร์กระแสแทนการสั่งทางผ่านรีเลย์ เนื่องจากมอเตอร์กระแสตรงต้องต่อเข้ากับแหล่งจ่ายไฟฟ้ากระแสตรงซึ่งต้องมีชุดขับเคลื่อนมอเตอร์ในการเริ่มทำงาน สามารถอธิบายได้ตามบล็อกไซด์แกรนรูปที่ 3.13



รูปที่ 3.13 ไอดีอะแกรมการทำงานของระบบควบคุมมอเตอร์กระแสตรงแบบไร้เบรคเกอร์

ชุดควบคุมมอเตอร์กระแสตรงทำหน้าที่รับสัญญาณกระแส หรือแรงดันมาจากชุดจ่ายแหล่งไฟฟ้ากระแสตรง โดยที่ชุดควบคุมมอเตอร์จะถูกควบคุมด้วยค่าที่ถูกกำหนดไว้ในการออกแบบโปรแกรม จากนั้นชุดควบคุมมอเตอร์จะเป็นผู้สั่งงานให้มอเตอร์เริ่มทำงานเพื่อให้ได้ค่าแรงบิดที่กระทำต่อโหลดตามค่าเป้าหมายที่ต้องการ

3.3.4. มอเตอร์กระแสตรง



รูปที่ 3.14 มอเตอร์กระแสตรงรุ่น MY-1020 24V_{DC} [16]

ตารางที่ 3.2 แสดงรายละเอียดของมอเตอร์กระแสตรงรุ่น MY-1020 24V_{DC}

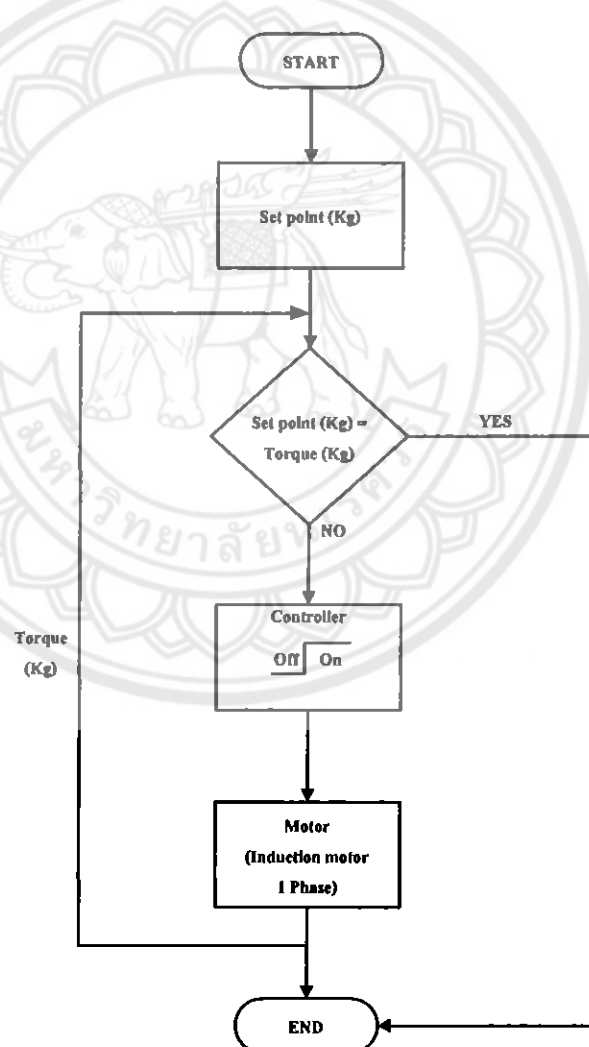
Model	MY-1020
Supply Voltage (V _{DC})	24
Power Output (W)	500
Rated Speed (RPM)	2500
Rated Current (A)	27.4
Efficiency (%)	≥78

3.4 การออกแบบการเขียนโปรแกรม

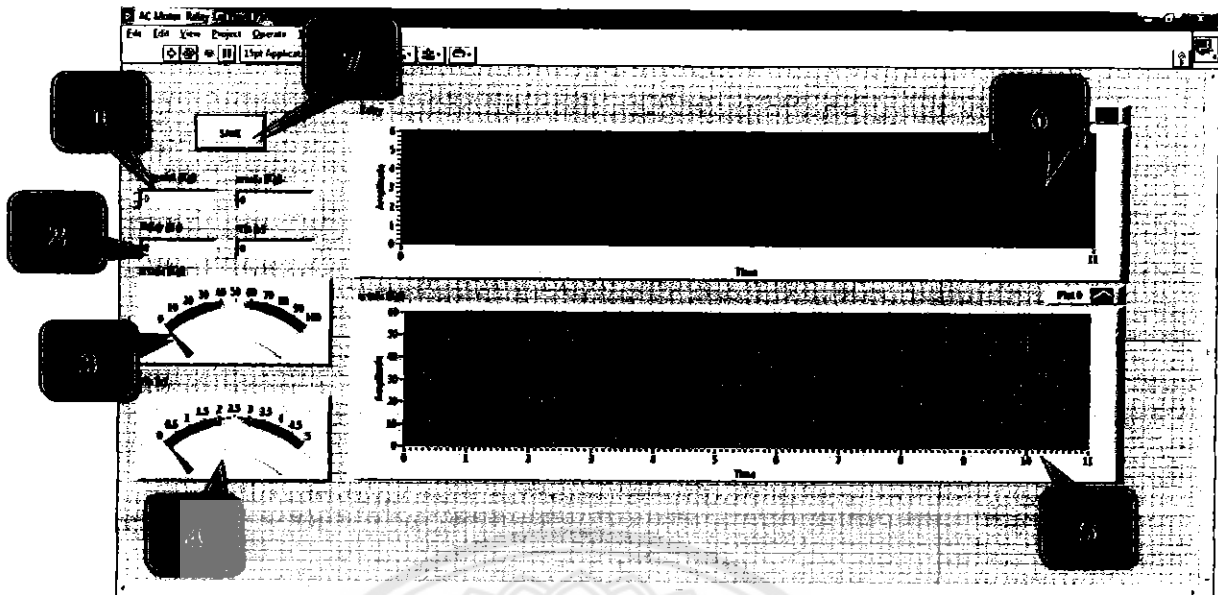
ในการออกแบบการเขียน โปรแกรมควบคุมการทำงานของมอเตอร์เห็นได้ว่าและมอเตอร์จะแสดงน้ำหนักที่ต้องการให้กับบันทึกค่าแรงบิดที่มอเตอร์กระทำต่อโหลดในสภาวะโหลดที่ค่าน้ำหนักต่างๆ เพื่อกำหนดผลกระทบของแรงบิดภายในมอเตอร์จะขับโหลด โดยหลักการทำงานของ โปรแกรมควบคุมมอเตอร์ทั้งสองชนิดจะแสดงตามวิธีการควบคุมต่อไปนี้

3.4.1. โปรแกรมควบคุมมอเตอร์เห็นได้

แผนภาพแสดงการทำงานของระบบควบคุมมอเตอร์เห็นได้



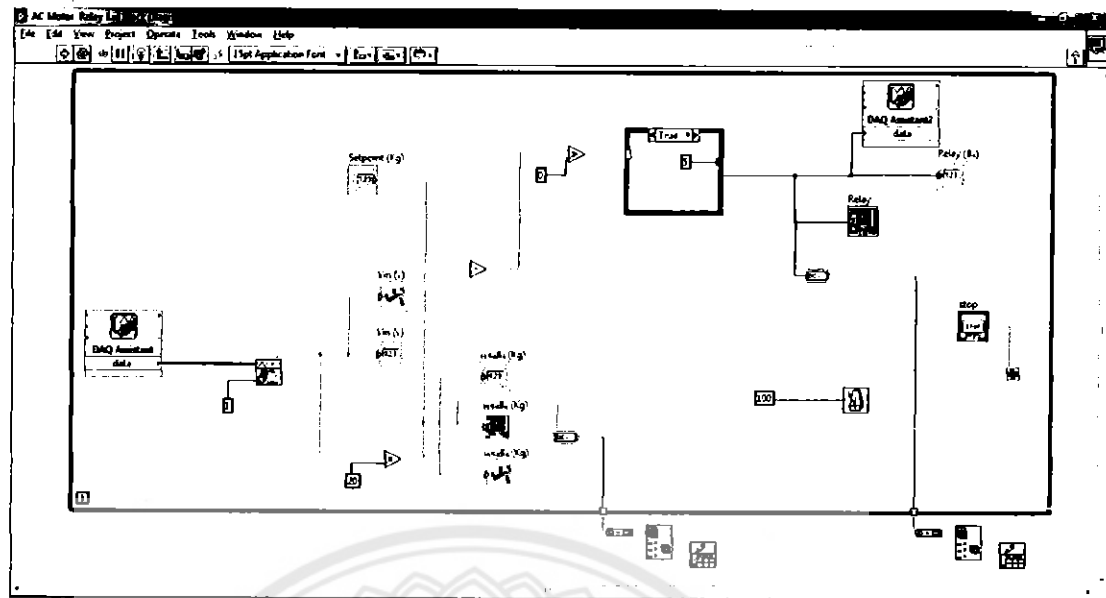
รูปที่ 3.15 แผนภาพแสดงการทำงานของระบบควบคุมมอเตอร์เห็นได้



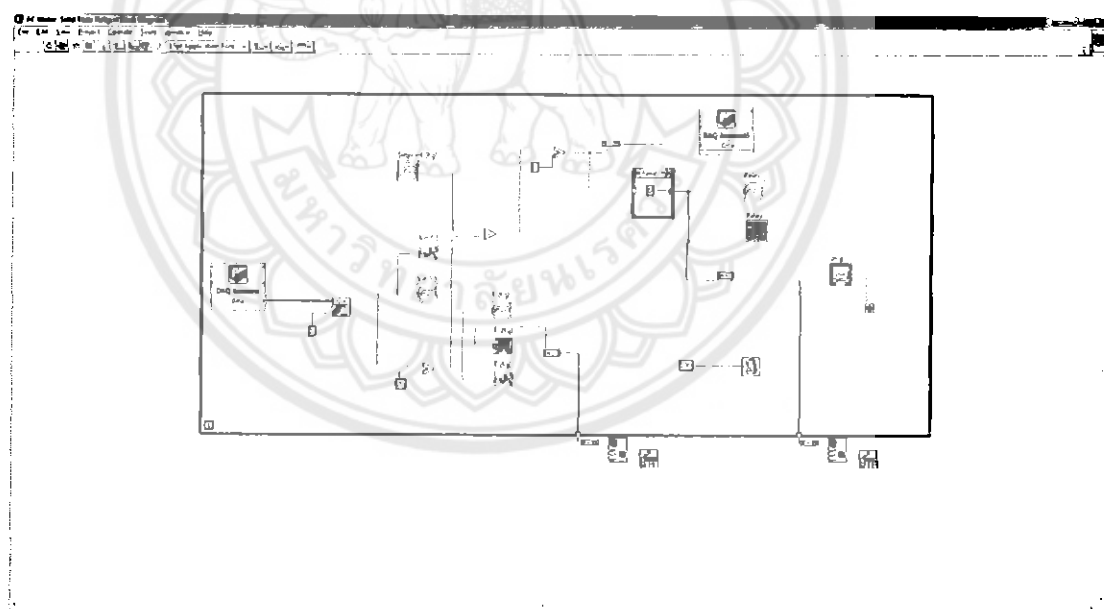
รูปที่ 3.16 หน้าต่างโปรแกรมควบคุมมอเตอร์เหนี่ยวนำ

จากรูปที่ 3.16 สามารถอธิบายรายละเอียดส่วนต่างๆของโปรแกรมตามหมายเลขอ้างอิงได้ดังนี้

1. ช่องป้อนค่าเริ่มต้น (Set point)
2. ช่องแสดงค่าป้อนกลับจะแสดงค่าแรงดึง (Kg) แรงดัน (V) และสถานะทำงานของรีเลย์
3. หน้าจอแสดงค่าแรงดึง (Kg)
4. หน้าจอแสดงค่าแรงดัน (V)
5. กราฟแสดงค่าแรงดึง ณ ช่วงเวลาต่างๆ
6. กราฟแสดงสถานการณ์ทำงานของรีเลย์
7. ปุ่มบันทึกค่าเมื่อแรงดึงที่วัดได้มีค่าตามค่าเป้าหมายที่กำหนด



รูปที่ 3.17 ไดอะแกรมการควบคุมมอเตอร์เหนี่ยวนำด้วยรีเล่



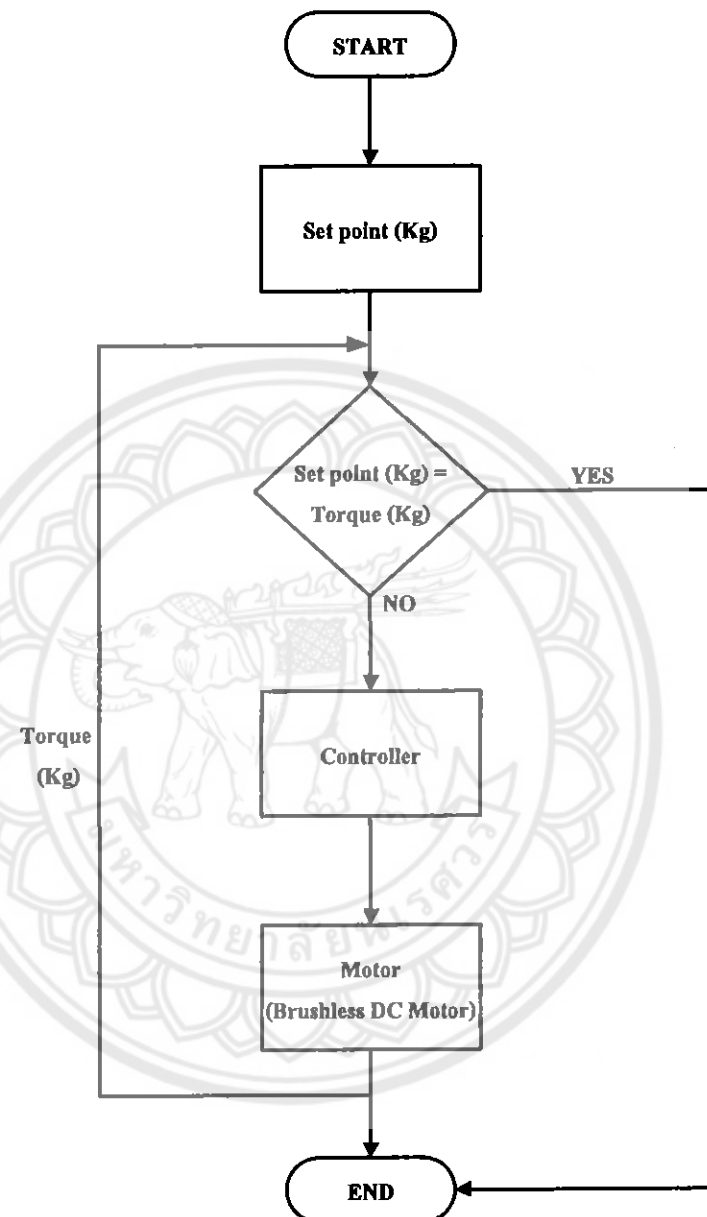
รูปที่ 3.18 ไดอะแกรมการควบคุมมอเตอร์เหนี่ยวนำด้วยโซลิเดสเตรลี

หลักการทำงานของโปรแกรมควบคุมมอเตอร์เห็นได้ชัดว่ามีการใช้รีเลย์และโซลิดสเตตจะทำงานในลักษณะเดียวกันคือจะตัด-ต่อตำแหน่งจ่ายไฟกับมอเตอร์ คือ โปรแกรมจะทำการตรวจสอบเงื่อนไขค่าแรงบิดที่มีอยู่ก่อนแล้วจึงส่งสัญญาณให้แก่โซลิดสเตตผ่านทางพอร์ต串รีส์ซีรีส์ซึ่งเป็นมาตรฐานที่กำหนดไว้หรือไม่ เมื่อเงื่อนไขถูกต้อง โปรแกรมจะส่งงานผ่านการ์ด DAQ เพื่อให้ระบบเริ่มต้นทำงาน หรือโซลิดสเตตตัดแหล่งจ่ายไฟออกจากมอเตอร์ เมื่อจากนั้นมอเตอร์ที่ใช้ในการทดลองเป็นมอเตอร์แบบมีเบรคเมื่อมอเตอร์หยุดการทำงานจะล็อกโดยอัตโนมัติไว้ในตำแหน่งเดิมทันที จากนั้นทำการทดลองเพื่อศึกษาความเปลี่ยนแปลงของแรงดึงเป็นระยะเวลาสั้นๆ ที่จึงเก็บบันทึกค่าลงในคอมพิวเตอร์ แต่ตรวจสอบเงื่อนไขแล้วพบว่าเป็นเท็จหรือแรงดึงที่วัดได้จากแรงบิดของมอเตอร์จะทำต่อไปจนกว่ามอเตอร์จะเคลื่อนที่ไปข้างหน้า ไปข้างหลัง หรือโซลิดสเตตจะส่งงานผ่านการ์ด DAQ ให้ต่อวงจรแหล่งจ่ายไฟเข้ากับมอเตอร์และให้มอเตอร์หมุนจนกว่าจะได้ค่าแรงดึงที่มีค่าเท่ากับแรงดึงเป้าหมาย วิวัฒนาการนี้จึงเก็บบันทึกค่าลงคอมพิวเตอร์

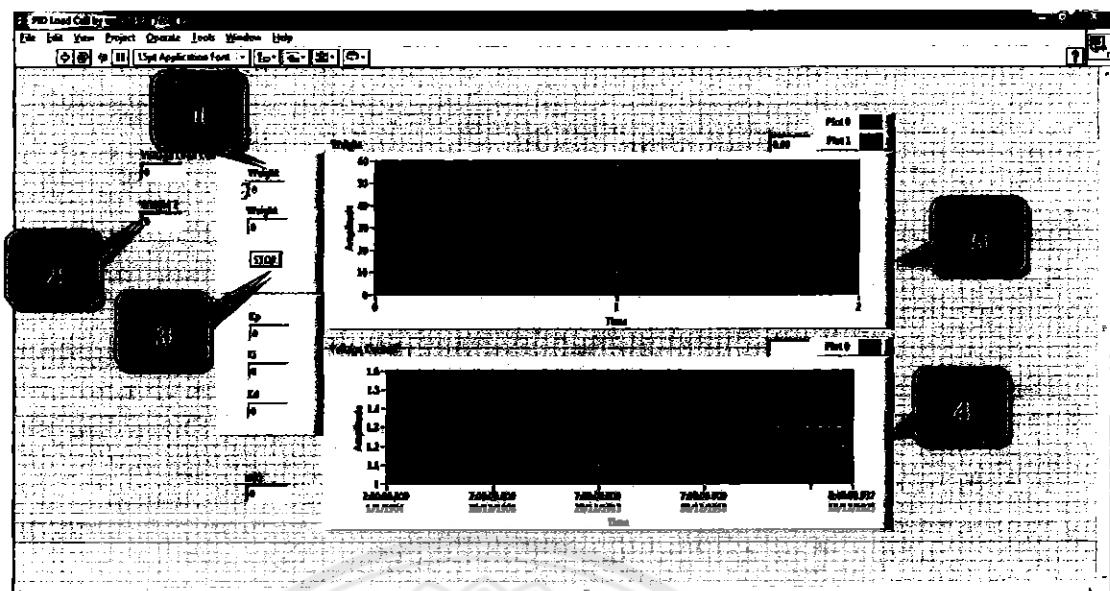
ตัวแปรสำคัญอีกตัวที่ใช้ในการเขียนโปรแกรมควบคุมมอเตอร์ คือ การปรับตั้งค่าเวลา Sampling Rate Times โดยในโครงงานนี้ผู้ทดลองได้ทำการปรับตั้งเวลาไว้ที่ 10 มิลลิวินาที และ 100 มิลลิวินาทีสำหรับการควบคุมมอเตอร์ทั้งสองชนิด เพื่อเปรียบเทียบผลของแรงดึงที่ได้จากการทดลองและคุณช่วงเวลาเข้าถึงค่าเป้าหมาย

3.4.2. โปรแกรมควบคุมมอเตอร์กระแสตรง

แผนภาพแสดงการทำงานของระบบควบคุมมอเตอร์กระแสตรง

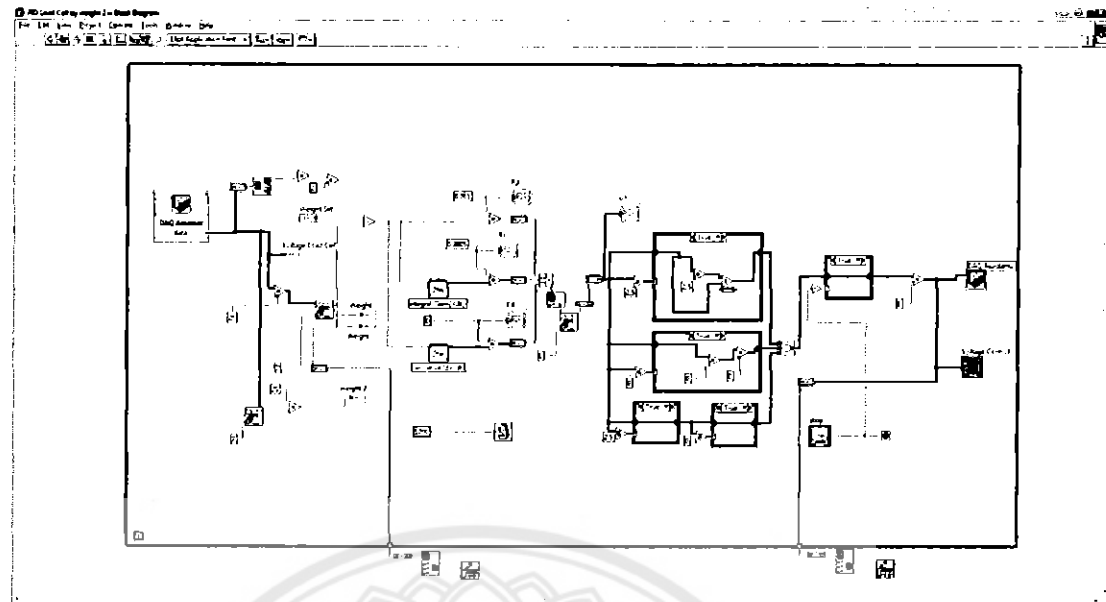


รูปที่ 3.19 แผนภาพแสดงการทำงานของระบบควบคุมมอเตอร์กระแสตรง



รูปที่ 3.20 หน้าต่างโปรแกรมควบคุมอัตโนมัติของเครื่องผลิตสบู่

1. ช่องป้อนค่าเริ่มนับ (Set point)
2. หน้าจอแสดงค่าแรงดึง (Kg) แรงดัน (V)
3. ปุ่มบันทึกค่าเมื่อแรงดึงที่วัดได้มีค่าตามค่าเป้าหมายที่กำหนด
4. กราฟแสดงค่าแรงดึง ณ ช่วงเวลาต่างๆ
5. กราฟแสดงแรงดันที่ป้อนเข้าชุดขับเคลื่อนอัตโนมัติ



รูปที่ 3.21 ไอดีอะแกรนด์การควบคุมมอเตอร์กระแสตรง

หลักการทำงานของโปรแกรมควบคุมมอเตอร์กระแสตรงจะทำงานโดยการสั่งผ่านชุดขั้นเกลื่อนมอเตอร์ โดยโปรแกรมจะทำการตรวจสอบเงื่อนไขระหว่างแรงดึงที่มอเตอร์กระทำต่อโหลดและค่าเป้าหมายที่กำหนดไว้ถ้าเงื่อนไขเป็นจริงหรือเมื่อแรงดึงที่มอเตอร์กระทำต่อโหลดมีค่าเท่ากับแรงดึงเป้าหมาย โปรแกรมจะสั่งงานไปยังชุดขั้นเกลื่อนมอเตอร์ให้รักษาะดับกระแสไว้เพื่อให้มอเตอร์รักษาะดับแรงดึงที่กระทำต่อโหลดค่านั้นไว้ จากนั้นทำการทดสอบเป็นเวลาสิบนาทีเพื่อคุณการเปลี่ยนแปลงแรงดึงและกระแสของมอเตอร์ เก็บบันทึกค่าลงคอมพิวเตอร์ แต่ถ้าโปรแกรมตรวจสอบเงื่อนไขและพบว่าเป็นเท็จหรือแรงดึงที่มอเตอร์กระทำต่อโหลดอาจมีค่าน้อยหรือมากกว่าแรงดึงเป้าหมายที่ โปรแกรมจะสั่งงานไปยังชุดขั้นเกลื่อนมอเตอร์ให้ปรับเพิ่มหรือลดกระแสตามปริมาณแรงดึงที่วัดได้เมื่อแรงดึงมีค่าน้อยกว่าค่าเป้าหมาย โปรแกรมจะสั่งงานให้ชุดขั้นมอเตอร์จ่ายกระแสเพิ่มขึ้นเพื่อให้มอเตอร์เพิ่มแรงดึงที่มากขึ้น แต่หากว่าแรงดึงที่วัดได้มีค่ามากกว่าค่าเป้าหมาย โปรแกรมจะทำการสั่งให้ชุดขั้นมอเตอร์ลดกระแสที่จ่ายเข้ามอเตอร์เพื่อให้มอเตอร์คลายแรงบิดที่กระทำต่อโหลดจนว่าแรงดึงที่ได้จะเข้าสู่ค่าเป้าหมาย

บทที่ 4

ผลการทดลอง

4.1 จุดประสงค์การทดลอง

- 4.1.1. ทดสอบมนอเตอร์เพื่อถูกราฟแรงดึงระหว่างมนอเตอร์เหนี่ยวนำ และมนอเตอร์กระแสตรง
- 4.1.2. เพื่อคุณภาพเข้าถึงค่าปานามะระหว่างมนอเตอร์เหนี่ยวนำ และมนอเตอร์กระแสตรง
- 4.1.3. เพื่อคุณภาพกระแสของมนอเตอร์เหนี่ยวนำ และมนอเตอร์กระแสตรง
- 4.1.4. เพื่อคุณภาพการใช้พลังงานของมนอเตอร์เหนี่ยวนำ และมนอเตอร์กระแสตรง

4.2 ขั้นตอนการทดลอง

4.2.1. ทดสอบแรงดึงของมนอเตอร์เหนี่ยวนำ

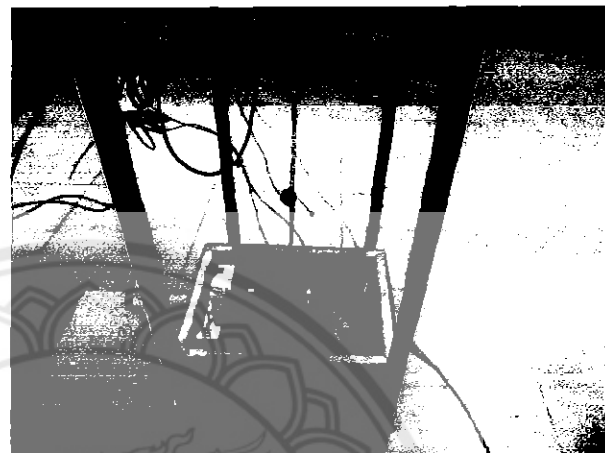
- ทำการทดลองโดยแบ่งการควบคุมการทำงานของมนอเตอร์ 2 วิธีคือ
 - 1.ใช้วงจรรีเลย์ควบคุม
 - 2.ใช้วงจรโซลิเดตเตอร์รีเลย์
- ทำการต่อการ์ด DAQ เข้ากับวงจรรีเลย์ หรือวงจรโซลิเดตเตต
- ต่อขั้วสถานะปักตีเปิดของวงจรเข้ากับมนอเตอร์
- จัดตำแหน่งของแกนเพลาให้ตรงกับตำแหน่งเริ่มต้น



รูปที่ 4.1 การต่อวงจรรีเลย์เข้ามนอเตอร์เหนี่ยวนำ

4.2.2. ทดสอบแรงดึงของมอเตอร์กระแสตรง

- ต่อแหล่งจ่ายไฟกระแสตรงเข้ากับชุดขับเคลื่อนมอเตอร์และมอเตอร์เข้ากัน
- จัดตำแหน่งของแกนเพลาให้ตรงกับตำแหน่งเริ่มต้น



รูปที่ 4.2 การต่อใช้งานมอเตอร์กระแสตรง

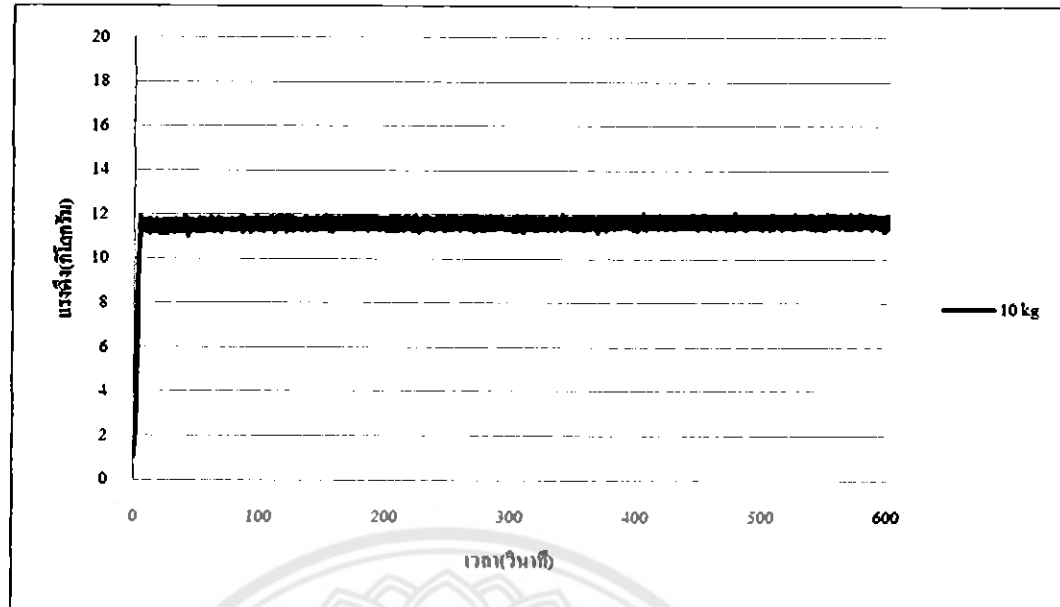
4.3 ผลการทดลอง

จากการทดลองผู้ทดลองจะกำหนดค่าเบ้าหมายไว้ที่ 10, 20, 30, 40 และ 50 กิโลกรัมตามลำดับ โดยจะทำการทดลองครั้งละสิบนาที เป็นจำนวนสิบครั้งต่อหนึ่งค่าเบ้าหมายหนึ่งค่า ซึ่งจะทดลองเหมือนกันกับมอเตอร์ทั้งสองชนิด สำหรับการควบคุมการทำงานของมอเตอร์เห็นได้ว่ามีผลลัพธ์และใช้คิดถูกต้องนั้นจะทำการทดลองโดยปรับตั้งค่า Sampling Rate Times ไว้ที่ 10 ms และ 100 ms ผลการทดลองจะแสดงดังตารางและกราฟดังไปนี้

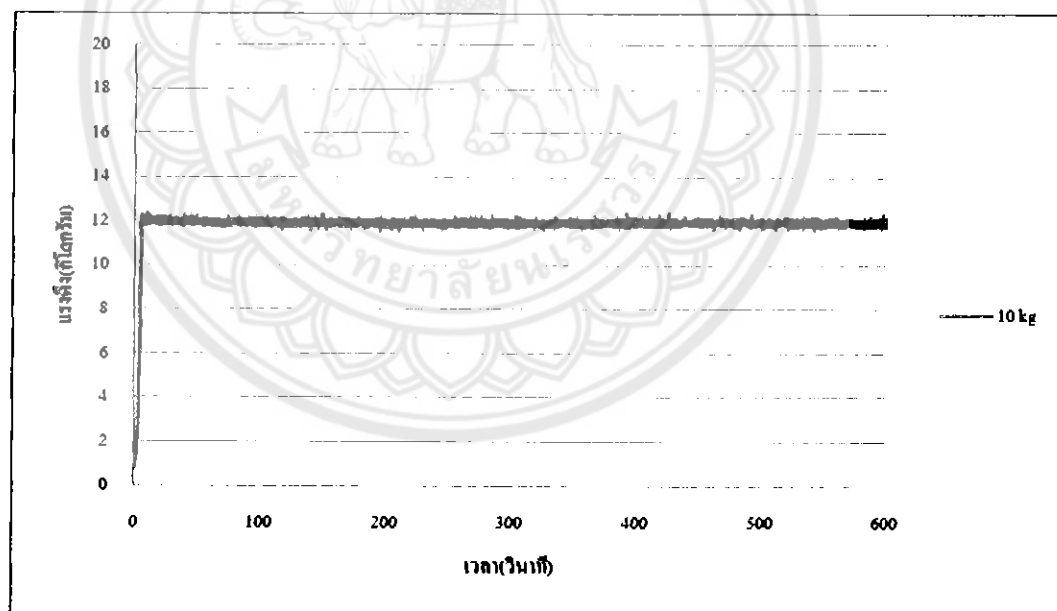
4.3.1. ผลการทดสอบแรงดึงที่ค่าเป้าหมาย 10 กิโลกรัมของนอเตอร์เหนี้ยวน้ำและนอเตอร์กระแทก

ตารางที่ 4.1 แรงดึงเฉลี่ยที่ค่าเป้าหมาย 10 กิโลกรัม

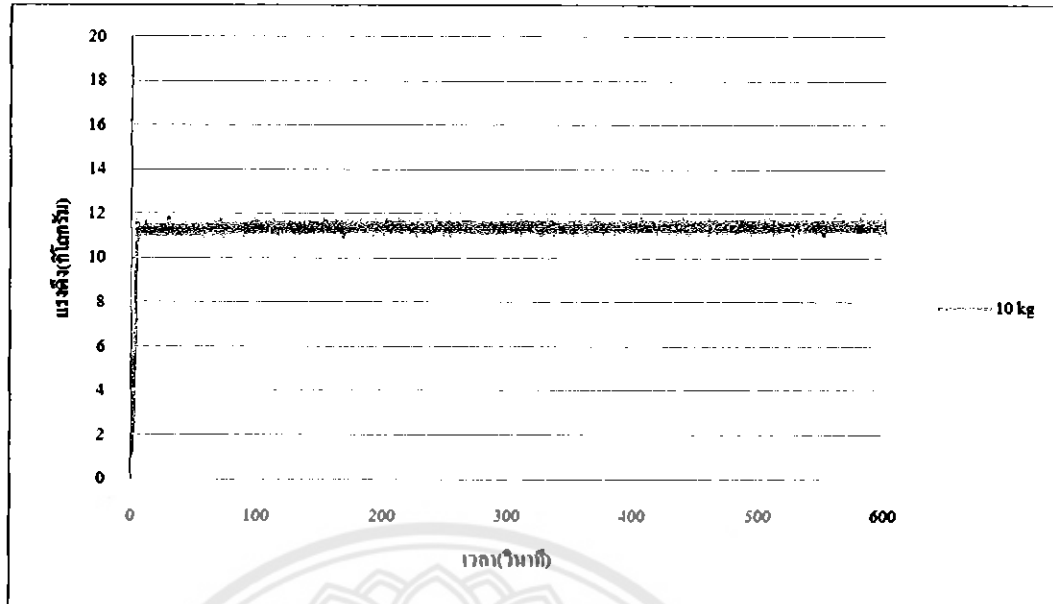
จำนวนการทดสอบ	นอเตอร์เหนี้ยวน้ำ				นอเตอร์กระแทก	
	รีเลย์ควบคุม		โซลิคสมเตต			
	T = 10 ms	T = 100 ms	T = 10 ms	T = 100 ms		
ครั้งที่ 1	11.526	12.606	11.423	12.341	10.125	
ครั้งที่ 2	11.490	12.157	11.450	11.820	10.097	
ครั้งที่ 3	11.558	11.726	11.586	12.184	9.965	
ครั้งที่ 4	11.532	12.051	11.457	12.221	9.909	
ครั้งที่ 5	11.553	11.814	11.401	12.107	9.936	
ครั้งที่ 6	11.626	11.644	11.275	12.221	9.896	
ครั้งที่ 7	11.672	11.970	11.289	11.800	9.903	
ครั้งที่ 8	11.786	11.790	11.410	11.563	9.983	
ครั้งที่ 9	11.628	11.852	11.217	12.401	9.927	
ครั้งที่ 10	11.642	11.667	11.275	11.825	9.928	
ค่าเฉลี่ย	11.601	11.928	11.378	12.048	9.967	
%ความผิดพลาด	16.018	19.283	13.787	20.484	0.326	



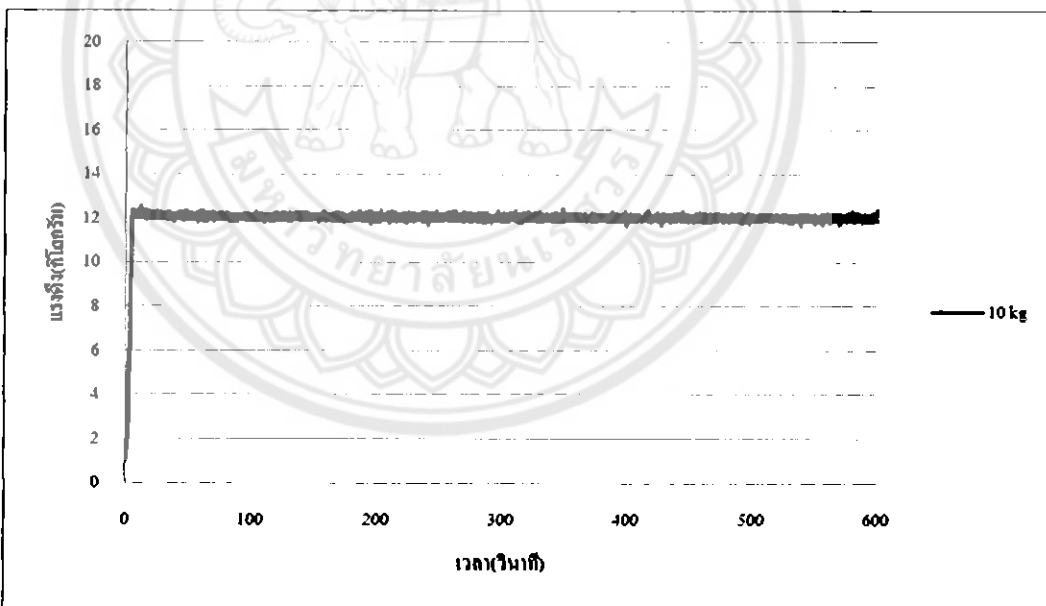
รูปที่ 4.3 กราฟแรงดึงเคลื่อนของมอเตอร์เหนี่ยวนำที่ควบคุมด้วยบีเลย์ ($T = 10 \text{ ms}$)
ค่าเป้าหมาย 10 กิโลกรัม



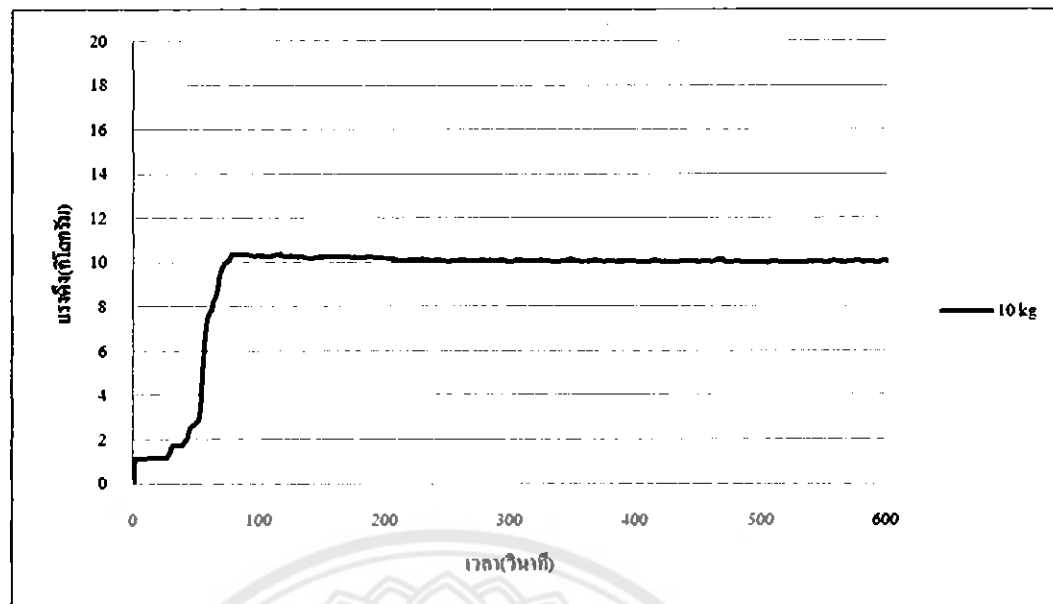
รูปที่ 4.4 กราฟแรงดึงเคลื่อนของมอเตอร์เหนี่ยวนำที่ควบคุมด้วยบีเลย์ ($T = 100 \text{ ms}$)
ค่าเป้าหมาย 10 กิโลกรัม



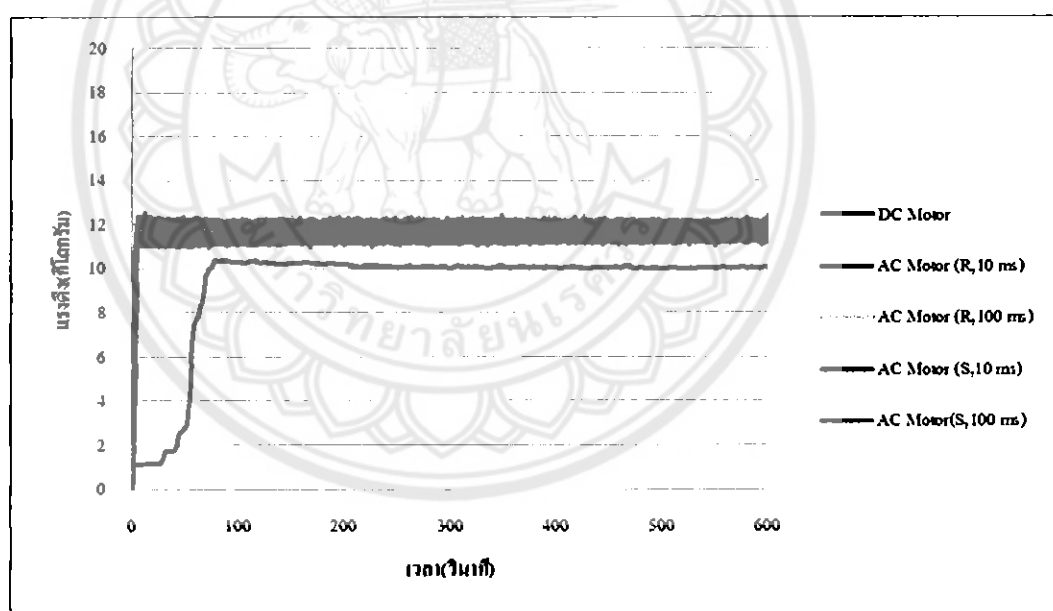
รูปที่ 4.5 กราฟแรงดึงเฉลี่ยของมอเตอร์เหนี衡阳มาที่ควบคุมด้วยโซลิดสเตต ($T = 10 \text{ ms}$)
ค่าเป้าหมาย 10 กิโลกรัม



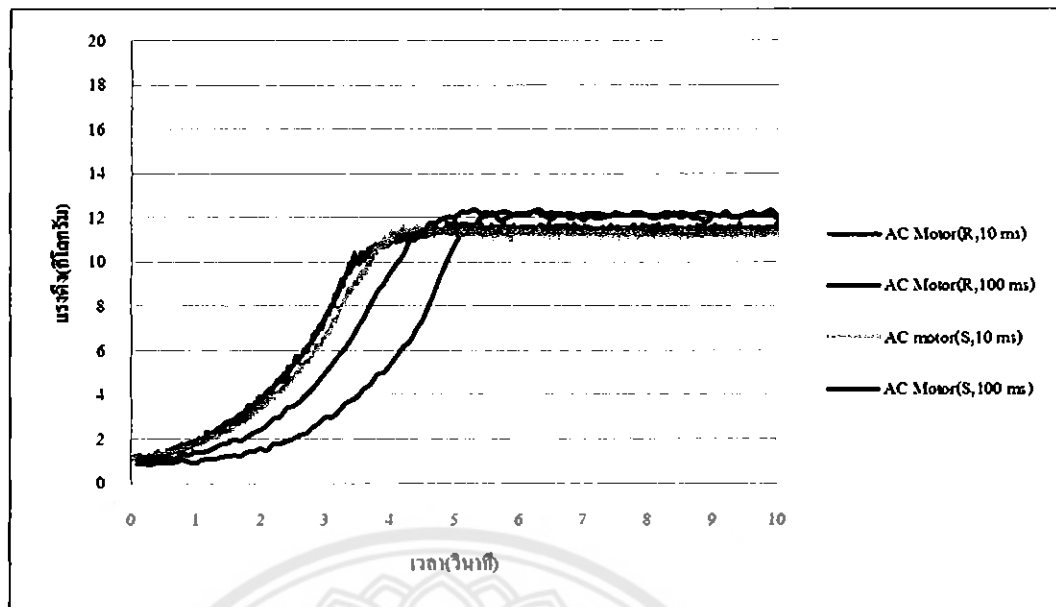
รูปที่ 4.6 กราฟแรงดึงเฉลี่ยของมอเตอร์เหนี衡阳มาที่ควบคุมด้วยโซลิดสเตต ($T = 100 \text{ ms}$)
ค่าเป้าหมาย 10 กิโลกรัม



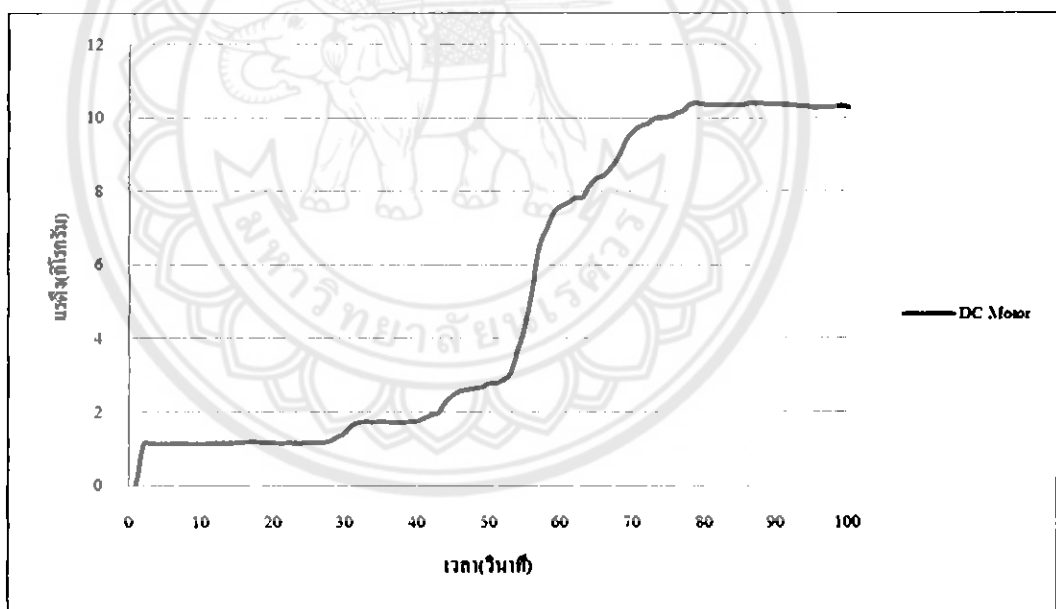
รูปที่ 4.7 กราฟแรงดึงเคลื่อนของมอเตอร์กระแสตรงที่ค่าเป้าหมาย 10 กิโลกรัม



รูปที่ 4.8 กราฟเปรียบเทียบแรงดึงระหว่างมอเตอร์เหล่านี้ขึ้นนำกับมอเตอร์กระแสตรงค่าเป้าหมาย 10 กิโลกรัม



รูปที่ 4.9 กราฟแสดงเวลาเข้าถึงค่าเป้าหมายที่ 10 กิโลกรัมของมอเตอร์เห็นขวนำ



รูปที่ 4.10 กราฟแสดงเวลาเข้าถึงค่าเป้าหมายที่ 10 กิโลกรัมของมอเตอร์กระแสตรง

ตารางที่ 4.2 เวลาเข้าสู่ค่าเป้าหมาย 10 กิโลกรัม

ชนิดของมอเตอร์		แรงดึงเฉลี่ย (กิโลกรัม)	เวลาเข้าที่ (วินาที)	%ความ ผิดพลาด (กิโลกรัม)
มอเตอร์ เหนี่ยวนำ	รีเลย์ควบคุม	T = 10 ms	11.601	4.00
		T= 100 ms	11.928	5.10
	โซลิคสเกต	T = 10 ms	11.378	3.90
		T= 100 ms	12.048	4.60
มอเตอร์กระแสตรง		9.967	70.00	0.326(-0.033)

จากตารางที่ 4.1 และกราฟรูปที่ 4.3 – 4.7 เป็นการแสดงค่าแรงดึงเฉลี่ยที่ได้จากการทดลองทั้งหมดที่บันทึกว่ามอเตอร์เหนี่ยวนำที่ต้องใช้ชนิดที่ค่าเป้าหมาย 10 กิโลกรัม พบว่ามอเตอร์เหนี่ยวนำที่ควบคุมการทำงานด้วยโซลิคสเกตที่ Sampling Rate Times = 10 ms ให้ค่าแรงดึงที่มีค่าความผิดพลาด 13.787 เปอร์เซ็นต์ หรือมีค่าแรงดึงผิดพลาดอยู่ +1.378 กิโลกรัม เมื่อเปรียบเทียบกับมอเตอร์เหนี่ยวนำที่ควบคุมด้วยรีเลย์ หรือโซลิคสเกตที่ Sampling Rate Times ต่างๆถือว่ามีค่าผิดพลาดที่น้อยสุดในการเมืองมอเตอร์เหนี่ยวนำ

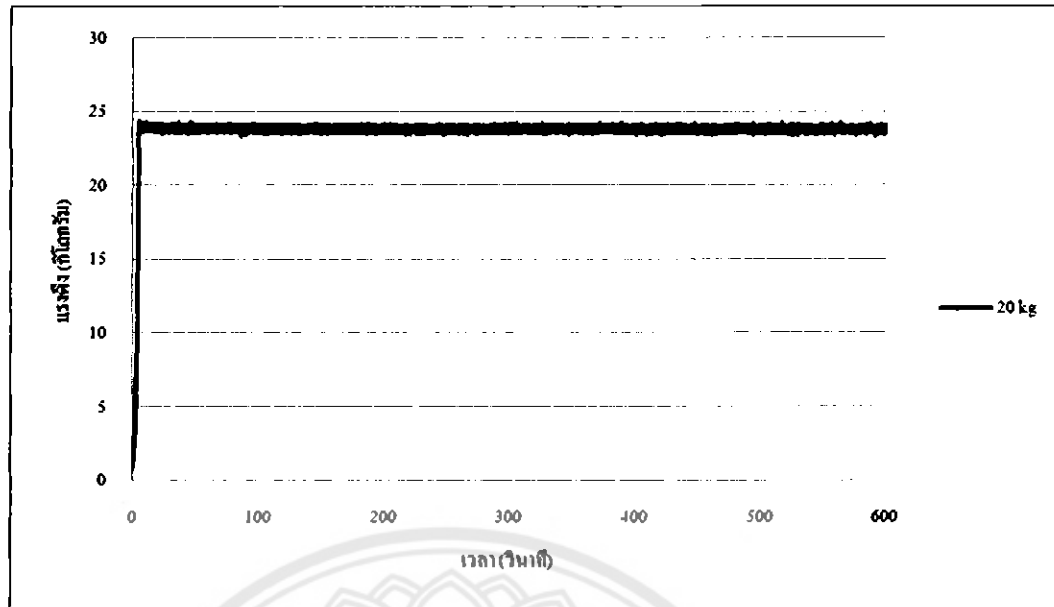
สำหรับมอเตอร์กระแสตรงพบว่าได้มีค่าความผิดพลาดอยู่ที่ 0.326 เปอร์เซ็นต์หรือมีค่าแรงดึงผิดพลาดอยู่ -0.033 กิโลกรัม ซึ่งถือว่ามีค่าผิดพลาดน้อยกว่ามอเตอร์เหนี่ยวนำ และมีค่าแรงดึงใกล้เคียงค่าเป้าหมายมากกว่า

เวลาเข้าที่ (Settling Time) ตามรูปที่ 4.9 และ 4.10 มอเตอร์เหนี่ยวนำที่ควบคุมด้วยโซลิคสเกตใช้เวลาเข้าที่อยู่ที่ 3.9 วินาที ส่วนมอเตอร์กระแสตรงใช้เวลาเข้าที่อยู่ที่ 70 วินาที จะเห็นได้อย่างชัดเจนว่ามอเตอร์เหนี่ยวนำใช้เวลาเข้าที่น้อยกว่ามอเตอร์กระแสตรง

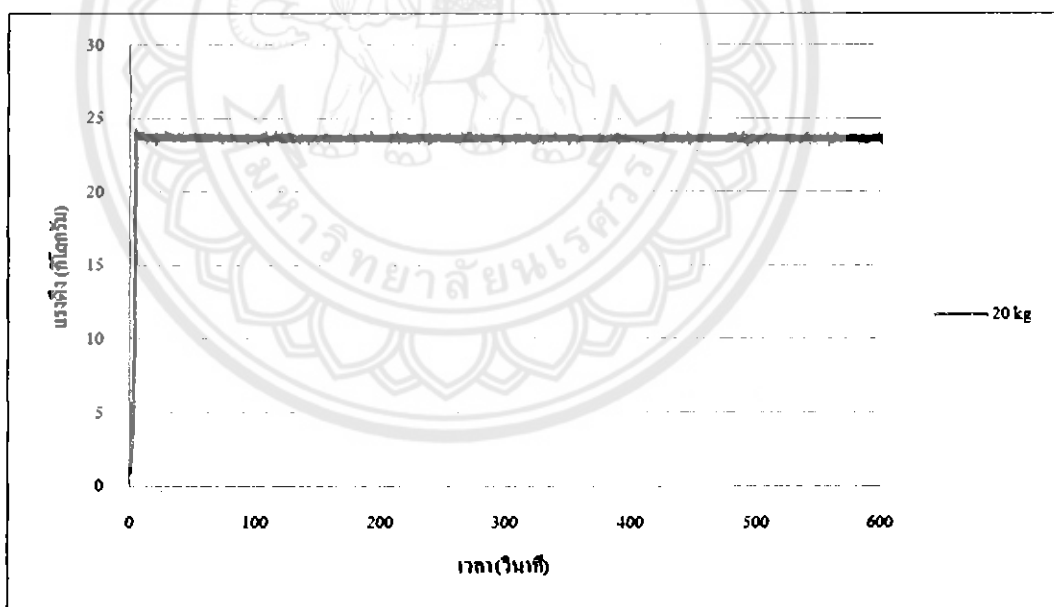
4.3.2. ผลการทดสอบแรงดึงที่ค่าเป้าหมาย 20 กิโลกรัมของมอเตอร์เหนียวน้ำและมอเตอร์กระแทก

ตารางที่ 4.3 แรงดึงเฉลี่บที่ค่าเป้าหมาย 20 กิโลกรัม

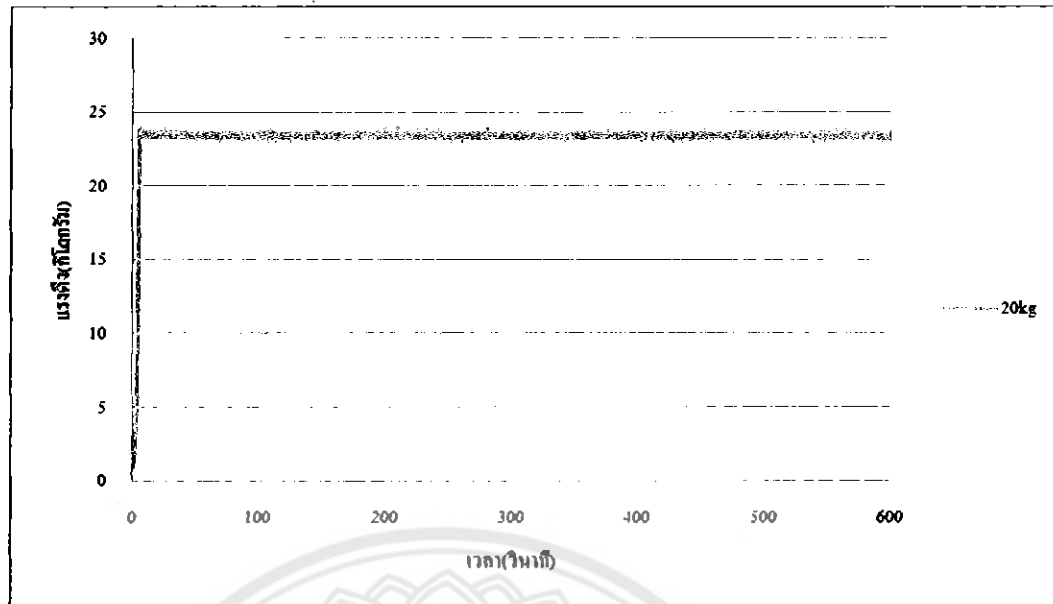
จำนวนการทดสอบ	มอเตอร์เหนียวน้ำ				มอเตอร์กระแทก	
	รีเลย์ควบคุม		โซลิดสเตต			
	T = 10 ms	T = 100 ms	T = 10 ms	T = 100 ms		
ครั้งที่ 1	24.094	23.567	23.495	23.143	19.927	
ครั้งที่ 2	23.984	23.801	23.551	24.218	19.941	
ครั้งที่ 3	23.196	24.463	23.344	23.284	19.839	
ครั้งที่ 4	23.266	23.367	23.297	23.178	19.839	
ครั้งที่ 5	23.430	22.018	23.741	24.185	19.894	
ครั้งที่ 6	23.703	24.785	23.694	24.417	19.898	
ครั้งที่ 7	24.487	23.855	23.190	24.885	19.915	
ครั้งที่ 8	24.241	23.521	23.210	24.423	19.948	
ครั้งที่ 9	23.976	23.521	22.986	23.662	19.934	
ครั้งที่ 10	23.731	23.378	23.408	24.348	19.915	
ค่าเฉลี่บ	23.811	23.628	23.391	23.974	19.905	
%ความผิดพลาด	19.056	18.140	16.959	19.874	0.472	



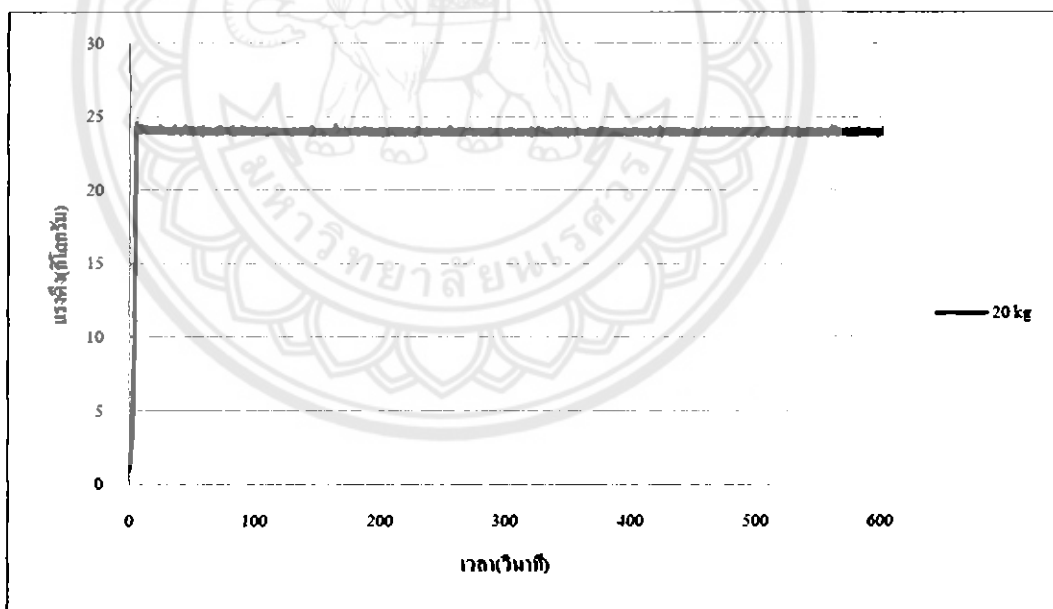
รูปที่ 4.11 กราฟแรงดึงเฉลี่บของมอเตอร์เหนี่ยวหนาน้ำที่ควบคุมด้วยเบรลีย์ ($T = 10 \text{ ms}$)
ค่าเป้าหมาย 20 กิโลกรัม



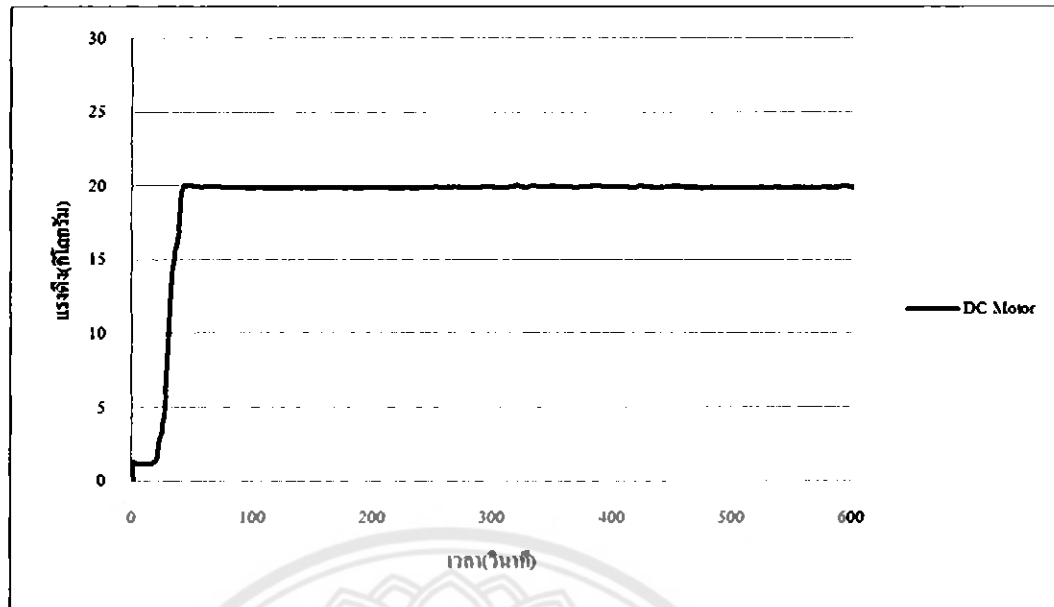
รูปที่ 4.12 กราฟแรงดึงเฉลี่บของมอเตอร์เหนี่ยวหนาน้ำที่ควบคุมด้วยเบรลีย์ ($T = 100 \text{ ms}$)
ค่าเป้าหมาย 20 กิโลกรัม



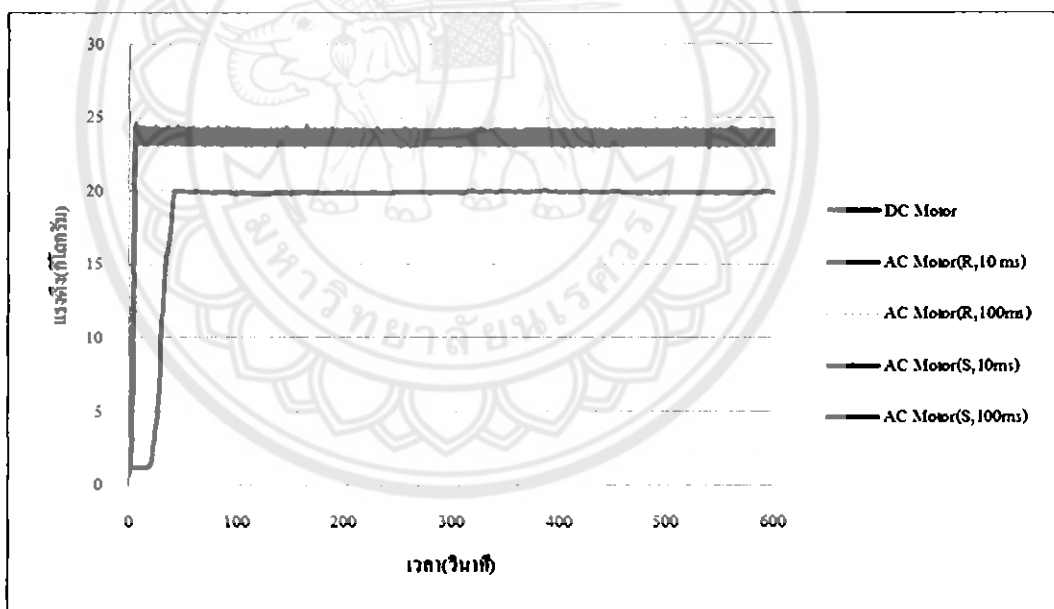
รูปที่ 4.13 กราฟแรงดึงเฉลี่ยของน้ำหนักที่ควบคุมด้วยไฮดิคสเกต ($T = 10 \text{ ms}$)
ค่าเป้าหมาย 20 กิโลกรัม



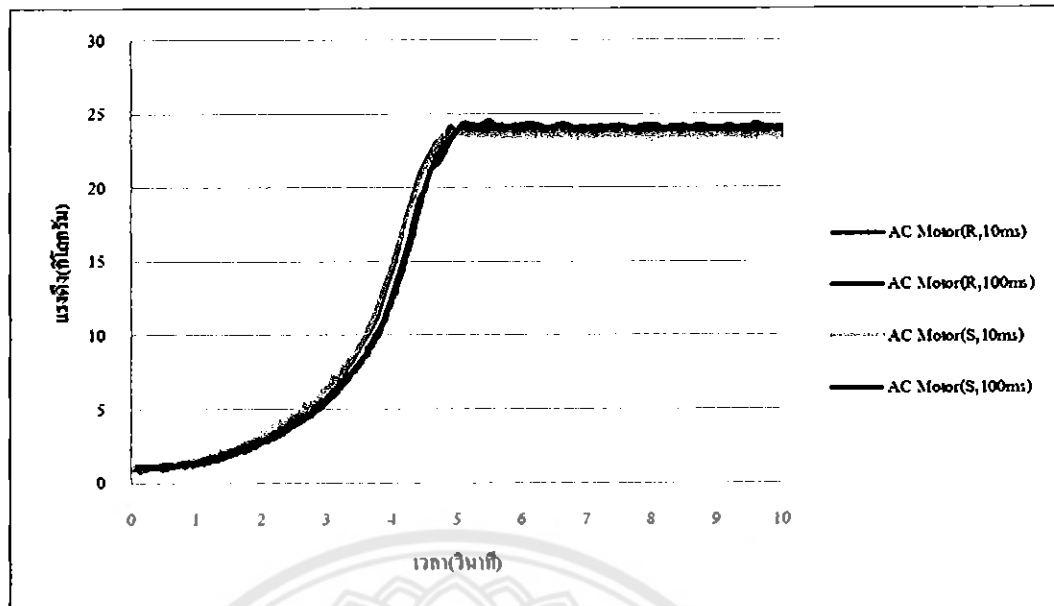
รูปที่ 4.14 กราฟแรงดึงเฉลี่ยของน้ำหนักที่ควบคุมด้วยไฮดิคสเกต ($T = 100 \text{ ms}$)
ค่าเป้าหมาย 20 กิโลกรัม



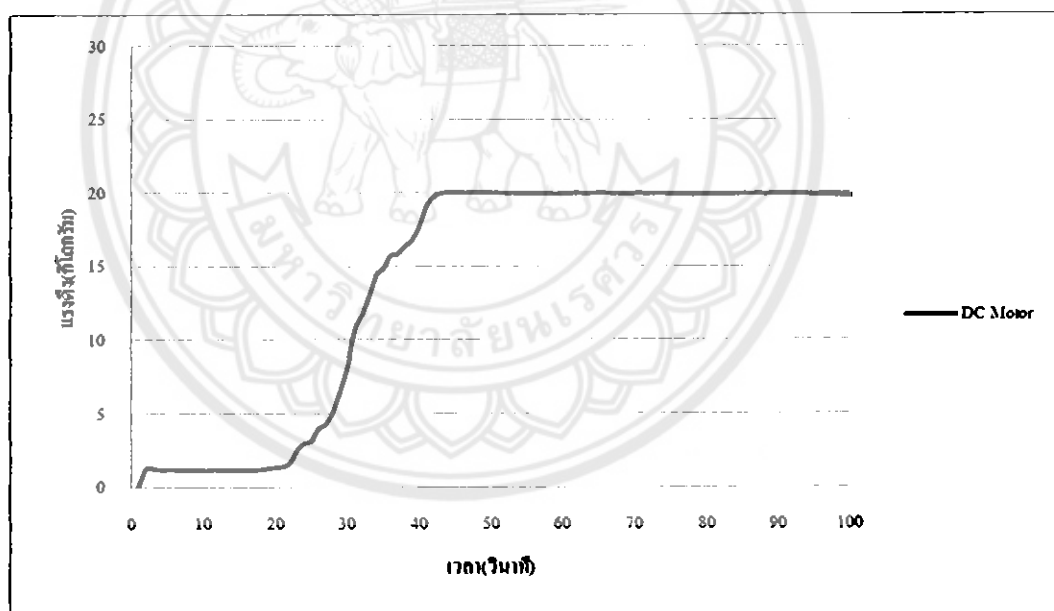
รูปที่ 4.15 กราฟแรงดึงเคลื่อนของมอเตอร์กระแสตรงที่ค่าเป้าหมาย 20 กิโลกรัม



รูปที่ 4.16 กราฟเปรียบเทียบแรงดึงระหว่างมอเตอร์เหล่านี้ยาน้ำกับมอเตอร์กระแสตรงค่าเป้าหมาย 20 กิโลกรัม



รูปที่ 4.17 กราฟแสดงเวลาเข้าถึงค่าเป้าหมายที่ 20 กิโลกรัมของมอเตอร์เหนี่ยวนำ



รูปที่ 4.18 กราฟแสดงเวลาเข้าถึงค่าเป้าหมายที่ 20 กิโลกรัมของมอเตอร์กระแสตรง

ตารางที่ 4.4 เวลาเข้าถึงค่าเป้าหมาย 20 กิโลกรัม

ชนิดของนอเตอร์		แรงดึงเฉลี่ย (กิโลกรัม)	เวลาเข้าที่ (วินาที)	%ความ ผิดพลาด (กิโลกรัม)
นอเตอร์ เหนี่ยวหน้า	รีเลย์ควบคุม	T = 10 ms	23.811	4.76
		T= 100 ms	23.628	4.60
	โซลิคสเกต	T = 10 ms	23.391	4.56
		T= 100 ms	23.974	4.90
นอเตอร์กระแสตรง		19.905	40.00	0.472(-0.095)

จากตารางที่ 4.3 และกราฟดังรูปที่ 4.11 - 4.15 เป็นการแสดงค่าแรงดึงเฉลี่ยที่ได้จากการทดลองทั้งหมดศิบครั้งของนอเตอร์ทั้งสองชนิดที่ค่าเป้าหมาย 20 กิโลกรัม พบว่า นอเตอร์เหนี่ยวหน้า ที่ควบคุมการทำงานด้วยโซลิคสเกตที่ Sampling Rate Times = 10 ms ให้ค่าแรงดึงที่มีค่าความผิดพลาด 16.959 เปอร์เซ็นต์ หรือมีค่าแรงดึงผิดพลาดอยู่ +3.391 กิโลกรัม เมื่อเปรียบเทียบกับ นอเตอร์เหนี่ยวหน้าที่ควบคุมด้วยรีเลย์ หรือโซลิคสเกตที่ Sampling Rate Times ต่างๆ ถือว่ามีค่าผิดพลาดที่น้อยสุดในการผึ่งของนอเตอร์เหนี่ยวหน้า

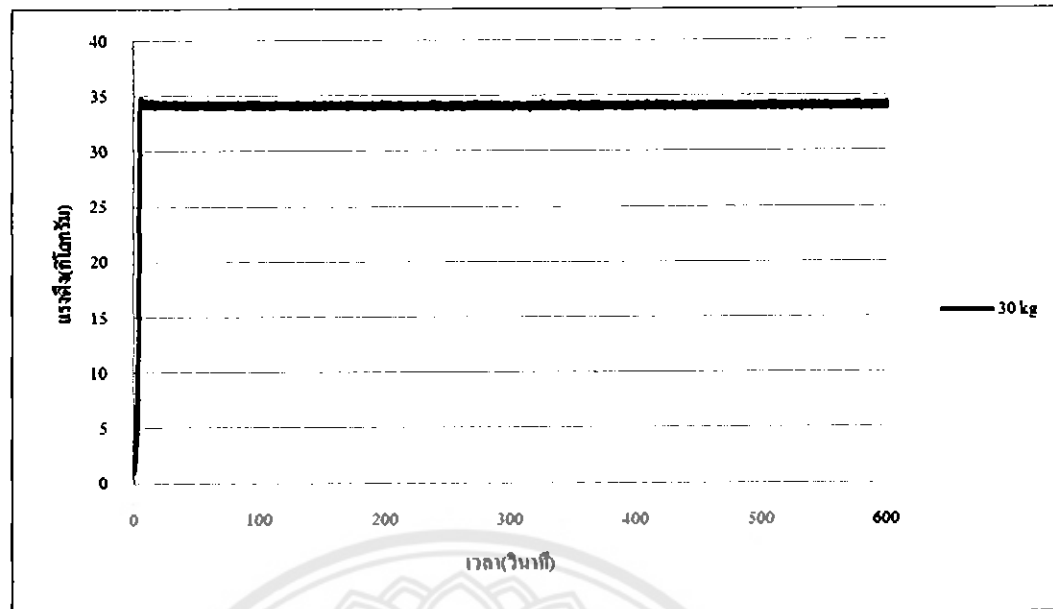
สำหรับนอเตอร์กระแสตรงพบว่า ได้มีค่าความผิดพลาดอยู่ที่ 0.472 เปอร์เซ็นต์ หรือมีค่าแรงดึงผิดพลาดอยู่ -0.095 กิโลกรัม ซึ่งถือว่านี้ค่าผิดพลาดน้อยกว่า นอเตอร์เหนี่ยวหน้า และมีค่าแรงดึงใกล้เคียงค่าเป้าหมายมากกว่า

เวลาเข้าที่ (Settling Time) ตามรูปที่ 4.17 และ 4.18 นอเตอร์เหนี่ยวหน้าที่ควบคุมด้วยโซลิคสเกต ใช้เวลาเข้าที่อยู่ที่ 4.56 วินาที ส่วนนอเตอร์กระแสตรงใช้เวลาเข้าที่อยู่ที่ 40 วินาที จะเห็นได้อย่างชัดเจนว่า นอเตอร์เหนี่ยวหน้าใช้เวลาเข้าที่น้อยกว่า นอเตอร์กระแสตรง

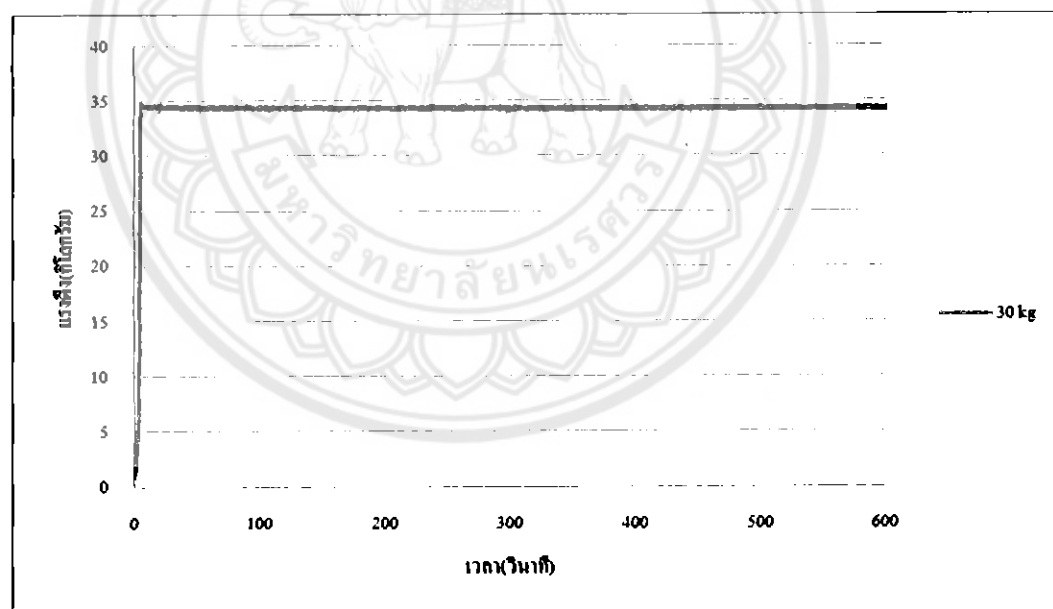
4.3.3. ผลการทดสอบแรงดึงที่ค่าเป้าหมาย 30 กิโลกรัมของมอเตอร์เห็นี่ยวน้ำและมอเตอร์กระแทก

ตารางที่ 4.5 ผลแรงดึงเฉลี่ยที่ค่าเป้าหมาย 30 กิโลกรัม

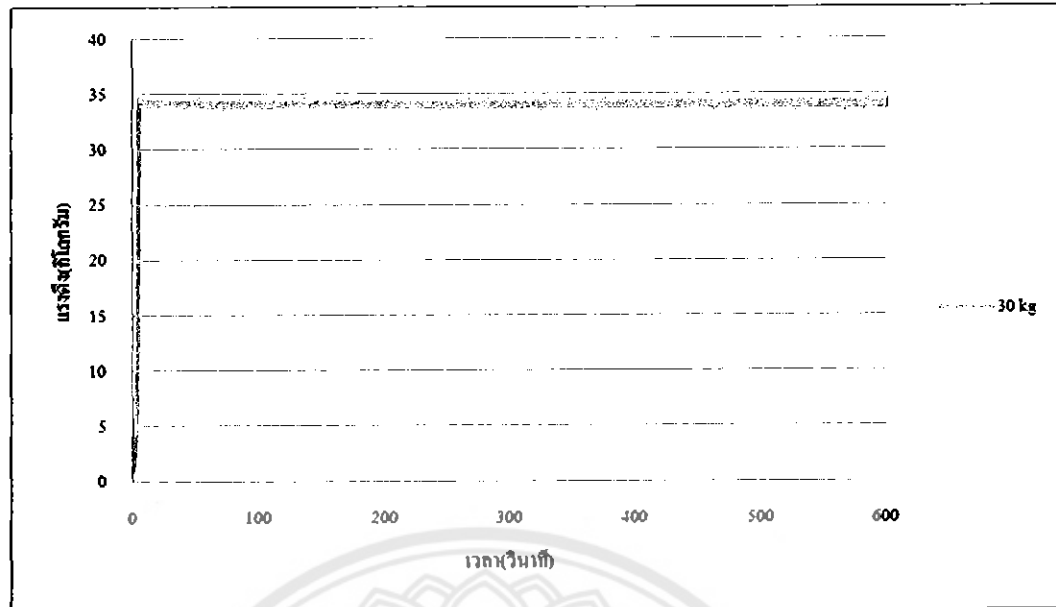
จำนวนการทดสอบ	มอเตอร์เห็นี่ยวน้ำ				มอเตอร์กระแทก	
	รีเลย์ควบคุม		โซลิดสเตต			
	T = 10 ms	T = 100 ms	T = 10 ms	T = 100 ms		
ครั้งที่ 1	33.827	34.280	33.401	33.777	29.937	
ครั้งที่ 2	34.065	34.749	34.179	34.857	30.027	
ครั้งที่ 3	33.800	35.422	34.437	35.244	29.907	
ครั้งที่ 4	34.121	35.273	34.354	35.023	30.064	
ครั้งที่ 5	34.177	33.967	34.119	34.183	30.013	
ครั้งที่ 6	34.179	35.345	33.856	34.637	29.883	
ครั้งที่ 7	34.457	32.484	34.149	34.721	29.991	
ครั้งที่ 8	33.853	34.431	34.124	34.351	29.910	
ครั้งที่ 9	34.345	33.366	34.412	34.853	29.773	
ครั้งที่ 10	33.887	33.733	33.440	34.420	29.953	
ค่าเฉลี่ย	34.071	34.305	34.047	34.607	29.946	
%ความผิดพลาด	13.571	14.351	13.491	15.356	0.179	



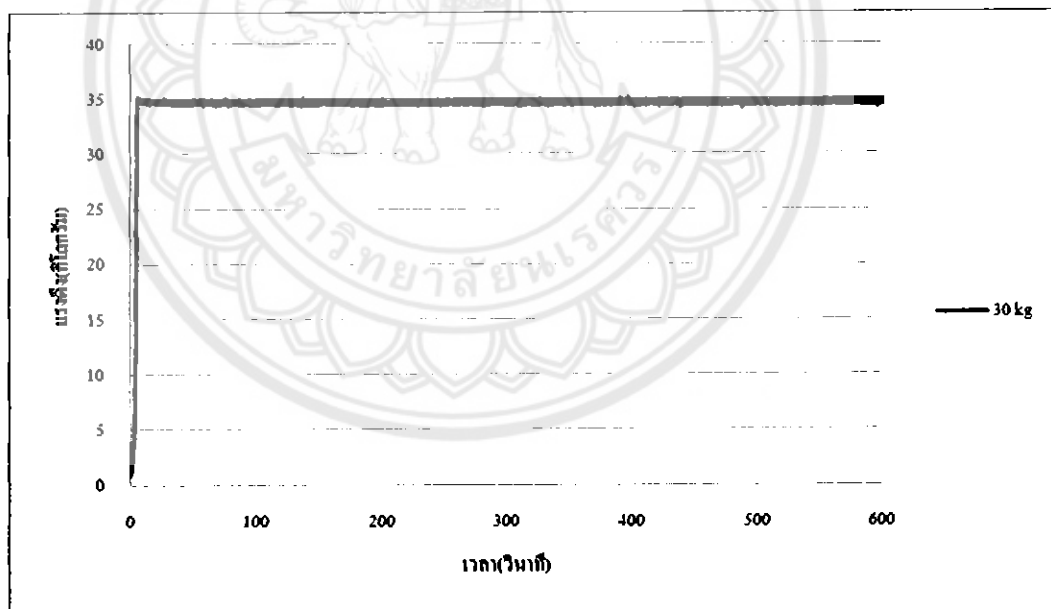
รูปที่ 4.19 กราฟแรงดึงเฉลี่ยของนอเตอร์เหนี่ยวบาน้ำที่ควบคุมด้วยเบร์เลย์ ($T = 10 \text{ ms}$)
ค่าเป้าหมาย 30 กิโลกรัม



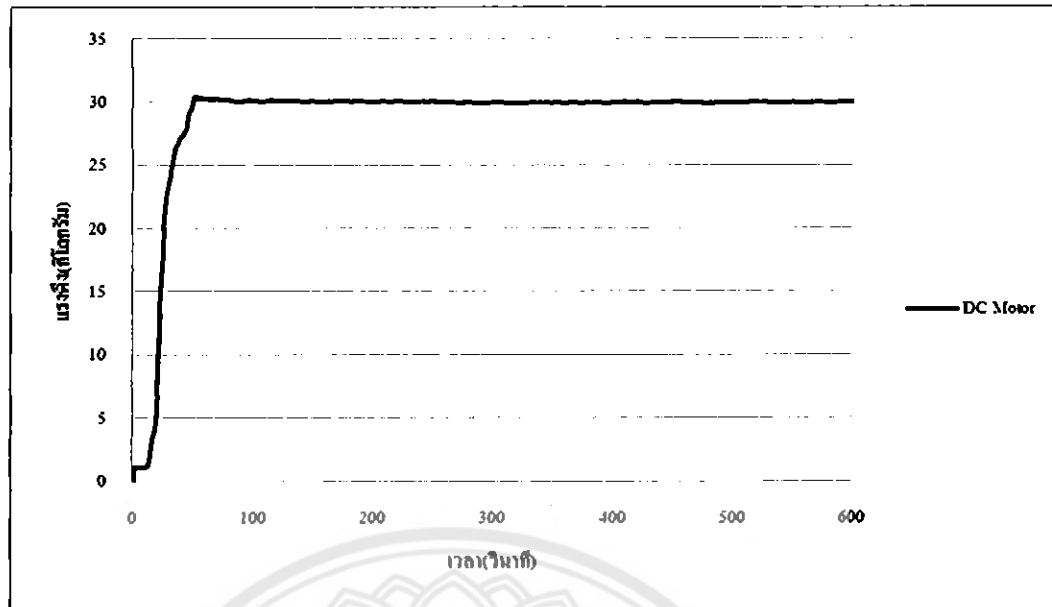
รูปที่ 4.20 กราฟแรงดึงเฉลี่ยของนอเตอร์เหนี่ยวบาน้ำที่ควบคุมด้วยเบร์เลย์ ($T = 100 \text{ ms}$)
ค่าเป้าหมาย 30 กิโลกรัม



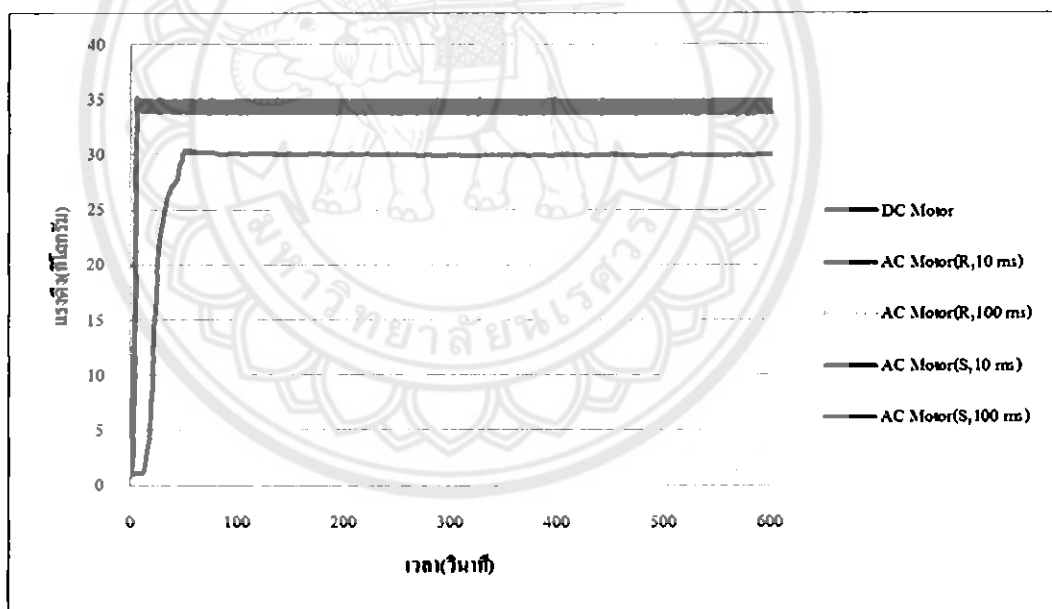
รูปที่ 4.21 กราฟแรงดึงเฉลี่ยของมอเตอร์เห็นขวนำที่ควบคุมด้วยโซลิดสเตต ($T = 10 \text{ ms}$)
ค่าเป้าหมาย 30 กิโลกรัม



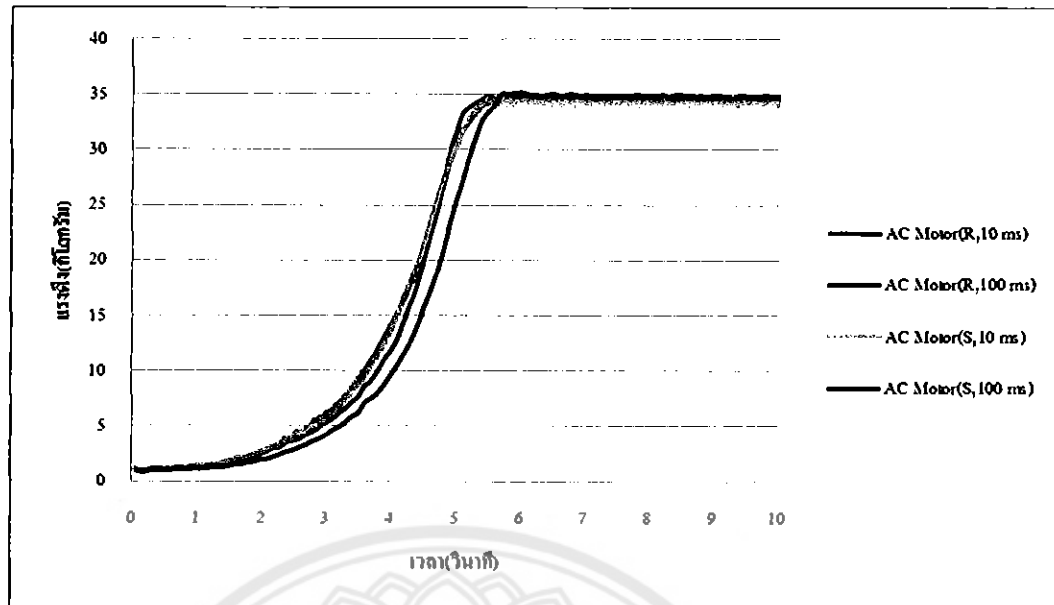
รูปที่ 4.22 กราฟแรงดึงเฉลี่ยของมอเตอร์เห็นขวนำที่ควบคุมด้วยโซลิดสเตต ($T = 100 \text{ ms}$)
ค่าเป้าหมาย 30 กิโลกรัม



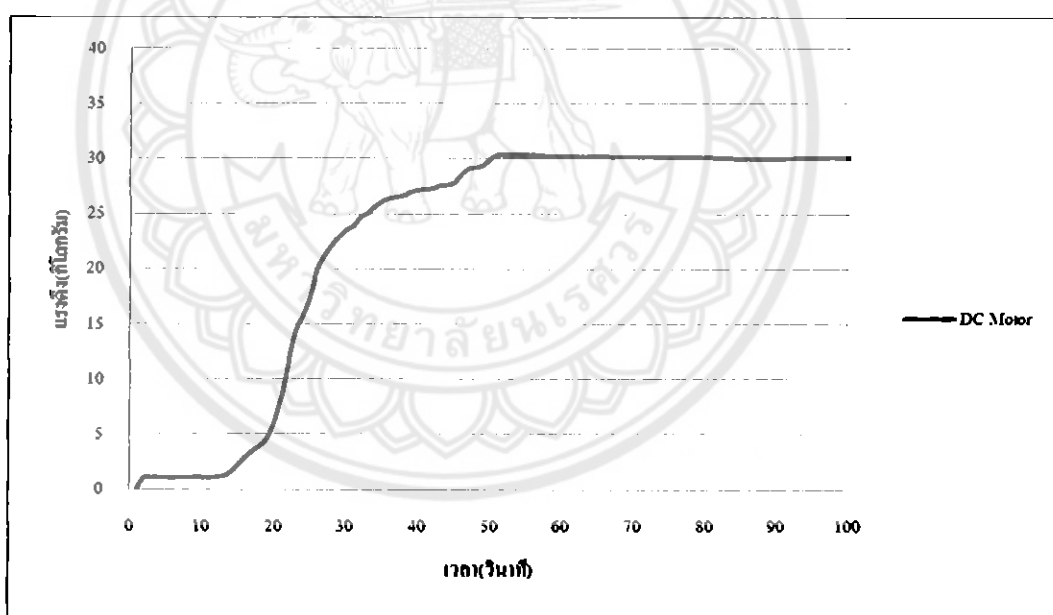
รูปที่ 4.23 กราฟแรงดึงเฉลี่ยของมอเตอร์กระแสตรงที่ค่าเป้าหมาย 30 กิโลกรัม



รูปที่ 4.24 กราฟเปรียบเทียบแรงดึงระหว่างมอเตอร์เหนี่ยวนำกับมอเตอร์กระแสตรง
ค่าเป้าหมาย 30 กิโลกรัม



รูปที่ 4.25 กราฟแสดงเวลาเข้าถึงค่าเป้าหมายที่ 30 กิโลกรัมของมอเตอร์เหนือขวนำ



รูปที่ 4.26 กราฟแสดงเวลาเข้าถึงค่าเป้าหมายที่ 30 กิโลกรัมของมอเตอร์กระแสตรง

ตารางที่ 4.6 เวลาเข้าถึงค่าเป้าหมาย 30 กิโลกรัม

ชนิดของมอเตอร์		แรงดึงเฉลี่ย (กิโลกรัม)	เวลาเข้าที่ (วินาที)	%ความ ผิดพลาด (กิโลกรัม)
มอเตอร์ เหนี่ยวหน้า	รีเลียควนคุณ	T = 10 ms	34.071	5.11
		T= 100 ms	34.305	5.17
	โซลิคส์เตต	T = 10 ms	34.047	5.10
		T= 100 ms	34.607	5.50
มอเตอร์กระแสตรง		29.946	45.00	0.179(-0.054)

จากตารางที่ 4.5 และกราฟดังรูปที่ 4.19 – 4.23 เป็นการแสดงค่าแรงดึงเฉลี่ยที่ได้จากการทดลองทั้งหมดสิบครั้งของมอเตอร์ทั้งสองชนิดที่ค่าเป้าหมาย 30 กิโลกรัม พนวณมอเตอร์เหนี่ยวหน้าที่ควนคุณการทำงานด้วยโซลิคส์เตตที่ Sampling Rate Times = 10 ms ให้ค่าแรงดึงที่มีค่าความผิดพลาด 13.491 เปอร์เซ็นต์ หรือมีค่าแรงดึงผิดพลาดอยู่ +4.047 กิโลกรัม เมื่อเปรียบเทียบกับมอเตอร์เหนี่ยวหน้าที่ควนคุณด้วยรีเลีย หรือโซลิคส์เตตที่ Sampling Rate Times ต่างๆถือว่ามีค่าความผิดพลาดที่น้อยสุดในกรณีของมอเตอร์เหนี่ยวหน้า

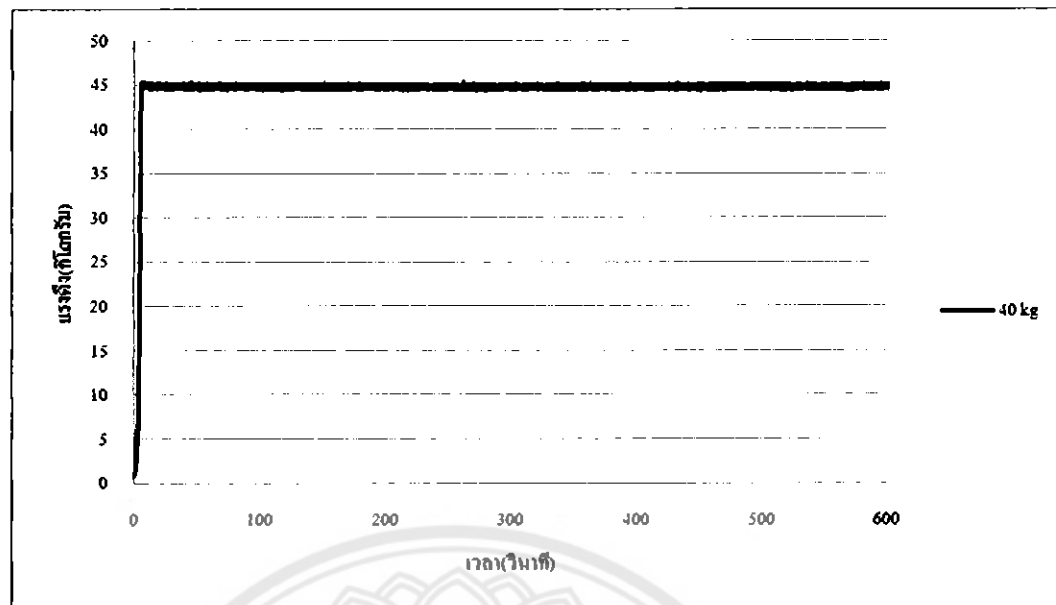
สำหรับมอเตอร์กระแสตรงพบว่า ไม่มีค่าความผิดพลาดอยู่ที่ 0.179 เปอร์เซ็นต์หรือมีค่าแรงดึงผิดพลาดอยู่ -0.054 กิโลกรัม ซึ่งถือว่าน้อยกว่าความผิดพลาดของมอเตอร์เหนี่ยวหน้า และมีค่าแรงดึงใกล้เคียงค่าเป้าหมายมากกว่า

เวลาเข้าที่ (Settling Time) ตามรูปที่ 4.25 และ 4.26 มอเตอร์เหนี่ยวหน้าที่ควนคุณด้วยโซลิคส์เตตใช้เวลาเข้าที่อยู่ที่ 5.10 วินาที ส่วนมอเตอร์กระแสตรงใช้เวลาเข้าที่อยู่ที่ 45 วินาที จะเห็นได้อย่างชัดเจนว่ามอเตอร์เหนี่ยวหน้าใช้เวลาเข้าที่น้อยกว่ามอเตอร์กระแสตรง

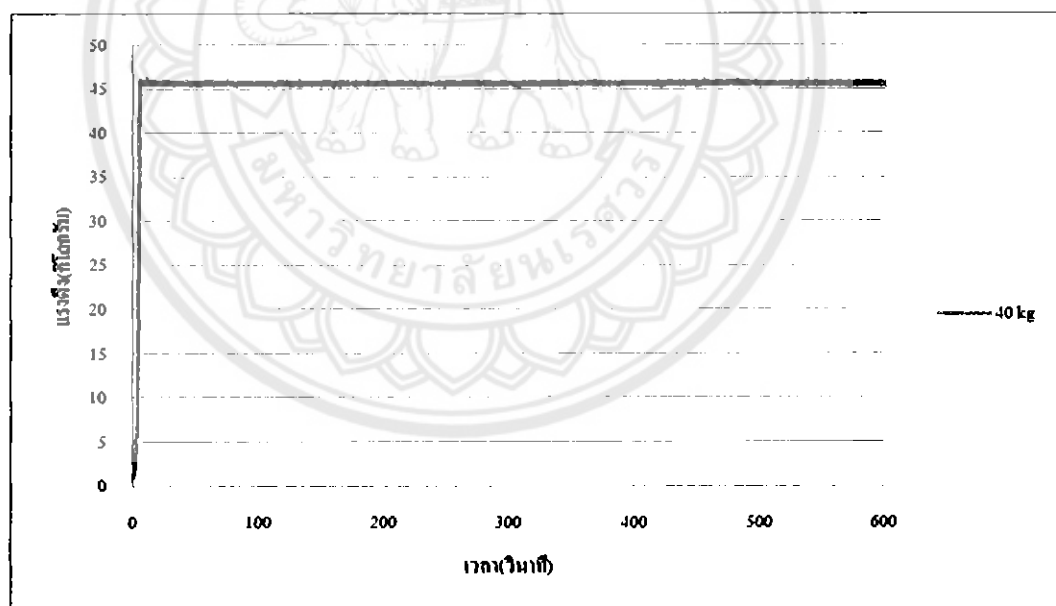
4.3.4. ผลการทดสอบแรงดึงที่ค่าป้าหมาย 40 กิโลกรัมของมอเตอร์เห็นี่ยวน้ำและมอเตอร์กระแทก

ตารางที่ 4.7 แรงดึงเฉลี่ยที่ค่าป้าหมาย 40 กิโลกรัม

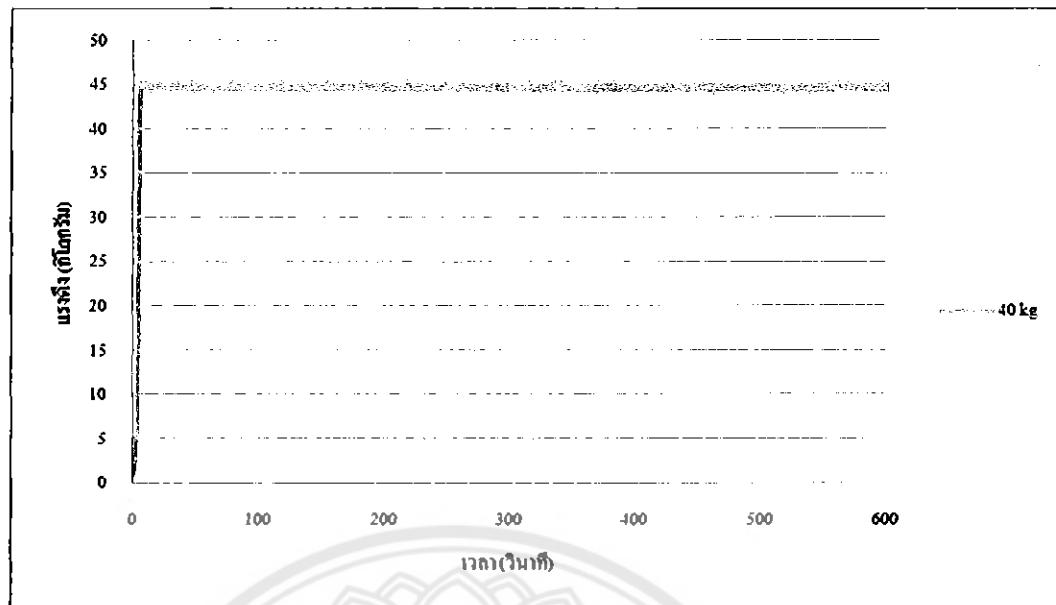
จำนวนการทดสอบ	มอเตอร์เห็นี่ยวน้ำ				มอเตอร์กระแทก
	รีเลย์ควบคุม		โซลิดสเตต		
	T = 10 ms	T = 100 ms	T = 10 ms	T = 100 ms	
ครั้งที่ 1	44.321	45.895	45.125	43.615	40.247
ครั้งที่ 2	44.587	46.346	44.532	43.910	40.086
ครั้งที่ 3	44.619	46.112	44.624	44.873	39.957
ครั้งที่ 4	44.358	45.807	45.385	44.991	40.094
ครั้งที่ 5	44.646	46.176	44.326	45.424	39.972
ครั้งที่ 6	44.842	45.536	43.721	44.492	39.956
ครั้งที่ 7	44.986	45.203	44.873	46.098	40.131
ครั้งที่ 8	45.335	45.026	44.653	44.093	39.947
ครั้งที่ 9	45.042	45.606	44.554	44.336	39.971
ครั้งที่ 10	44.942	44.428	44.554	45.791	40.003
ค่าเฉลี่ย	44.768	45.613	44.635	44.762	40.036
%ความผิดพลาด	11.920	14.034	11.588	11.907	0.092



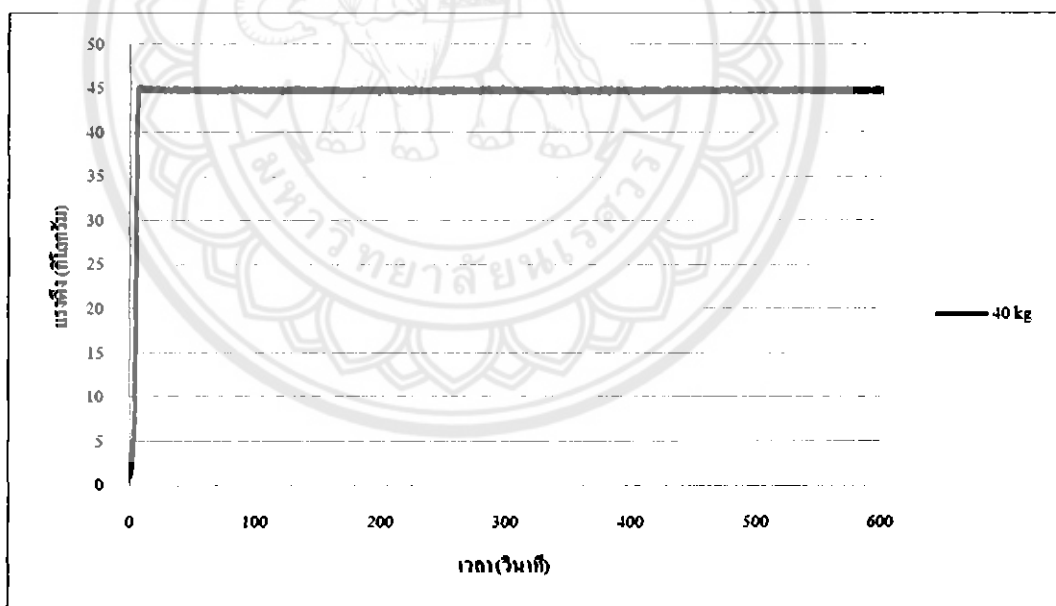
รูปที่ 4.27 กราฟแรงดึงเฉลี่ยของนอเตอร์หนีบวนนำที่ควบคุมด้วยรีเลย์ ($T = 10 \text{ ms}$)
ค่าเป้าหมาย 40 กิโลกรัม



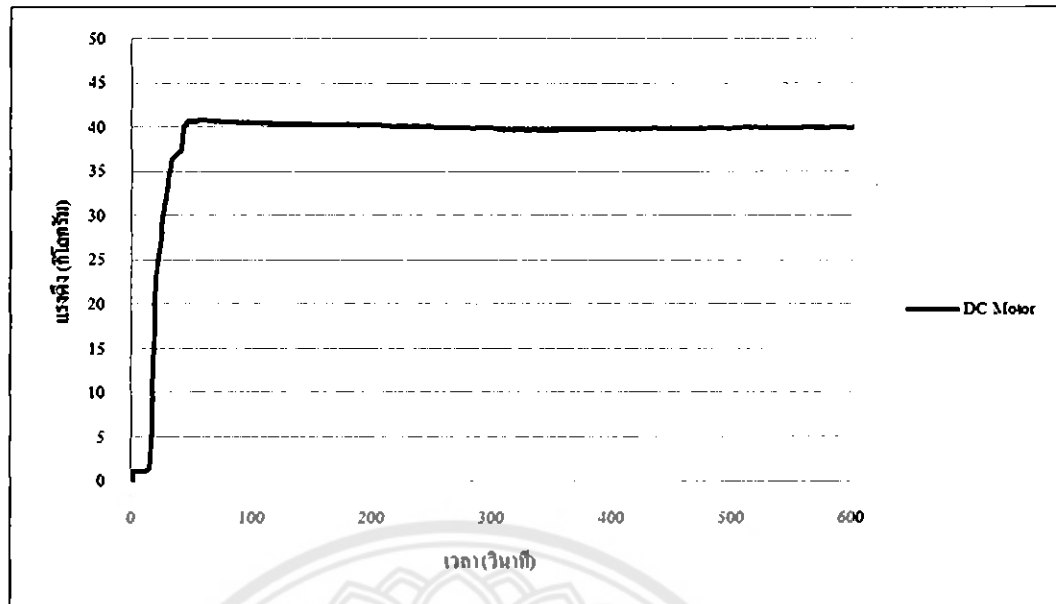
รูปที่ 4.28 กราฟแรงดึงเฉลี่ยของนอเตอร์หนีบวนนำที่ควบคุมด้วยรีเลย์ ($T = 100 \text{ ms}$)
ค่าเป้าหมาย 40 กิโลกรัม



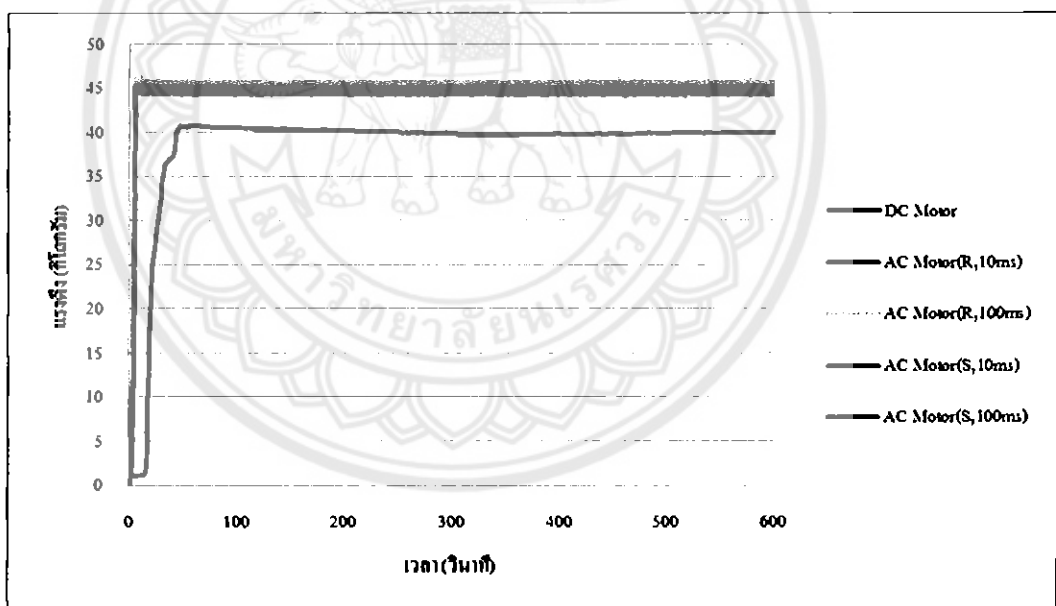
รูปที่ 4.29 กราฟแรงดึงเฉลี่บของนอเตอร์เหนี่ยวหน้าที่ควบคุมด้วยโซลิดสเตต ($T = 10 \text{ ms}$)
ค่าเป้าหมาย 40 กิโลกรัม



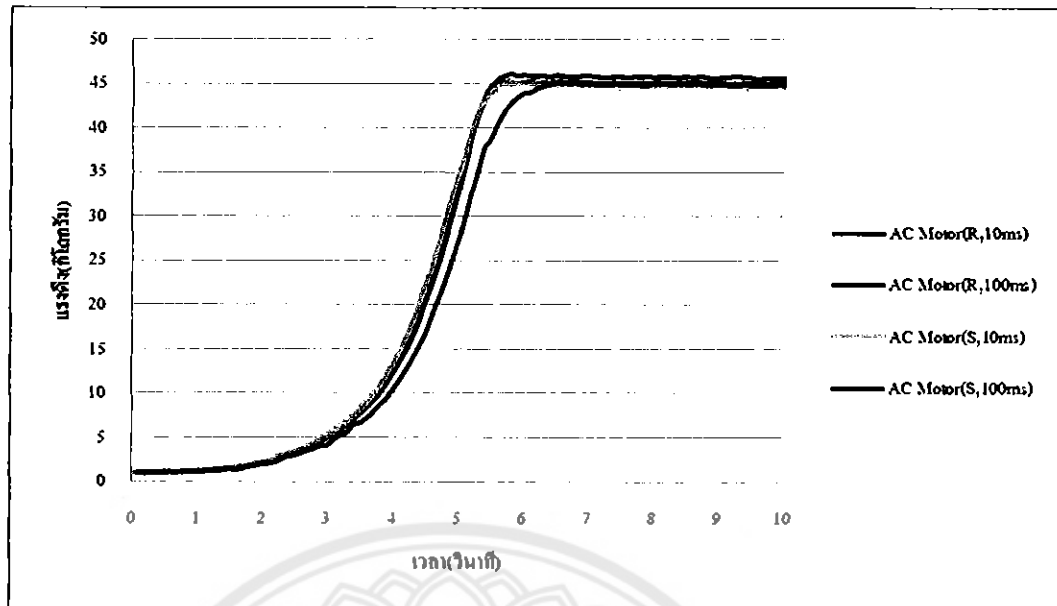
รูปที่ 4.30 กราฟแรงดึงเฉลี่บของนอเตอร์เหนี่ยวหน้าที่ควบคุมด้วยโซลิดสเตต ($T = 100 \text{ ms}$)
ค่าเป้าหมาย 40 กิโลกรัม



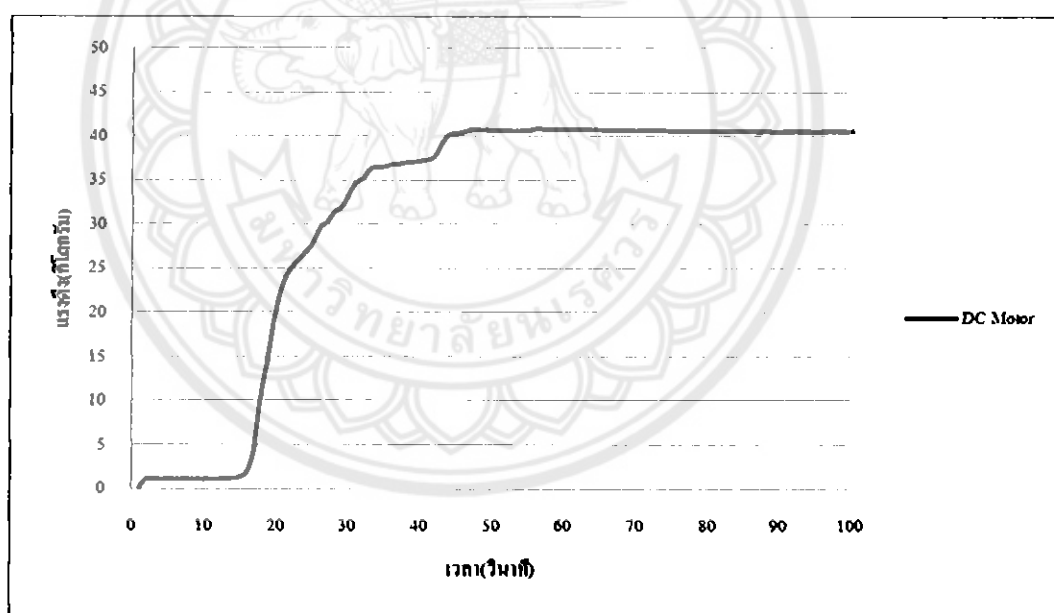
รูปที่ 4.31 กราฟแรงดึงของมอเตอร์กระแสตรงที่ค่าเป้าหมาย 40 กิโลกรัม



รูปที่ 4.32 กราฟเปรียบเทียบแรงดึงระหว่างมอเตอร์เหนี่ยวนำกับมอเตอร์กระแสตรงที่ค่าเป้าหมาย 40 กิโลกรัม



รูปที่ 4.33 กราฟแสดงเวลาเข้าถึงค่าเป้าหมายที่ 40 กิโลกรัมของมอเตอร์เหนี่ยวหน้า



รูปที่ 4.34 กราฟแสดงเวลาเข้าถึงค่าเป้าหมายที่ 40 กิโลกรัมของมอเตอร์กระแสตรง

ตารางที่ 4.8 เวลาเข้าถึงค่าเป้าหมาย 40 กิโลกรัม

ชนิดของมอเตอร์		แรงดึง曳สี่ย (กิโลกรัม)	เวลาเข้าที่ (วินาที)	%ความ ผิดพลาด (กิโลกรัม)
มอเตอร์ เหนี่ยวนำ	รีเลียร์ควบคุม	T = 10 ms	44.768	5.40
		T= 100 ms	45.613	5.50
	โซลิคส์เตต	T = 10 ms	44.635	5.37
		T= 100 ms	44.762	5.80
มอเตอร์กระแสตรง		40.036	48.00	0.092(+0.036)

จากตารางที่ 4.7 และกราฟดังรูปที่ 4.27 – 4.31 เป็นการแสดงค่าแรงดึง曳สี่ยที่ได้จากการทดลองทั้งหมดสิบครั้งของมอเตอร์ทั้งสองชนิดที่ค่าเป้าหมาย 40 กิโลกรัม พบว่ามอเตอร์เหนี่ยวนำที่ควบคุมการทำงานด้วยโซลิคส์เตตที่ Sampling Rate Times = 10 ms ให้ค่าแรงดึงที่มีค่าความผิดพลาด 11.588 เปอร์เซ็นต์ หรือมีค่าแรงดึงผิดพลาดอยู่ +4.635 กิโลกรัม เมื่อเปรียบเทียบกับมอเตอร์เหนี่ยวนำที่ควบคุมด้วยรีเลีย หรือโซลิคส์เตตที่ Sampling Rate Times ต่างๆ ถือว่ามีค่าผิดพลาดที่น้อยสุดในกรณีของมอเตอร์เหนี่ยวนำ

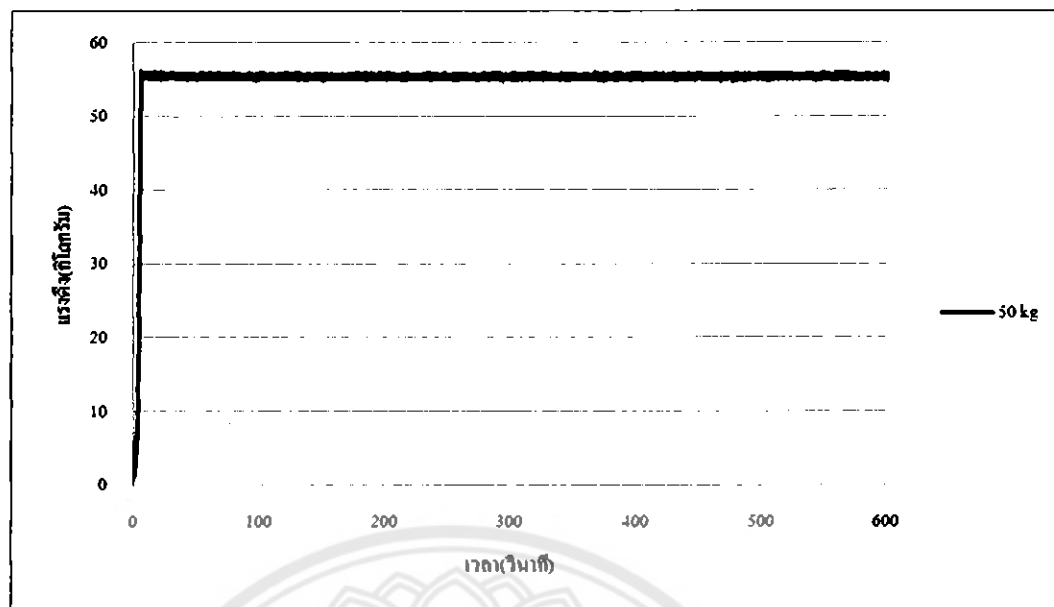
สำหรับมอเตอร์กระแสตรงพบว่าได้มีค่าความผิดพลาดอยู่ที่ 0.092 เปอร์เซ็นต์หรือมีค่าแรงดึงผิดพลาดอยู่ +0.036 กิโลกรัม ซึ่งถือว่ามีค่าผิดพลาดน้อยกว่ามอเตอร์เหนี่ยวนำ และมีค่าแรงดึงใกล้เคียงค่าเป้าหมายมากกว่า

เวลาเข้าที่ (Settling Time) ตามรูปที่ 4.33 และ 4.34 มอเตอร์เหนี่ยวนำที่ควบคุมด้วยโซลิคส์เตตใช้เวลาเข้าที่อยู่ที่ 5.37 วินาที ส่วนมอเตอร์กระแสตรงใช้เวลาเข้าที่อยู่ที่ 48 วินาที จะเห็นได้อย่างชัดเจนว่ามอเตอร์เหนี่ยวนำใช้เวลาเข้าที่น้อยกว่ามอเตอร์กระแสตรง

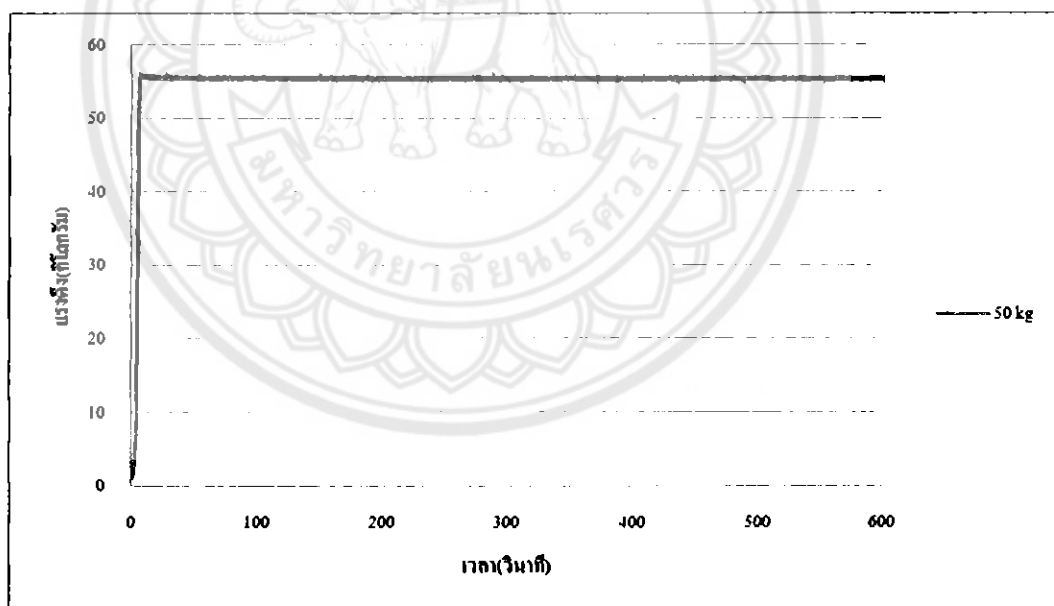
4.3.5. ผลการทดสอบแรงดึงที่ค่าเป้าหมาย 50 กิโลกรัมของมอเตอร์เหนี่ยวน้ำและมอเตอร์กระแสน้ำ

ตารางที่ 4.9 แรงดึงเฉลี่ยที่ค่าเป้าหมาย 50 กิโลกรัม

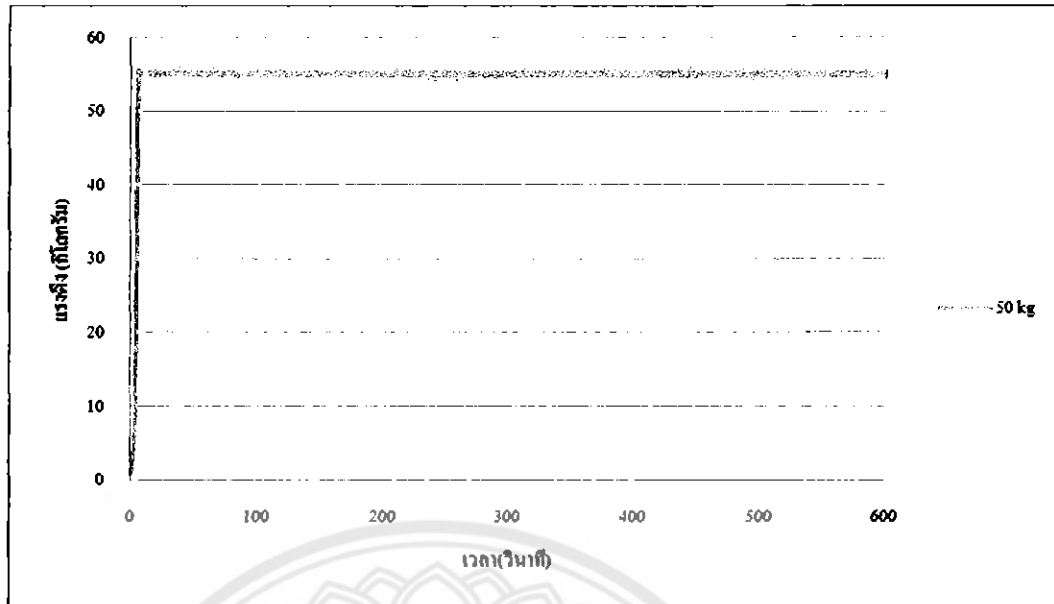
จำนวนการทดสอบ	มอเตอร์เหนี่ยวน้ำ				มอเตอร์ กระ慊น้ำ	
	รีเลย์ควบคุม		โซลิคสเตต			
	T = 10 ms	T = 100 ms	T = 10 ms	T = 100 ms		
ครั้งที่ 1	54.987	54.973	54.841	54.895	50.102	
ครั้งที่ 2	55.570	55.614	54.527	56.017	50.057	
ครั้งที่ 3	55.492	55.505	54.824	56.277	49.784	
ครั้งที่ 4	55.791	56.475	55.553	54.971	49.931	
ครั้งที่ 5	55.184	54.991	54.514	55.513	49.923	
ครั้งที่ 6	55.376	54.818	55.525	53.998	49.862	
ครั้งที่ 7	54.805	54.881	55.064	56.903	49.814	
ครั้งที่ 8	55.235	55.918	54.871	55.246	49.827	
ครั้งที่ 9	55.861	55.505	54.905	54.834	49.737	
ครั้งที่ 10	55.139	54.958	55.465	55.494	49.715	
ค่าเฉลี่ย	55.344	55.364	55.009	55.415	49.875	
%ความผิดพลาด	10.686	10.728	10.018	10.830	0.248	



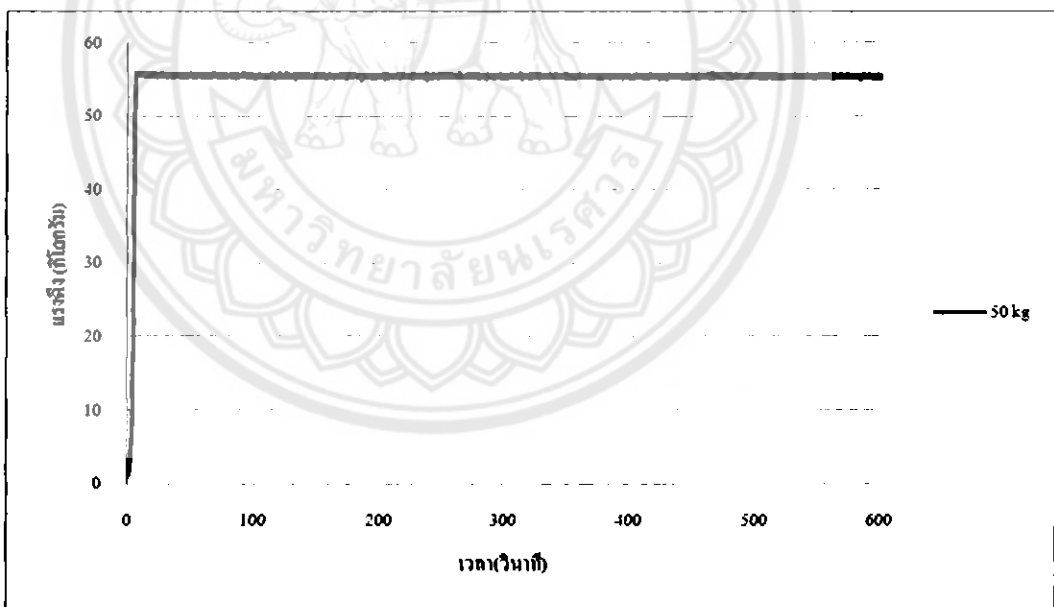
รูปที่ 4.35 กราฟแรงคงเดิมของนอมเตอร์เหนี่ยวหน้าที่ความถี่วัตต์บีรีเล็บ ($T = 10 \text{ ms}$)
ค่าเป้าหมาย 50 กิโลกรัม



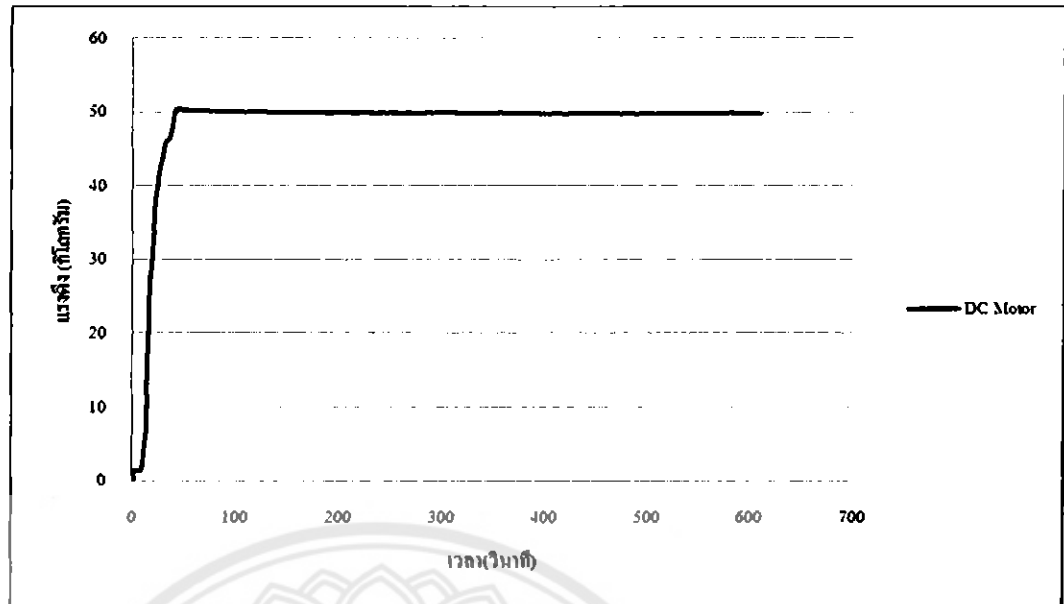
รูปที่ 4.36 กราฟแรงคงเดิมของนอมเตอร์เหนี่ยวหน้าที่ความถี่วัตต์บีรีเล็บ ($T = 100 \text{ ms}$)
ที่ค่าเป้าหมาย 50 กิโลกรัม



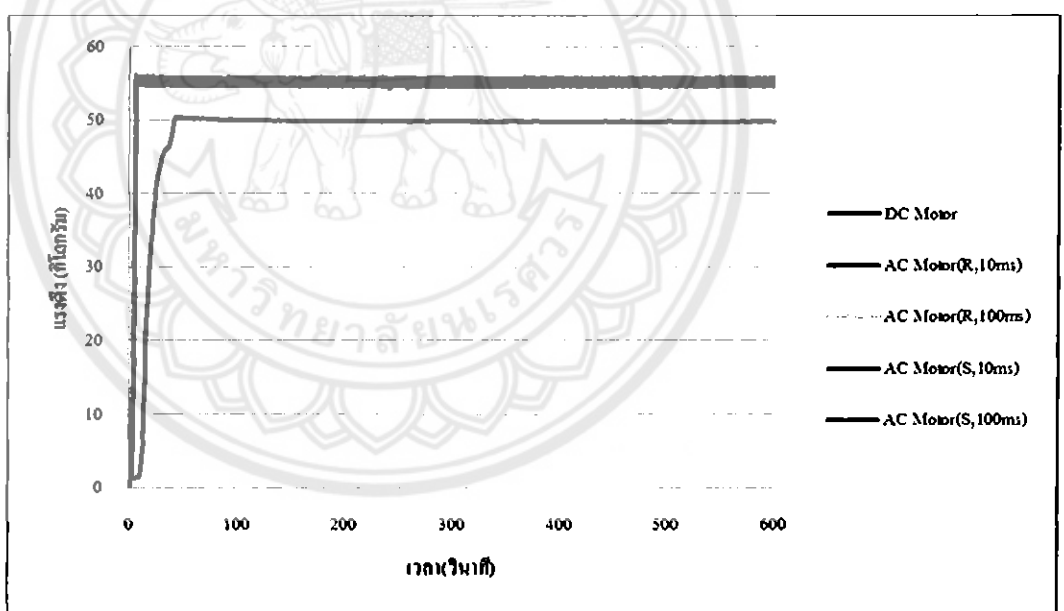
รูปที่ 4.37 กราฟแรงดึงเฉลี่ยของนอเตอร์หนีบวนนำที่ควบคุมด้วยโซลิดสเตต ($T = 10 \text{ ms}$)
ค่าเป้าหมาย 50 กิโลกรัม



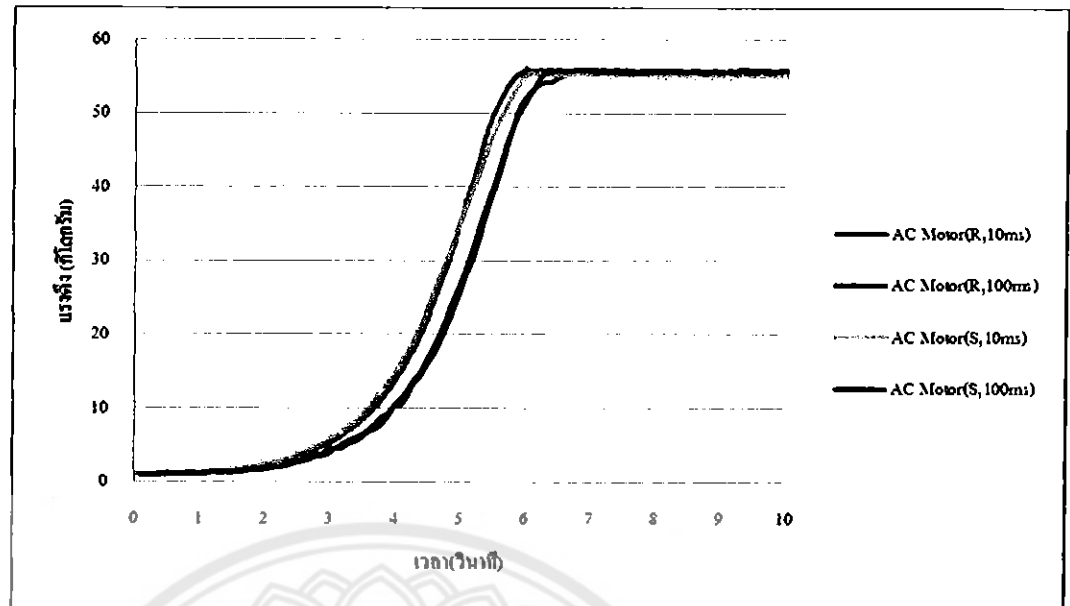
รูปที่ 4.38 กราฟแรงดึงเฉลี่ยของนอเตอร์หนีบวนนำที่ควบคุมด้วยโซลิดสเตต ($T = 100 \text{ ms}$)
ค่าเป้าหมาย 50 กิโลกรัม



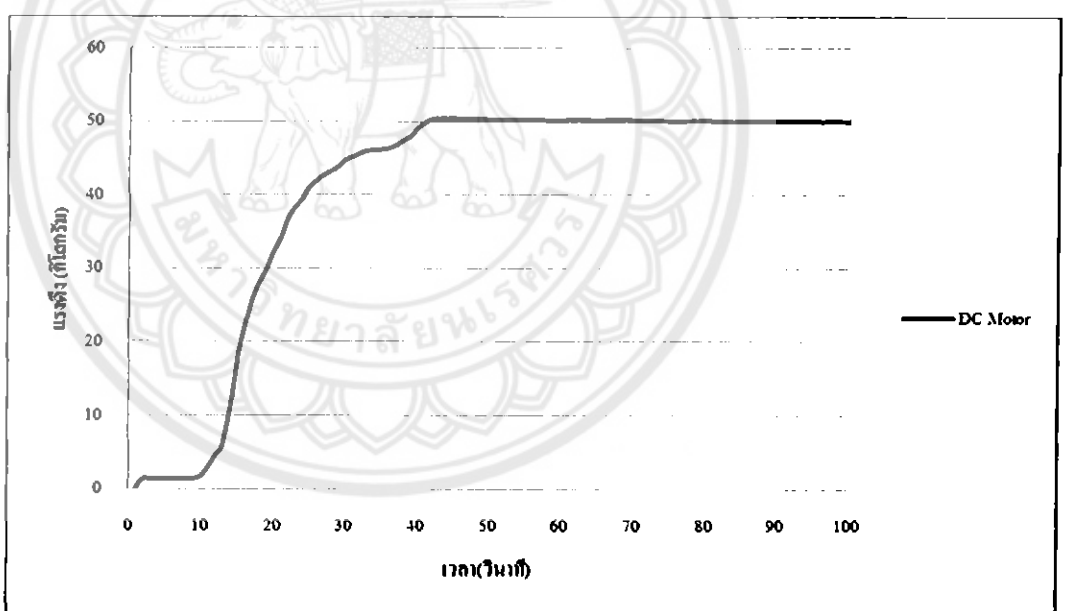
รูปที่ 4.39 กราฟแรงดึงเฉลี่บของมอเตอร์กระแสตรงที่ค่าเป้าหมาย 50 กิโลกรัม



รูปที่ 4.40 กราฟเปรียบเทียบแรงดึงระหว่างมอเตอร์เหนี่ยวนำกับมอเตอร์กระแสตรงที่ค่าเป้าหมาย 50 กิโลกรัม



รูปที่ 4.41 กราฟแสดงเวลาเข้าถึงค่าเป้าหมายที่ 50 กิโลกรัมของมอเตอร์เห็นได้ชัดเจน



รูปที่ 4.42 กราฟแสดงเวลาเข้าถึงค่าเป้าหมายที่ 50 กิโลกรัมของมอเตอร์กระแสตรง

ตารางที่ 4.10 เวลาเข้าถึงค่าเป้าหมาย 50 กิโลกรัม

ชนิดของมอเตอร์		แรงดึงเฉลี่ย (กิโลกรัม)	เวลาเข้าที่ (วินาที)	%ความ ผิดพลาด (กิโลกรัม)
มอเตอร์ เหนี่ยวนำ	รีเล็กท์ควบคุม	T = 10 ms	55.344	6.10
		T= 100 ms	55.364	6.12
	โซลิคสเก็ต	T = 10 ms	55.009	5.66
		T= 100 ms	55.415	5.18
มอเตอร์กระแสตรง		49.875	42.00	0.248(-0.125)

จากตารางที่ 4.9 และกราฟดังรูปที่ 4.35 – 4.40 เป็นการแสดงค่าแรงดึงเฉลี่ยที่ได้จากการทดลองทั้งหมดศึกษาของมอเตอร์ทั้งสองชนิดที่ค่าเป้าหมาย 50 กิโลกรัม พบว่ามอเตอร์เหนี่ยวนำที่ควบคุมการทำงานด้วยโซลิคสเก็ตที่ Sampling Rate Times = 10 ms ให้ค่าแรงดึงที่มีค่าความผิดพลาด 10.018 เปอร์เซ็นต์ หรือมีค่าแรงดึงผิดพลาดอยู่ +5.009 กิโลกรัม เมื่อเปรียบเทียบกับมอเตอร์เหนี่ยวนำที่ควบคุมด้วยรีเล็กท์ หรือโซลิคสเก็ตที่ Sampling Rate Times ต่างๆถือว่ามีค่าผิดพลาดที่น้อยสุดในกรณีของมอเตอร์เหนี่ยวนำ

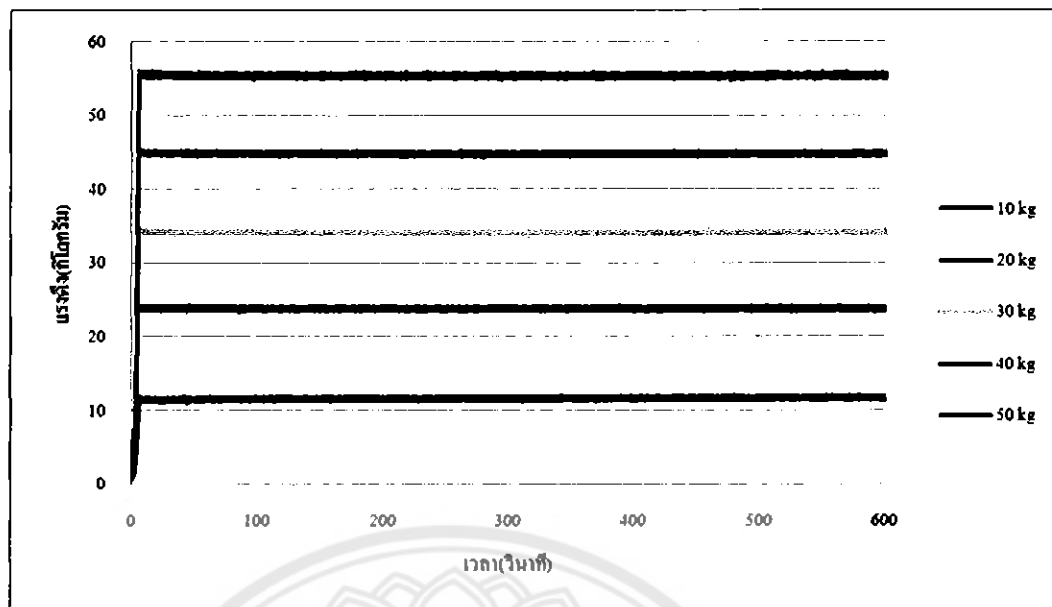
สำหรับมอเตอร์กระแสตรงพบว่าได้มีค่าความผิดพลาดอยู่ที่ 0.248 เปอร์เซ็นต์หรือมีค่าแรงดึงผิดพลาดอยู่ -0.125 กิโลกรัม ซึ่งถือว่ามีค่าผิดพลาดน้อยกว่ามอเตอร์เหนี่ยวนำ และมีค่าแรงดึงใกล้เคียงค่าเป้าหมายมากกว่า

เวลาเข้าที่ (Settling Time) ตามรูปที่ 4.41 และ 4.42 มอเตอร์เหนี่ยวนำที่ควบคุมด้วยโซลิคสเก็ตใช้เวลาเข้าที่อยู่ที่ 5.66 วินาที ส่วนมอเตอร์กระแสตรงใช้เวลาเข้าที่อยู่ที่ 42 วินาที จะเห็นได้อย่างชัดเจนว่ามอเตอร์เหนี่ยวนำใช้เวลาเข้าที่น้อยกว่ามอเตอร์กระแสตรง

4.3.6. ผลการทดสอบแรงดึงที่ค่าเป้าหมาย 10,20,30,40 และ 50 กิโลกรัมของนอเตอร์เหนี่ยวน้ำ และนอเตอร์กระแซตแรง

ตารางที่ 4.11 แรงดึงเฉลี่ยที่ค่าเป้าหมาย 10,20,30,40 และ 50 กิโลกรัมของนอเตอร์เหนี่ยวน้ำที่ควบคุมด้วยเบรล์ โดยปรับตั้งค่า Sampling Rate Times = 10 ms

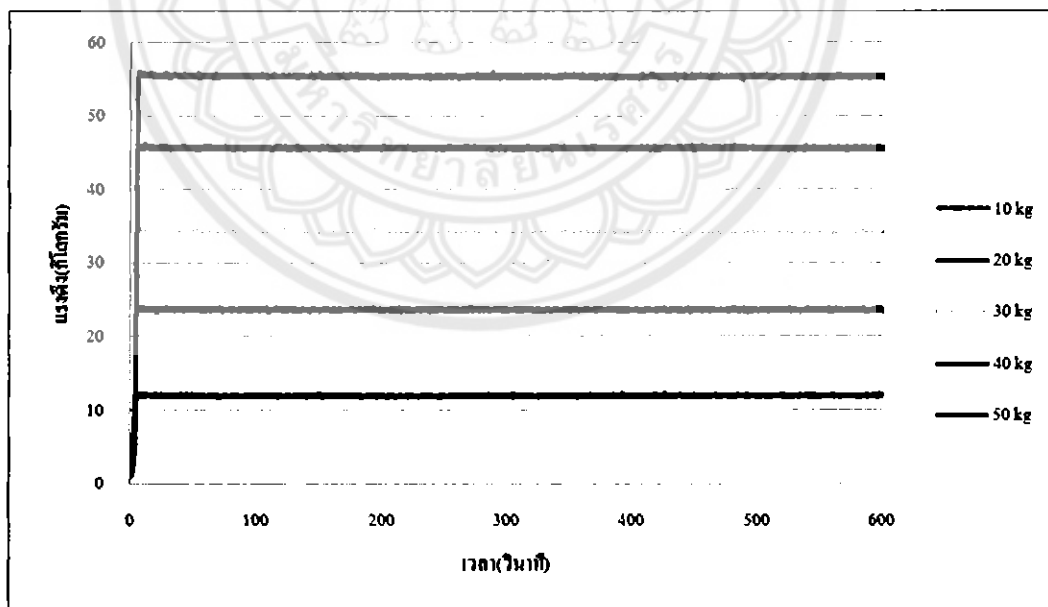
จำนวนการทดสอบ	10 kg	20 kg	30 kg	40 kg	50 kg
ครั้งที่ 1	11.526	24.094	33.827	44.321	54.987
ครั้งที่ 2	11.490	23.984	34.065	44.587	55.570
ครั้งที่ 3	11.558	23.196	33.800	44.619	55.492
ครั้งที่ 4	11.532	23.266	34.121	44.358	55.791
ครั้งที่ 5	11.553	23.430	34.177	44.646	55.184
ครั้งที่ 6	11.626	23.703	34.179	44.842	55.376
ครั้งที่ 7	11.672	24.487	34.457	44.986	54.805
ครั้งที่ 8	11.786	24.241	33.853	45.335	55.235
ครั้งที่ 9	11.628	23.976	34.345	45.042	55.861
ครั้งที่ 10	11.642	23.731	33.887	44.942	55.139
ค่าเฉลี่ย	11.601	23.811	34.071	44.768	55.344
%ความผิดพลาด	16.018	19.056	13.571	11.920	10.689



รูปที่ 4.43 กราฟแรงดึงของมอเตอร์เหนี่ยวที่ค่าเป้าหมาย 10, 20, 30, 40 และ 50 กิโลกรัม
ที่ความถี่บีบีรีแล็บ โดยปรับตั้งค่า Sampling Rate Times = 10 ms

ตารางที่ 4.12 แรงดึงเฉลี่ยที่ค่าเป้าหมาย 10,20,30,40 และ 50 กิโลกรัมของมอเตอร์เห็นี่ขวนำที่
ควบคุมด้วยบีรีเลอร์ โดยปรับตั้งค่า Sampling Rate Times = 100 ms

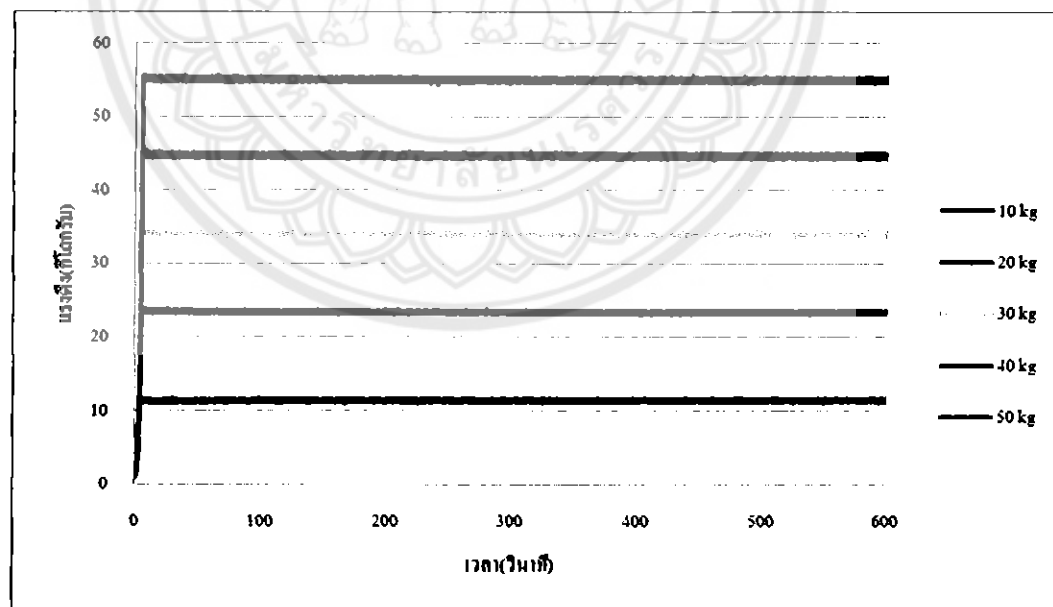
จำนวนการทดลอง	10 kg	20 kg	30 kg	40 kg	50 kg
ครั้งที่ 1	12.606	23.567	34.280	45.895	54.973
ครั้งที่ 2	12.157	23.801	34.749	46.346	55.614
ครั้งที่ 3	11.726	24.463	35.422	46.112	55.505
ครั้งที่ 4	12.051	23.367	35.273	45.807	56.475
ครั้งที่ 5	11.814	22.018	33.967	46.176	54.991
ครั้งที่ 6	11.644	24.785	35.345	45.536	54.818
ครั้งที่ 7	11.970	23.855	32.484	45.203	54.881
ครั้งที่ 8	11.790	23.521	34.431	45.026	55.918
ครั้งที่ 9	11.852	23.521	33.366	45.606	55.505
ครั้งที่ 10	11.667	23.378	33.733	44.428	54.958
ค่าเฉลี่ย	11.928	23.628	34.305	45.613	55.364
%ความผิดพลาด	19.283	18.140	14.351	14.034	10.728



รูปที่ 4.44 กราฟแรงดึงของมอเตอร์เห็นี่ขวนำที่ค่าเป้าหมาย 10, 20, 30, 40 และ 50 กิโลกรัม
ที่ควบคุมด้วยบีรีเลอร์ โดยปรับตั้งค่า Sampling Rate Times = 100 ms

ตารางที่ 4.13 แรงดึงเฉลี่ยที่ค่าเป้าหมาย 10,20,30,40 และ 50 กิโลกรัมของนอเตอร์เหนี่ยวนำที่
ความคุณค่าวายโซลิคสเกต โดยปรับตั้งค่า Sampling Rate Times = 10 ms

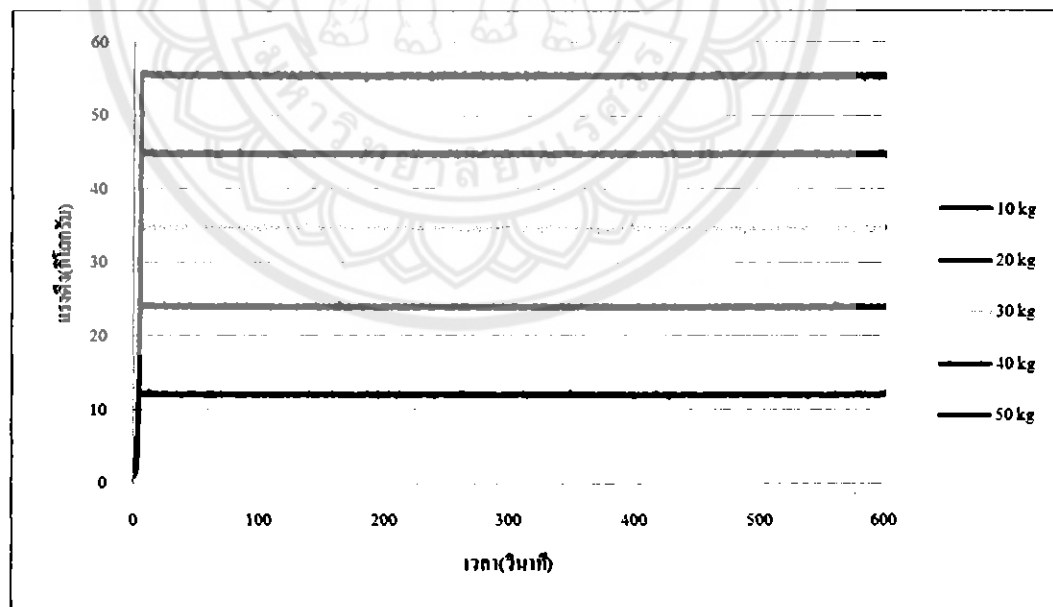
จำนวนการทดลอง	10 kg	20 kg	30 kg	40 kg	50 kg
ครั้งที่ 1	11.423	23.495	33.401	45.125	54.841
ครั้งที่ 2	11.450	23.551	34.179	44.532	54.527
ครั้งที่ 3	11.586	23.344	34.437	44.624	54.824
ครั้งที่ 4	11.457	23.297	34.354	45.385	55.553
ครั้งที่ 5	11.401	23.741	34.119	44.326	54.514
ครั้งที่ 6	11.275	23.694	33.856	43.721	55.525
ครั้งที่ 7	11.289	23.190	34.149	44.873	55.064
ครั้งที่ 8	11.410	23.210	34.124	44.653	54.871
ครั้งที่ 9	11.217	22.986	34.412	44.554	54.905
ครั้งที่ 10	11.275	23.408	33.440	44.554	55.465
ค่าเฉลี่ย	11.378	23.391	34.047	44.635	55.009
%ความผิดพลาด	13.787	16.959	13.491	11.588	10.018



รูปที่ 4.45 กราฟแรงดึงของนอเตอร์เหนี่ยวนำที่ค่าเป้าหมาย 10,20,30,40 และ 50 กิโลกรัม
ที่ความคุณค่าวายโซลิคสเกต โดยปรับตั้งค่า Sampling Rate Times = 10 ms

**ตารางที่ 4.14 แรงดึงเฉลี่ยที่ค่าเป้าหมาย 10,20,30,40 และ 50 กิโลกรัมของมอเตอร์เห็นี่บาน้ำที่
ความคุณค่าวบโซลิดสเตต โดยปรับตั้งค่า Sampling Rate Times = 100 ms**

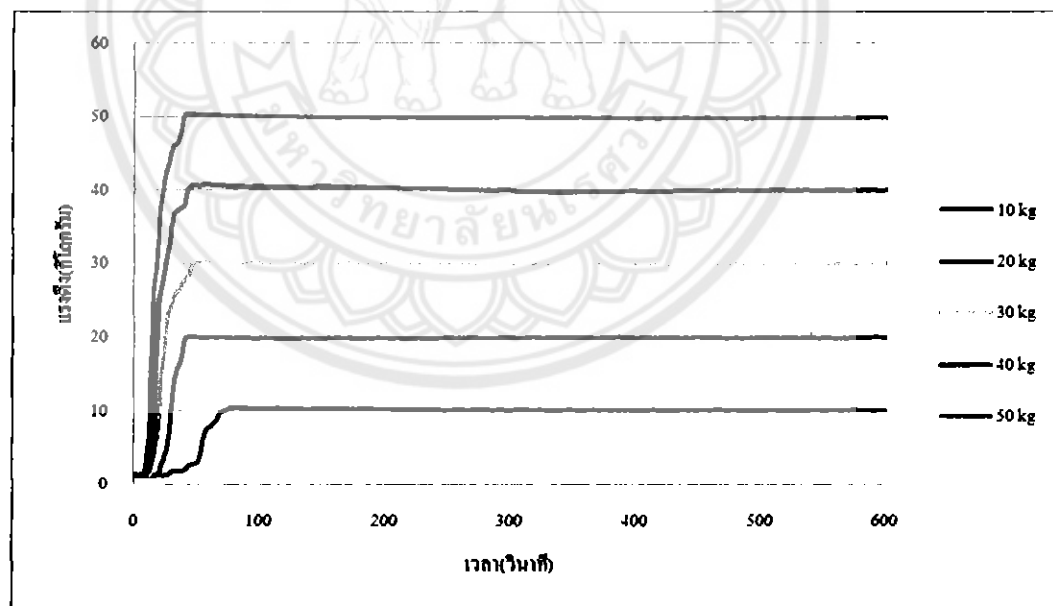
จำนวนการทดสอบ	10 kg	20 kg	30 kg	40 kg	50 kg
ครั้งที่ 1	12.341	23.143	33.777	43.615	54.895
ครั้งที่ 2	11.820	24.218	34.857	43.910	56.017
ครั้งที่ 3	12.184	23.284	35.244	44.873	56.277
ครั้งที่ 4	12.221	23.178	35.023	44.991	54.971
ครั้งที่ 5	12.107	24.185	34.183	45.424	55.513
ครั้งที่ 6	12.221	24.417	34.637	44.492	53.998
ครั้งที่ 7	11.800	24.885	34.721	46.098	56.903
ครั้งที่ 8	11.563	24.423	34.351	44.093	55.246
ครั้งที่ 9	12.401	23.662	34.853	44.336	54.834
ครั้งที่ 10	11.825	24.348	34.420	45.791	55.494
ค่าเฉลี่ย	12.048	23.974	34.607	44.762	55.415
%ความผิดพลาด	20.484	19.874	15.356	11.907	10.830



**รูปที่ 4.46 กราฟแรงดึงของมอเตอร์เห็นี่บาน้ำที่ค่าเป้าหมาย 10,20,30,40 และ 50 กิโลกรัม
ที่ความคุณค่าวบโซลิดสเตต โดยปรับตั้งค่า Sampling Rate Times = 100 ms**

ตารางที่ 4.15 แรงดึงเคลื่บที่ค่าเป้าหมาย 10,20,30,40 และ 50 กิโลกรัมของนอเตอร์กระแทกแรง

จำนวนการทดสอบ	10 kg	20 kg	30 kg	40 kg	50 kg
ครั้งที่ 1	10.125	19.927	29.937	40.247	50.102
ครั้งที่ 2	10.097	19.941	30.027	40.086	50.057
ครั้งที่ 3	9.965	19.839	29.907	39.957	49.784
ครั้งที่ 4	9.909	19.839	30.064	40.094	49.931
ครั้งที่ 5	9.936	19.894	30.013	39.972	49.923
ครั้งที่ 6	9.896	19.898	29.883	39.956	49.862
ครั้งที่ 7	9.903	19.915	29.991	40.131	49.814
ครั้งที่ 8	9.983	19.948	29.910	39.947	49.827
ครั้งที่ 9	9.927	19.934	29.773	39.971	49.737
ครั้งที่ 10	9.928	19.915	29.953	40.003	49.715
ค่าเฉลี่ย	9.967	19.905	29.946	40.036	49.875
%ความผิดพลาด	0.326	0.472	0.179	0.092	0.2487

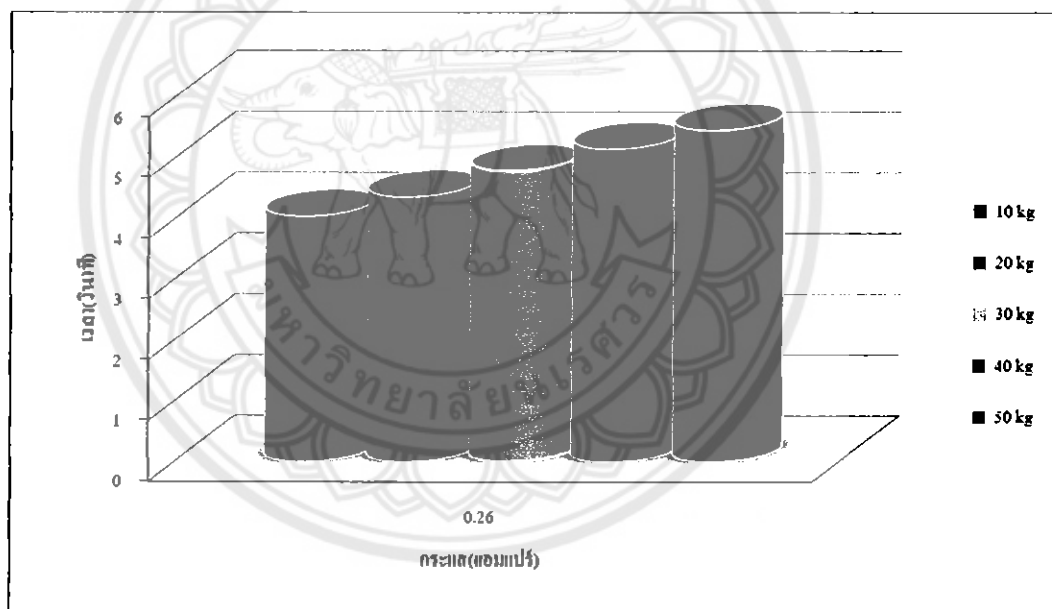


รูปที่ 4.47 กราฟแรงดึงของนอเตอร์กระแทกแรงที่ค่าเป้าหมาย 10,20,30,40 และ 50 กิโลกรัม

4.3.7. ผลการทดสอบปริมาณเวลาการใช้กระแสที่ค่าเป้าหมาย 10,20,30,40 และ 50 กิโลกรัมของนอเตอร์เหนี่ยวนำ

ตารางที่ 4.16 ปริมาณเวลาการใช้กระแสที่ค่าเป้าหมาย 10,20,30,40 และ 50 กิโลกรัมของนอเตอร์เหนี่ยวนำที่ควบคุมด้วยเบล์โดยปรับตั้งค่า Sampling Rate Times = 10 ms

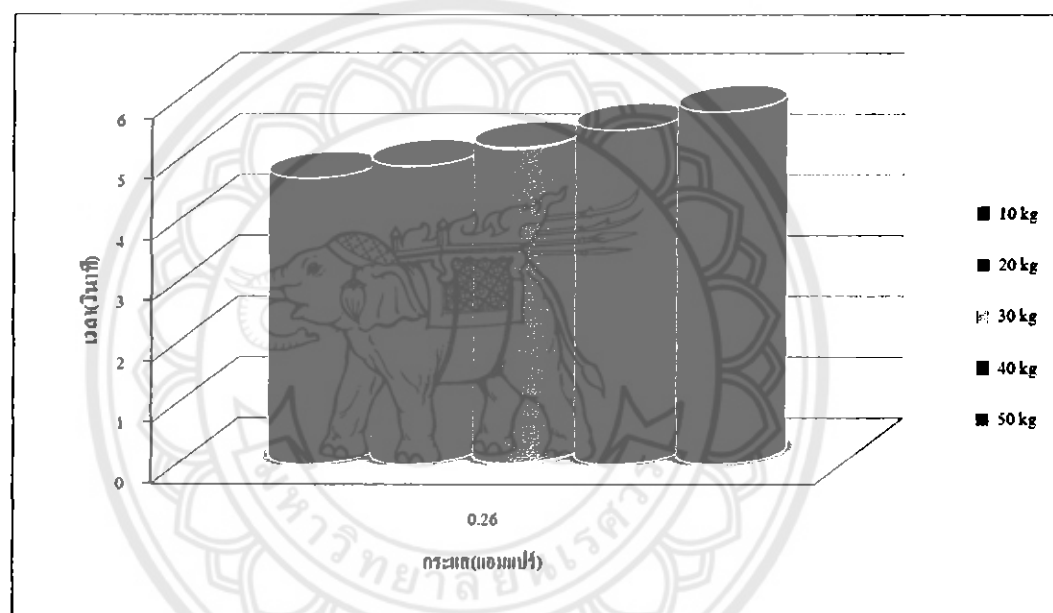
จำนวนการทดสอบ	ปริมาณกระแส (แอมป์)	เวลาที่ใช้ (วินาที)
10 kg	0.26	4.04
20 kg	0.26	4.36
30 kg	0.26	4.79
40 kg	0.26	5.15
50 kg	0.26	5.46



รูปที่ 4.48 ปริมาณเวลาการใช้กระแสที่ค่าเป้าหมาย 10,20,30,40 และ 50 กิโลกรัมของนอเตอร์เหนี่ยวนำที่ควบคุมด้วยเบล์โดยปรับตั้งค่า Sampling Rate Times = 10 ms

ตารางที่ 4.17 ปริมาณกระแสที่ค่าเป้าหมาย 10,20,30,40 และ 50 กิโลกรัมของมอเตอร์เหนี่ยวนำที่ควบคุมด้วยรีเลย์โดยปรับตั้งค่า Sampling Rate Times = 100 ms

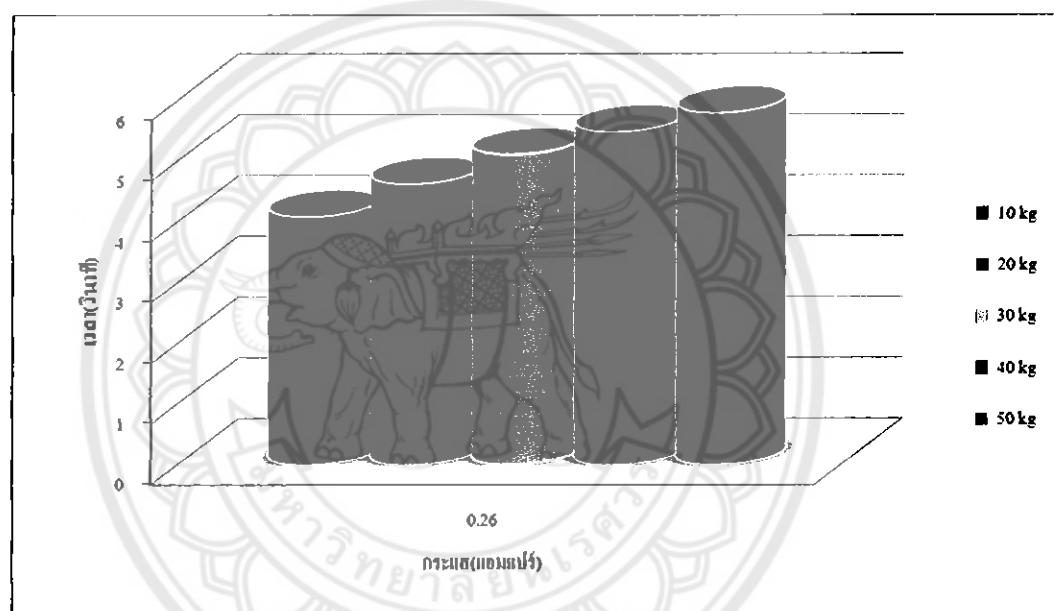
จำนวนการทดลอง	ปริมาณกระแส (แอมป์ร์)	เวลาที่ใช้ (วินาที)
10 kg	0.26	4.70
20 kg	0.26	4.90
30 kg	0.26	5.20
40 kg	0.26	5.50
50 kg	0.26	5.80



รูปที่ 4.49 ปริมาณเวลาการใช้กระแสที่ค่าเป้าหมาย 10,20,30,40 และ 50 กิโลกรัมของมอเตอร์เหนี่ยวนำที่ควบคุมด้วยรีเลย์โดยปรับตั้งค่า Sampling Rate Times = 100 ms

**ตารางที่ 4.18 ปริมาณเวลาการใช้กระแทกที่ค่าเป้าหมาย 10,20,30,40 และ 50 กิโลกรัมของมอเตอร์
เหนี่ยวหน้าที่ควบคุมด้วยไซลิคสเกต โดยปรับตั้งค่า Sampling Rate Times = 10 ms**

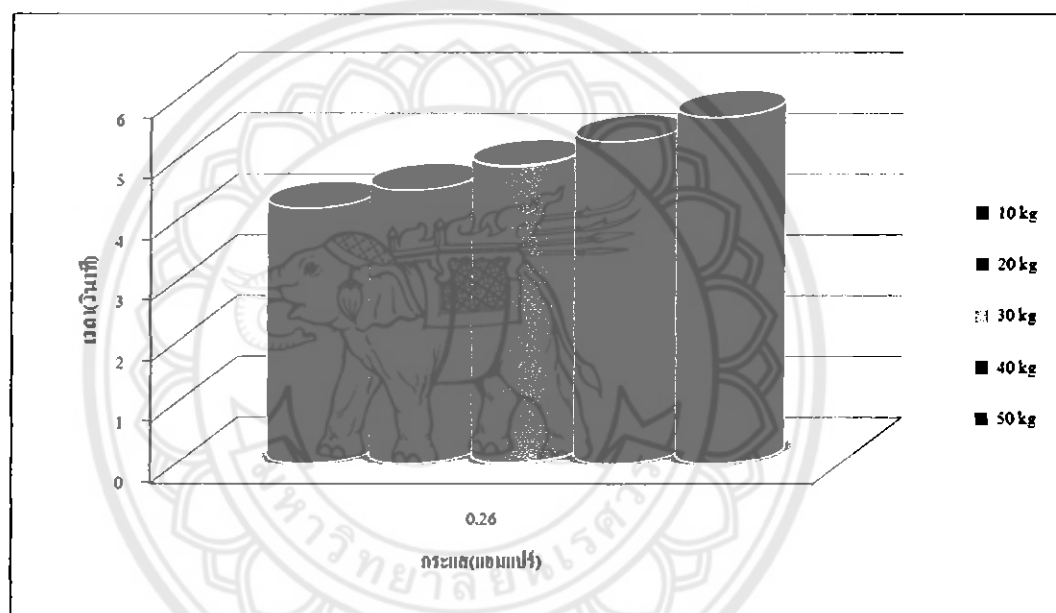
จำนวนการทดลอง	ปริมาณกระแทก (แอนแพร์)	เวลาที่ใช้ (วินาที)
10 kg	0.26	4.08
20 kg	0.26	4.62
30 kg	0.26	5.11
40 kg	0.26	5.48
50 kg	0.26	5.79



**รูปที่ 4.50 ปริมาณเวลาการใช้กระแทกที่ค่าเป้าหมาย 10,20,30,40 และ 50 กิโลกรัมของมอเตอร์
เหนี่ยวหน้าที่ควบคุมด้วยไซลิคสเกต โดยปรับตั้งค่า Sampling Rate Times = 10 ms**

ตารางที่ 4.19 ปริมาณเวลาการใช้กระแทกที่ค่าเป้าหมาย 10,20,30,40 และ 50 กิโลกรัมของมอเตอร์
เห็นช่วงนำที่ความถี่ความตัวบัญชีลิคสเก็ต โดยปรับตั้งค่า Sampling Rate Times = 100 ms

จำนวนการทดสอบ	ปริมาณกระแทก (แอมป์ร์)	เวลาที่ใช้ (วินาที)
10 kg	0.26	4.20
20 kg	0.26	4.50
30 kg	0.26	4.90
40 kg	0.26	5.30
50 kg	0.26	5.70

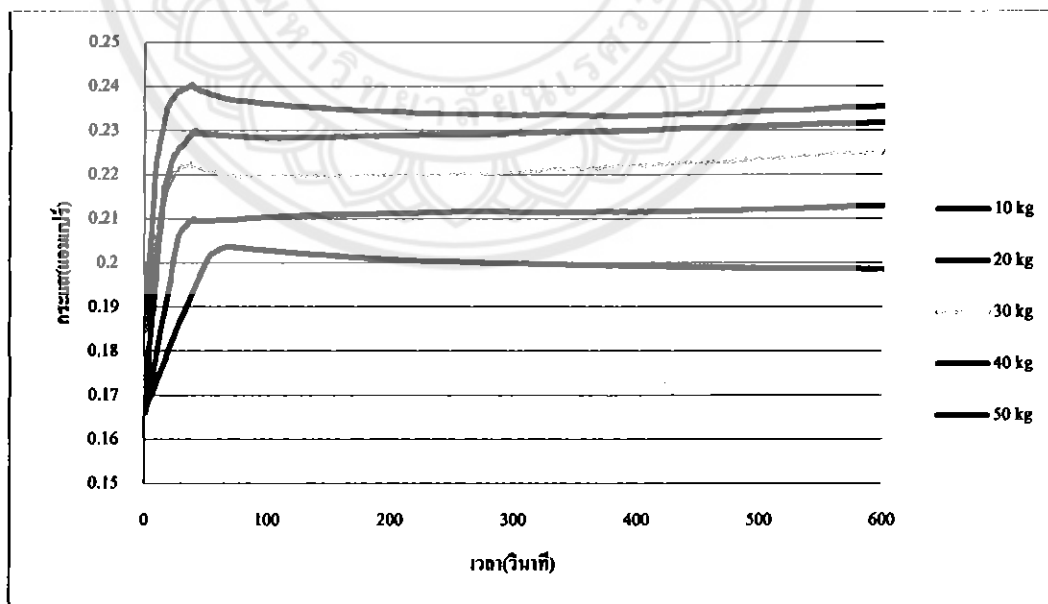


รูปที่ 4.51 ปริมาณเวลาการใช้กระแทกที่ค่าเป้าหมาย 10,20,30,40 และ 50 กิโลกรัมของมอเตอร์
เห็นช่วงนำที่ความถี่ความตัวบัญชีลิคสเก็ต โดยปรับตั้งค่า Sampling Rate Times = 100 ms

4.3.8. ผลการทดสอบปริมาณกระแสเดี่ยวกับค่าเป้าหมาย 10,20,30,40 และ 50 กิโลกรัมของนอเตอร์กระแสตรง

ตารางที่ 4.20 ปริมาณกระแสที่ค่าเป้าหมาย 10,20,30,40 และ 50 กิโลกรัมของนอเตอร์กระแสตรง

จำนวนการทดสอบ	10 kg (A)	20 kg (A)	30 kg (A)	40 kg (A)	50 kg (A)
ครั้งที่ 1	0.197	0.209	0.220	0.230	0.234
ครั้งที่ 2	0.206	0.209	0.225	0.227	0.235
ครั้งที่ 3	0.198	0.203	0.225	0.228	0.238
ครั้งที่ 4	0.197	0.201	0.216	0.221	0.235
ครั้งที่ 5	0.197	0.207	0.217	0.224	0.237
ครั้งที่ 6	0.197	0.210	0.221	0.225	0.239
ครั้งที่ 7	0.195	0.211	0.213	0.221	0.239
ครั้งที่ 8	0.198	0.211	0.208	0.223	0.241
ครั้งที่ 9	0.197	0.211	0.221	0.225	0.234
ครั้งที่ 10	0.197	0.212	0.211	0.224	0.237
ค่าเฉลี่ย	0.198	0.209	0.218	0.225	0.237

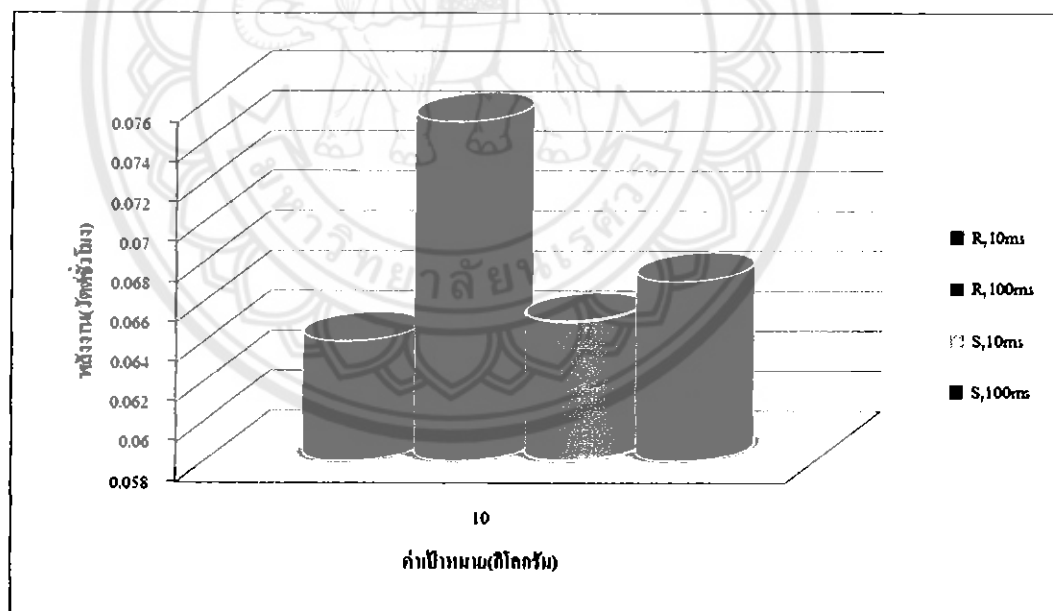


รูปที่ 4.52 ปริมาณกระแสเดี่ยวกับค่าเป้าหมาย 10,20,30,40 และ 50 กิโลกรัมของนอเตอร์กระแสตรง

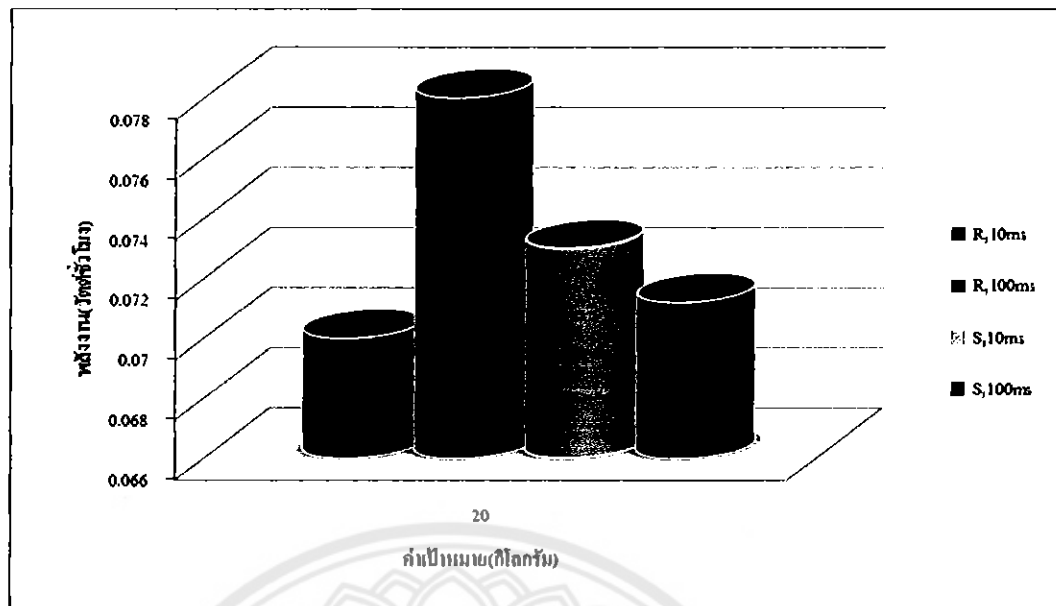
4.3.9. ผลการทดสอบปริมาณการใช้พลังงานของนอเตอร์เหนี่ยวนำที่ค่าเป้าหมาย 10,20,30,40 และ 50 กิโลกรัม

ตารางที่ 4.21 ปริมาณการใช้พลังงานของนอเตอร์เหนี่ยวนำที่ค่าเป้าหมาย 10,20,30,40 และ 50 กิโลกรัม

จำนวนการทดสอบ	พังงาน(วัตต์ชั่วโมง)			
	รีเลย์		โซลิดสเตต	
	T=10 ms	T=100 ms	T=10 ms	T=100 ms
10 kg	0.062	0.075	0.065	0.067
20 kg	0.069	0.078	0.073	0.072
30 kg	0.075	0.083	0.081	0.078
40 kg	0.076	0.086	0.087	0.084
50 kg	0.087	0.092	0.092	0.091



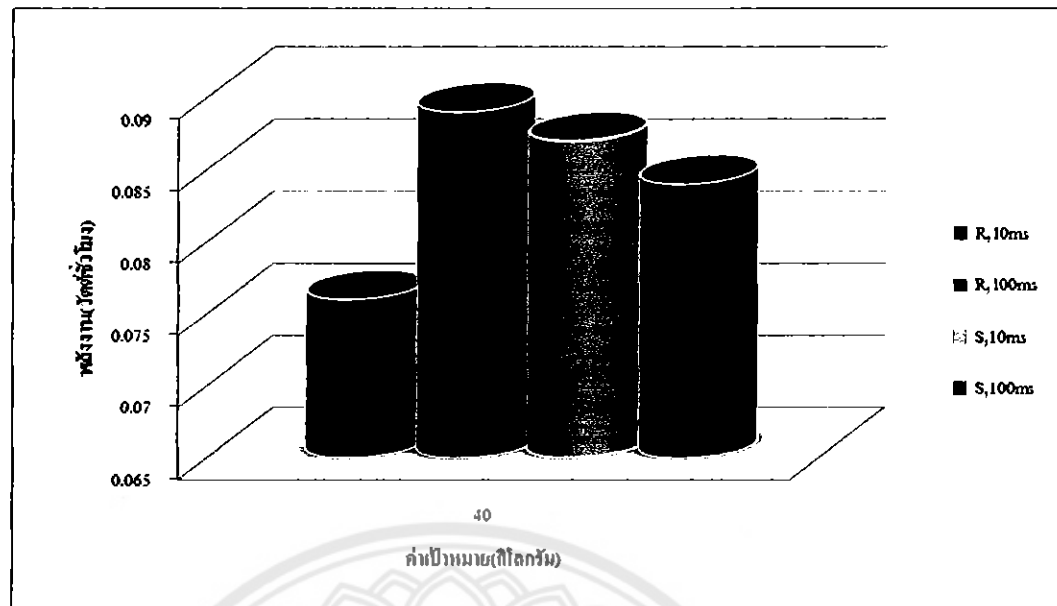
รูปที่ 4.53 ปริมาณการใช้พลังงานของนอเตอร์เหนี่ยวนำที่ค่าเป้าหมาย 10 กิโลกรัม



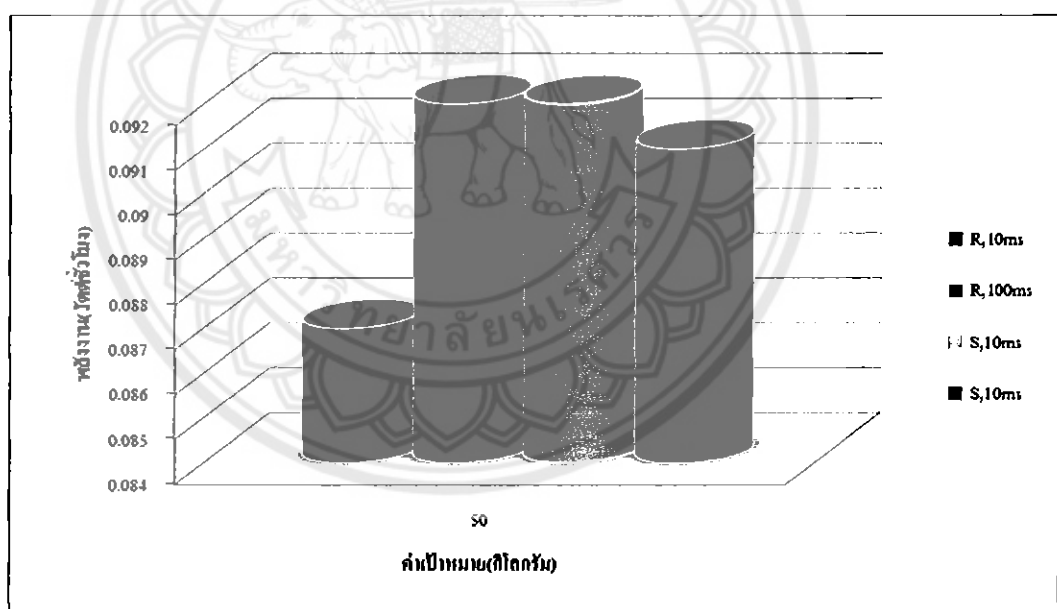
รูปที่ 4.54 ปริมาณการใช้พลังงานของมอเตอร์เหนี่ยววนิ่วค่าเป้าหมาย 20 กิโลกรัม



รูปที่ 4.55 ปริมาณการใช้พลังงานของมอเตอร์เหนี่ยววนิ่วที่ค่าเป้าหมาย 30 กิโลกรัม



รูปที่ 4.56 ปริมาณการใช้พลังงานของมอเตอร์เหนี่ยววน杀人ที่ค่าเป้าหมาย 40 กิโลกรัม



รูปที่ 4.57 ปริมาณการใช้พลังงานของมอเตอร์เหนี่ยววน杀人ที่ค่าเป้าหมาย 50 กิโลกรัม

4.3.10. ผลการทดลองปริมาณการใช้พลังงานของมอเตอร์กระแสตรงที่ค่าเป้าหมาย 10,20,30,40 และ 50 กิโลกรัม

ตารางที่ 4.22 ปริมาณการใช้พลังงานของมอเตอร์กระแสตรงที่ค่าเป้าหมาย 10,20,30,40 และ 50 กิโลกรัม

จำนวนการทดลอง	พลังงาน(วัตต์ชั่วโมง)
10 kg	7.288
20 kg	7.710
30 kg	8.101
40 kg	8.382
50 kg	8.585



รูปที่ 4.58 ปริมาณการใช้พลังงานของมอเตอร์กระแสตรง ที่ค่าเป้าหมาย 10,20,30,40 และ 50 กิโลกรัม

4.1 วิเคราะห์ผลการทดลอง

จากรูปที่ 4.53 - 4.57 เป็นการแสดงปริมาณการใช้พลังงานของมอเตอร์เหนี่ยวนำที่ค่าเป้าหมาย 10,20,30,40 และ 50 กิโลกรัม สำหรับการควบคุมมอเตอร์ด้วยเบรลีย์และโซลิดสเตตที่ค่า Sampling Rate Times = 10 ms และ 100 ms จากกราฟแกนแนวโน้มหมายถึงค่าเป้าหมาย(กิโลกรัม) ส่วนแนวตั้งหมายถึงปริมาณพลังงานที่มอเตอร์เหนี่ยวนำใช้ในหน่วย วัตต์ชั่วโมง จากการทดลองพบว่า มอเตอร์เหนี่ยวนำมีความคุณด้วยเบรลีย์และปรับ Sampling Rate Times ไว้ที่ 100 ms จะใช้ปริมาณพลังงานมากสุดในทุกๆค่าเป้าหมาย และมีอัตราการใช้พลังงานเพิ่มขึ้นเมื่อค่าเป้าหมายเพิ่มมากขึ้น จากการใช้เบรลีย์ในการควบคุมมอเตอร์โดยปรับ Sampling Rate Times ไว้ที่ 100 ms นั้นใช้เวลาเข้าถึงค่าเป้าหมายช้ากว่าการควบคุมด้วยเบรลีย์และโซลิดสเตตที่ปรับ Sampling Rate Times ไว้ที่ เวลาอื่นๆ

จากรูปที่ 4.58 เป็นการแสดงปริมาณการใช้พลังงานของมอเตอร์กระแสตรงที่ค่าเป้าหมาย 10,20,30,40 และ 50 กิโลกรัม จากกราฟแกนแนวโน้มหมายถึงค่าเป้าหมาย(กิโลกรัม) ส่วนแนวตั้งหมายถึงปริมาณพลังงานที่มอเตอร์กระแสตรงใช้ในหน่วย วัตต์ชั่วโมง จากการทดลองพบว่า มอเตอร์กระแสตรงมีการใช้ปริมาณพลังงานไฟฟ้าเพิ่มขึ้นเมื่อค่าเป้าหมายเพิ่มขึ้น

จากการทดลองของมอเตอร์เหนี่ยวนำโดยควบคุมการทำงานของมอเตอร์ด้วยเบรลีย์และโซลิดสเตต ที่ปรับตั้งค่า Sampling Rate Times ไว้ที่ 10 ms และ 100 ms พบร่วมกันที่ได้จากการควบคุม มอเตอร์เหนี่ยวนำโดยใช้โซลิดสเตตที่ Sampling Rate Times = 10 ms ให้ค่าแรงดึงที่มีค่าความผิดพลาดน้อยที่สุดเมื่อเทียบกับการควบคุมมอเตอร์เหนี่ยวนำด้วยเบรลีย์ อันที่ได้จากการทดลองจะให้ค่าแรงดึงที่มีความถูกต้องใกล้เคียงกับค่าเป้าหมาย

การใช้พลังงานของมอเตอร์เหนี่ยวนำจะใช้ในปริมาณน้อยเมื่อเทียบกับมอเตอร์กระแสตรง เนื่องจากมอเตอร์เหนี่ยวนำมีค่าแรงดึงที่ออกจากมอเตอร์นี้ค่าเข้าถึงค่าเป้าหมายของควบคุม มอเตอร์ด้วยเบรลีย์ หรือโซลิดสเตตจะทำการตัดวงจรแหล่งจ่ายไฟฟ้าออกจากมอเตอร์ทันที ส่วน มอเตอร์กระแสตรงนั้นเมื่อแรงดึงที่ออกจากมอเตอร์ถึงค่าเป้าหมายแล้วจะควบคุมมอเตอร์จะพยายามรักษาแรงดึงนั้นไว้ โดยการเพิ่มลดระดับกระแสเมื่อแรงดึงที่ออกจากมอเตอร์น้อย หรือเพิ่มขึ้นกว่าค่าเป้าหมาย จึงส่งผลให้มอเตอร์กระแสตรงต้องใช้ปริมาณพลังงานสูงกว่ามอเตอร์ เนื่องจากมอเตอร์เหนี่ยวนำ

บทที่ 5

บทสรุป

ในบทนี้จะเป็นการสรุปผลที่ได้จากการทดลองในโครงการ พร้อมเสนอแนะแนวทางในการนำ
โครงการนี้ไปพัฒนาต่อให้มีประสิทธิภาพมากยิ่งขึ้นในอนาคต

5.1 สรุปผลการทดลอง

โครงการนี้เป็นการทดสอบผลกระทบของแรงบิดภายในมอเตอร์เหนี่ยวหมา 1 เฟส และมอเตอร์
กระแสตรงแบบไร้แปรงถ่านขณะขับเคลื่อนที่ค่าเป้าหมาย 10,20,30,40 และ 50 กิโลกรัม

โดยผู้ที่ทดลองได้ออกแบบระบบควบคุมโดยใช้โปรแกรมแลปวิเคราะห์ความถี่ของมอเตอร์เหนี่ยวหมา 2
วิช คือ ใช้วงจรรีเลย์ควบคุมและใช้วงจร โซลิดสเตต โดยทำการปรับตั้งค่า Sampling Rate Times ไว้
ที่ 10 ms และ 100 ms สำหรับการรักษาระดับแรงดึงของมอเตอร์เหนี่ยวหมาที่ควบคุมด้วยวงจรรีเลย์
และ โซลิดสเตตหนึ่งจะเป็นลักษณะกราฟที่มีความซับซ้อนมากในช่วงค่าเริ่มต้น จนเมื่อค่าแรงดึงที่
มอเตอร์ขับเคลื่อนเข้าถึงค่าเป้าหมายลักษณะกราฟจะเป็นแนวเส้นตรงที่ค่าสุดท้ายที่โปรแกรมรับ
ค่ามาจากโหลดแล้วคงค่าันนี้ไว้จนทำการทดลอง

จากการทดลองมอเตอร์เหนี่ยวหมาที่ควบคุมวงจรรีเลย์ที่ปรับตั้งค่า Sampling Rate Times ไว้ที่
100 ms จะให้ค่าแรงดึงที่มีถูกความผิดพลาดมากที่สุด ในทุกกรณีเมื่อเทียบกับแรงดึงที่ได้มาจากการ
ควบคุมมอเตอร์เหนี่ยวหมาด้วยวิธีอื่น แต่สำหรับมอเตอร์เหนี่ยวหมาที่ควบคุมด้วยวงจร โซลิดสเตตที่
ปรับตั้งค่า Sampling Rate Times ไว้ที่ 10 ms จะให้แรงดึงที่มีถูกความผิดพลาดน้อยกว่าสูง เมื่อเทียบกับ
วิธีอื่น

สำหรับมอเตอร์กระแสตรงขณะขับเคลื่อนที่ค่าเป้าหมายนั้นจากการทดลองพบว่า ໄ้แรงดึงที่
ต้องการไกส์เทียบค่าเป้าหมายเนื่องจาก การควบคุมมอเตอร์ทำโดยการรักษาระดับกระแสที่จ่ายเข้า
ภายในมอเตอร์ เพื่อให้คงค่าแรงดึงให้ได้ไกส์เทียบกับค่าเป้าหมายมากที่สุด ดังนั้นเมื่อแรงดึงที่โหลด
แล้วรับค่าเข้ามามีค่าน้อยหรือมากกว่าค่าแรงดึงเป้าหมายระบบควบคุมจะพยายามปรับกระแสให้
เพิ่มหรือน้อยลงตามค่าแรงดึงที่รับเข้ามา

ตารางที่ ร.1 สรุปและเปรียบเทียบข้อดี-ข้อด้อยระหว่างมอเตอร์เห็นี่ยวน้ำและมอเตอร์กระแสตรง

ชนิดของมอเตอร์	ข้อดี	ข้อด้อย
มอเตอร์เห็นี่ยวน้ำ	<ol style="list-style-type: none"> 1. ระบบควบคุมสามารถออกแบบได้ง่าย 2. วงจรที่ใช้ควบคุมการทำงานของมอเตอร์ (วงจรรีเลย์หรือไซลิสเทต) มีราคาถูก หาซื้อได้ง่าย 3. เวลาเข้าถึงค่าเป้าหมาย สั้น 4. ใช้ปรินาพพลังงานน้อย เพราะเมื่อค่าแรงดึงถึงค่าเป้าหมายวงจรควบคุมก็จะตัดแหล่งจ่ายไฟออก จากมอเตอร์ทันที 	<ol style="list-style-type: none"> 1. แรงดึงที่ต้องการมีค่ามากกว่าค่าเป้าหมาย 2. แรงดึงไม่สามารถเข้าถึงค่าเป้าหมายต่ำๆ ได้
มอเตอร์กระแสตรง	<ol style="list-style-type: none"> 1. แรงดึงที่ต้องการมีค่าใกล้เคียงค่าเป้าหมาย 2. สามารถเข้าถึงค่าเป้าหมายต่ำๆ ได้ดี 	<ol style="list-style-type: none"> 1. ระบบควบคุมมีความยุ่งยากซับซ้อน 2. ชุดควบคุมมอเตอร์มีราคาสูง 3. ใช้เวลาเข้าถึงค่าเป้าหมายนาน 4. ใช้ปรินาพพลังงานสูง เมื่อจากมอเตอร์ต้องการกระแสเจ้ายิ่งเข้าคลอดเวลา 5. มีความร้อนสูง เมื่อใช้งานที่ค่าเป้าหมายสูง หรือเปิดใช้งานเป็นเวลานาน

5.2 ปัญหาในการทำงานและแนวทางแก้ไข

- การ์ด DAQ หลุดหรือ Error ทำให้ไม่สามารถเชื่อมต่อคำสั่งจากโปรแกรมไปยังวงจรควบคุมมอเตอร์ได้

<u>สาเหตุ</u>	เนื่องจากสาย USB ของการ์ด DAQ หลุดหรือต่อไม่แน่น
<u>ผล</u>	ไม่สามารถเชื่อมต่อคำสั่งจากโปรแกรมไปยังวงจรควบคุมมอเตอร์ได้
<u>วิธีแก้ไข</u>	ตรวจสอบสาย USB ของกร์ด DAQ ทุกครั้งก่อนทำการทดลอง

5.3 ประเมินผล

จากการดำเนินโครงการเมื่อเปรียบเทียบกับวัตถุประสงค์ในการทำโครงการ ได้ผลดังนี้

- ทราบถึงผลกระทบของแรงบิดภายในมอเตอร์เหนี่ยวหน้าและมอเตอร์กระแสตรงขะบับໂຫດຄ
- ทราบเวลาที่ใช้ในการเข้าถึงค่าเบ้าหมายของมอเตอร์เหนี่ยวหน้าและมอเตอร์กระแสตรงขะบับໂຫດຄ
- สามารถออกแบบโปรแกรมแลบวิวเพื่อควบคุมการทำงานมอเตอร์เหนี่ยวหน้า

5.4 แนวทางสำหรับการพัฒนา

- ออกแบบระบบควบคุมมอเตอร์เหนี่ยวหน้าให้แรงดึงที่วัดได้มีค่าความผิดพลาดน้อยลง
- เลือกใช้งานวงจรควบคุมมอเตอร์เหนี่ยวหน้าชนิดอื่นที่มีความไวต่อการตัดต่อวงจร

เอกสารอ้างอิง

- [1] http://www.ibiblio.org/kuphaldt/electricCircuits/AC/AC_13.html
สืบค้นเมื่อ 6 สิงหาคม พ.ศ.2556
- [2] <http://www.lamptech.ac.th/webprg/vitsawa/> สืบค้นเมื่อวันที่ 6 สิงหาคม พ.ศ.2556
- [3] <http://media.web.britannica.com/eb-media/75/63375-004-9F253D8F.gif>
สืบค้นเมื่อวันที่ 6 สิงหาคม พ.ศ.2556
- [4] <http://cfnewsads.thomasnet.com/images/large/826/826816.jpg>
สืบค้นเมื่อ 1 พฤษภาคม พ.ศ.2556
- [5] http://www.orientalmotor.com/images/in_motion/bldc-motor-construction-2.jpg
สืบค้นเมื่อ 1 พฤษภาคม พ.ศ.2556
- [6] http://gearmotorblog.files.wordpress.com/2013/08/bodine-blcd-technology_3-12_motor-comparisons1.jpg?w=500&h=208 สืบค้นเมื่อ 1 พฤษภาคม พ.ศ.2556
- [7] <http://www.reliance.com/mtr/images/mtdfi19a.gif>
สืบค้นเมื่อ 6 สิงหาคม พ.ศ.2556
- [8] <http://ecx.images-amazon.com/images/I/61CIPQ9rcuL.jpg>
สืบค้นเมื่อ 2 พฤษภาคม พ.ศ.2556
- [9] <http://image.made-in-china.com/2f0j00CjeQWwAcQaqJ/Motor-Starting-Capacitor-CD609B-.jpg> สืบค้นเมื่อ 6 สิงหาคม พ.ศ.2556
- [10] <http://4.bp.blogspot.com/yRHV1J9b5hY/T7UKxFH248I/AAAAAAAACEs/3Uq7uIMnmXY/s640/capacitor+start.JPG> สืบค้นเมื่อ 2 พฤษภาคม พ.ศ.2556
- [11] http://www.electrical-knowhow.com/2012/05/classification-of-electric-motorspart_17.html สืบค้นเมื่อ 6 สิงหาคม พ.ศ.2556
- [12] http://www.phidgets.com/wiki/images/1/1d/3051_1_Relay_Diagram.jpg
สืบค้นเมื่อ 3 ธันวาคม พ.ศ.2556
- [13] <http://www.electronics-tutorials.ws/io/io27.gif>
สืบค้นเมื่อ 3 ธันวาคม พ.ศ.2556